

Erhaltung der Masse

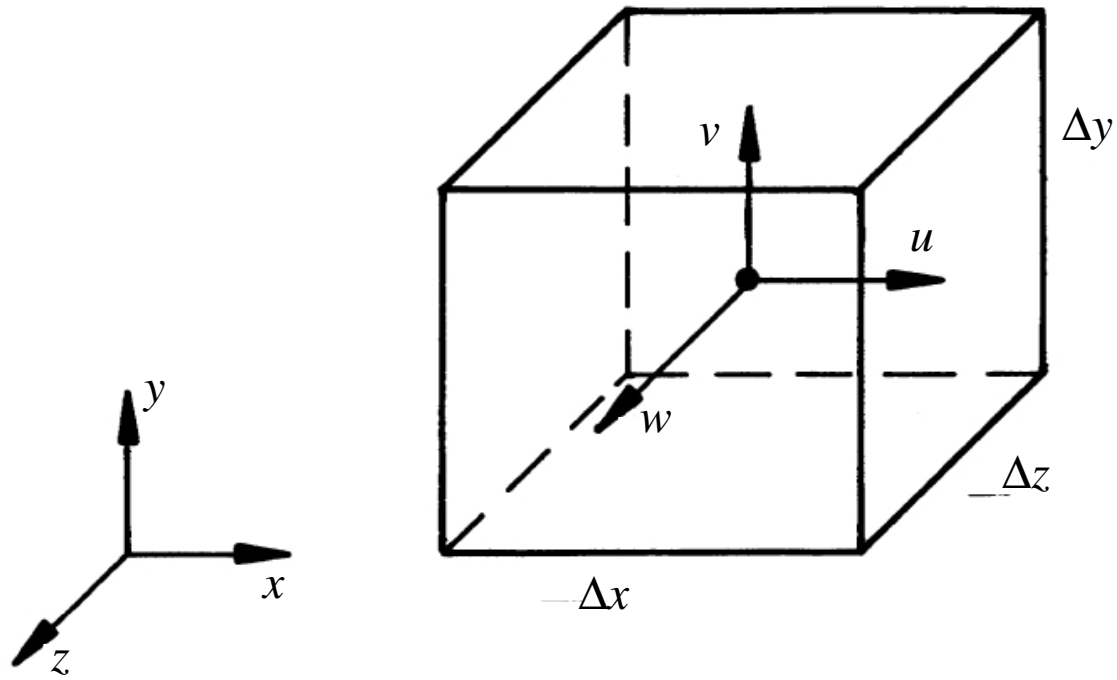
Die Masse des Systems bleibt bei Bewegung durch das Strömungsfeld konstant

$$B = mb \quad , \quad \text{für } b = 1$$

$$\frac{dm_{\text{sys}}}{dt} = \frac{\partial}{\partial t} \int_{KV} \rho dV + \int_{KF} \rho \vec{v} \cdot \vec{n} dA = 0$$

integrale Form

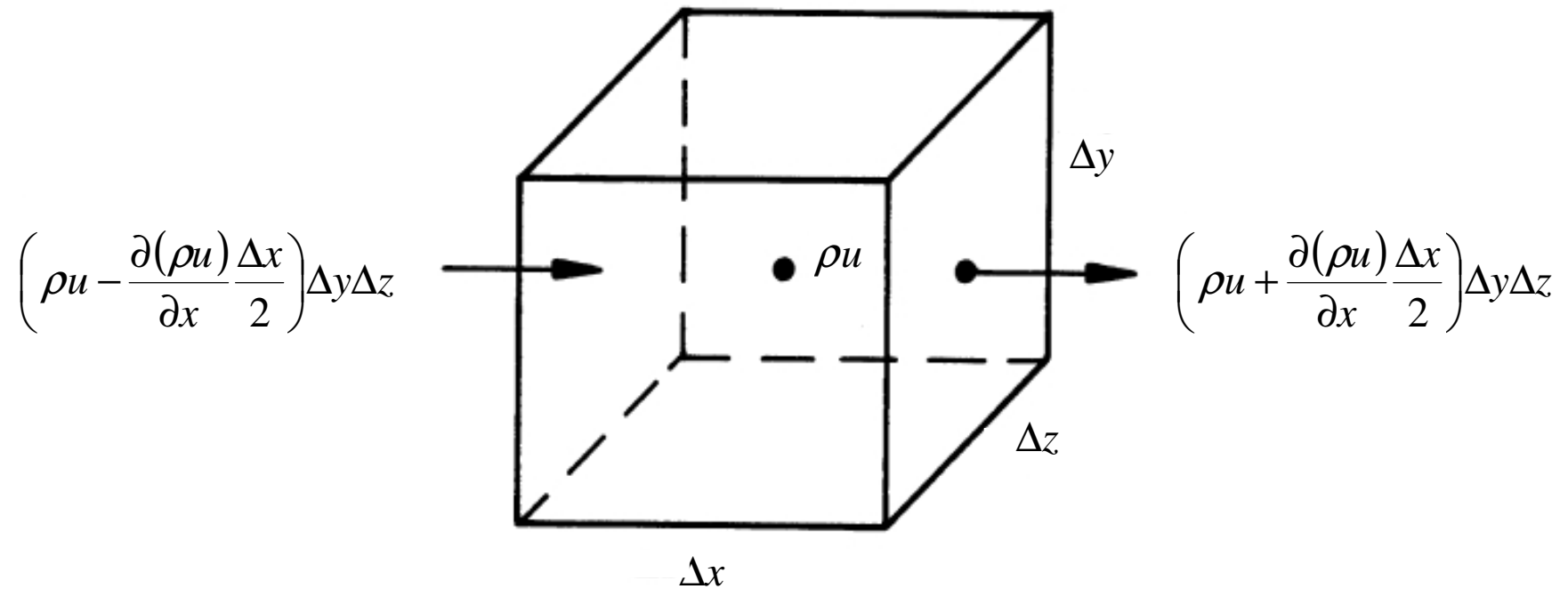
differentielle Form über Gaußschen Satz oder am Element



Zeitliche lokale Massenänderung :

$$\frac{\partial \rho}{\partial t} \Delta x \Delta y \Delta z$$

Massenfluss über die Oberfläche des Elements (in x-Richtung) :



Nettomassenfluss in x-Richtung

$$\left(\rho u + \frac{\partial(\rho u)}{\partial x} \frac{\Delta x}{2} \right) \Delta y \Delta z - \left(\rho u - \frac{\partial(\rho u)}{\partial x} \frac{\Delta x}{2} \right) \Delta y \Delta z = \frac{\partial(\rho u)}{\partial x} \Delta x \Delta y \Delta z$$

In y- und z-Richtung erhält man

$$\frac{\partial(\rho v)}{\partial y} \Delta x \Delta y \Delta z \quad , \quad \frac{\partial(\rho w)}{\partial z} \Delta x \Delta y \Delta z$$

⇒ differentielle Form der Kontinuitätsgleichung

$$\frac{\partial \rho}{\partial t} + \frac{\partial(\rho u)}{\partial x} + \frac{\partial(\rho v)}{\partial y} + \frac{\partial(\rho w)}{\partial z} = 0$$

bzw.

$$\frac{\partial \rho}{\partial t} + \vec{\nabla} \cdot (\rho \vec{v}) = 0$$

mit

$$\vec{\nabla}(\bullet) = \frac{\partial(\bullet)}{\partial x} \vec{i} + \frac{\partial(\bullet)}{\partial y} \vec{j} + \frac{\partial(\bullet)}{\partial z} \vec{k}$$

Mit lok. konvek.

$$\frac{d\rho}{dt} = \frac{\partial\rho}{\partial t} + u \frac{\partial\rho}{\partial x} + v \frac{\partial\rho}{\partial y} + w \frac{\partial\rho}{\partial z}$$

$$= \frac{\partial\rho}{\partial t} + \vec{v} \cdot \nabla\rho$$

folgt :

$$\frac{d\rho}{dt} + \rho \left(\frac{\partial u}{\partial x} + \frac{\partial v}{\partial y} + \frac{\partial w}{\partial z} \right) = 0$$

bzw.

$$\frac{d\rho}{dt} + \rho \vec{\nabla} \cdot \vec{v} = \frac{d\rho}{dt} + \rho \operatorname{div} \vec{v} = 0$$

Sonderfälle :

- stat. Strömung $\frac{\partial}{\partial t} \rightarrow 0$

$$\vec{\nabla} \cdot (\rho \vec{v}) = \frac{\partial(\rho u)}{\partial x} + \frac{\partial(\rho v)}{\partial y} + \frac{\partial(\rho w)}{\partial z} = 0$$

- Inkompressibles Fluid $\rho = \text{konstant}$

$$\frac{\partial u}{\partial x} + \frac{\partial v}{\partial y} + \frac{\partial w}{\partial z} = 0$$

$$\vec{\nabla} \cdot \vec{v} = 0$$

Erhaltung des Impulses

\vec{F} : Auf die Fluidmasse wirkende resultierende Kraft

$$\vec{I} = \int_{\text{Sys}} \vec{v} dm \quad : \text{ Impuls}$$

Anwendung auf ein differentielles Massesystem:

$$\Delta \vec{F} = \frac{d(\vec{v} \Delta m)}{dt}$$

$\Delta m_{\text{sys}} = \text{konstant}$

$$\Delta \vec{F} = \Delta m \frac{d\vec{v}}{dt} = \Delta m \vec{a}$$

$\Delta \vec{F}$: Oberflächen- und Volumenkräfte

Volumenkraft : Gewichtskraft maßgeblich

in kartesischen Koordinaten:

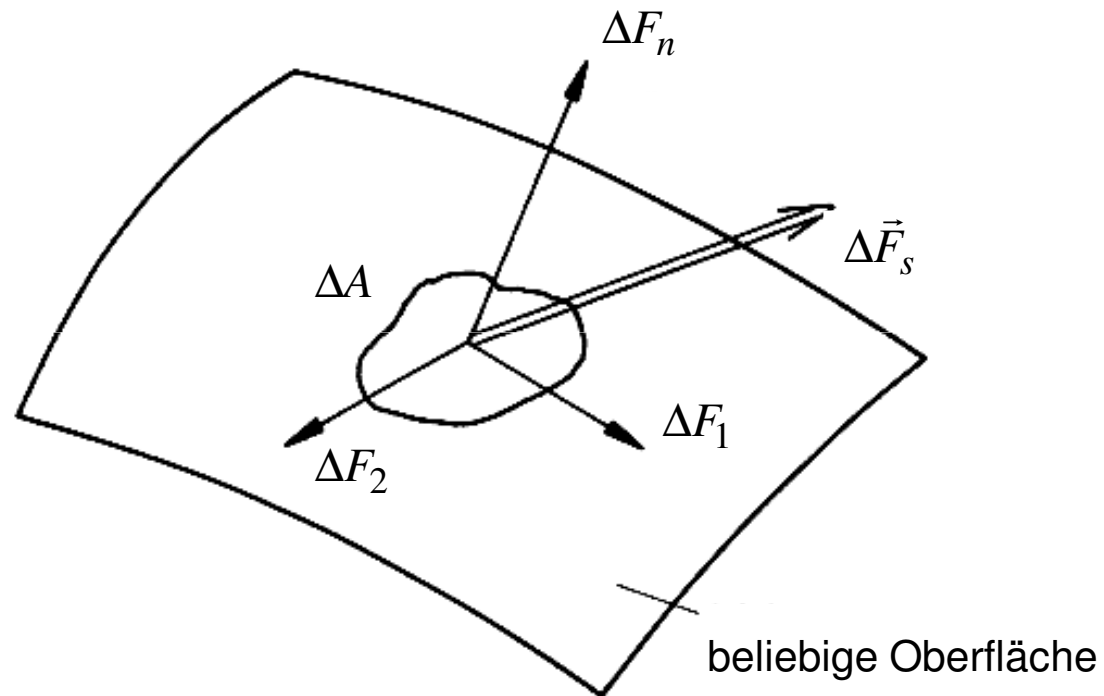
$$\Delta F_{bx} = \Delta m g_x$$

$$\Delta F_{by} = \Delta m g_y$$

$$\Delta F_{bz} = \Delta m g_z$$

Oberflächenkraft:

Element \leftrightarrow Umgebung



$$\Delta F_1 \perp \Delta F_2 \quad , \quad \Delta F_n \perp \Delta A$$

Normalspannung:

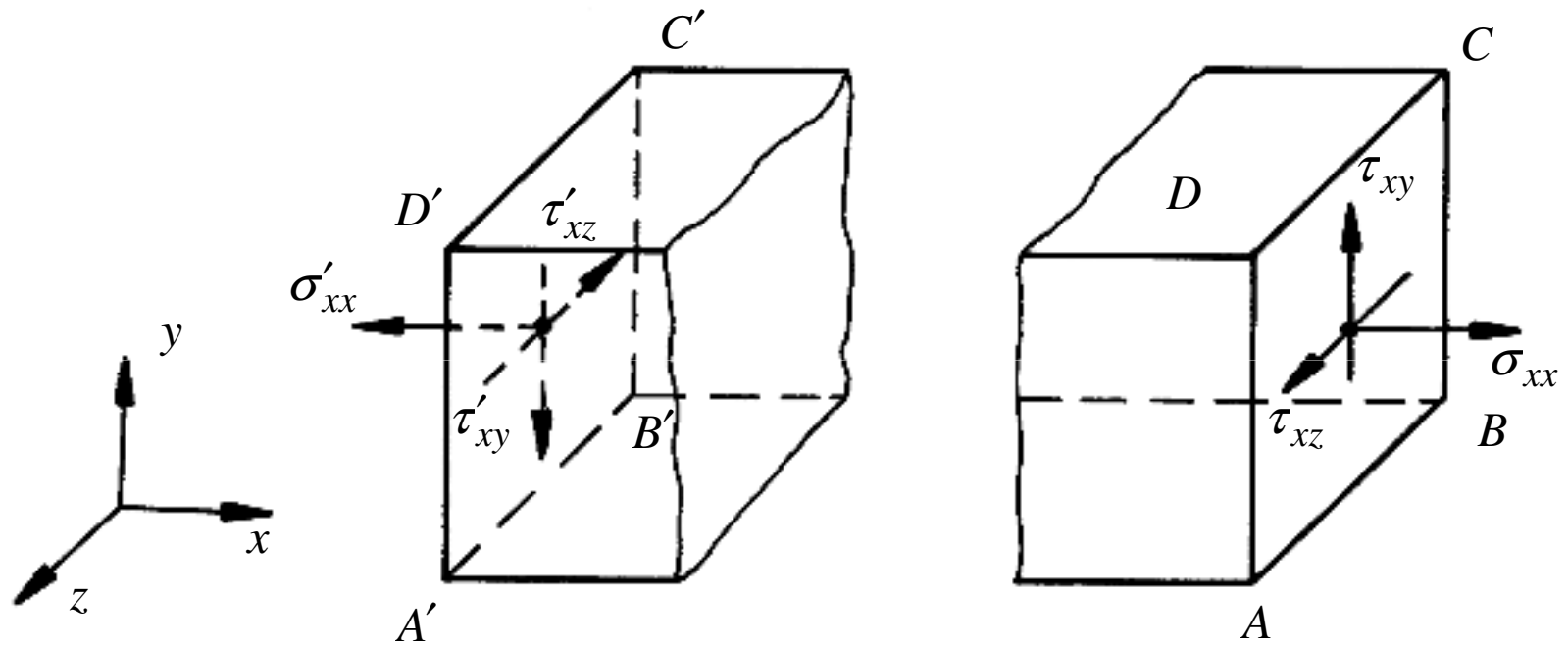
$$\sigma_n = \lim_{\Delta A \rightarrow 0} \frac{\Delta F_n}{\Delta A}$$

Schubspannung:

$$\tau_1 = \lim_{\Delta A \rightarrow 0} \frac{\Delta F_1}{\Delta A}$$

$$\tau_2 = \lim_{\Delta A \rightarrow 0} \frac{\Delta F_2}{\Delta A}$$

die übliche Zeichenkonvention gilt

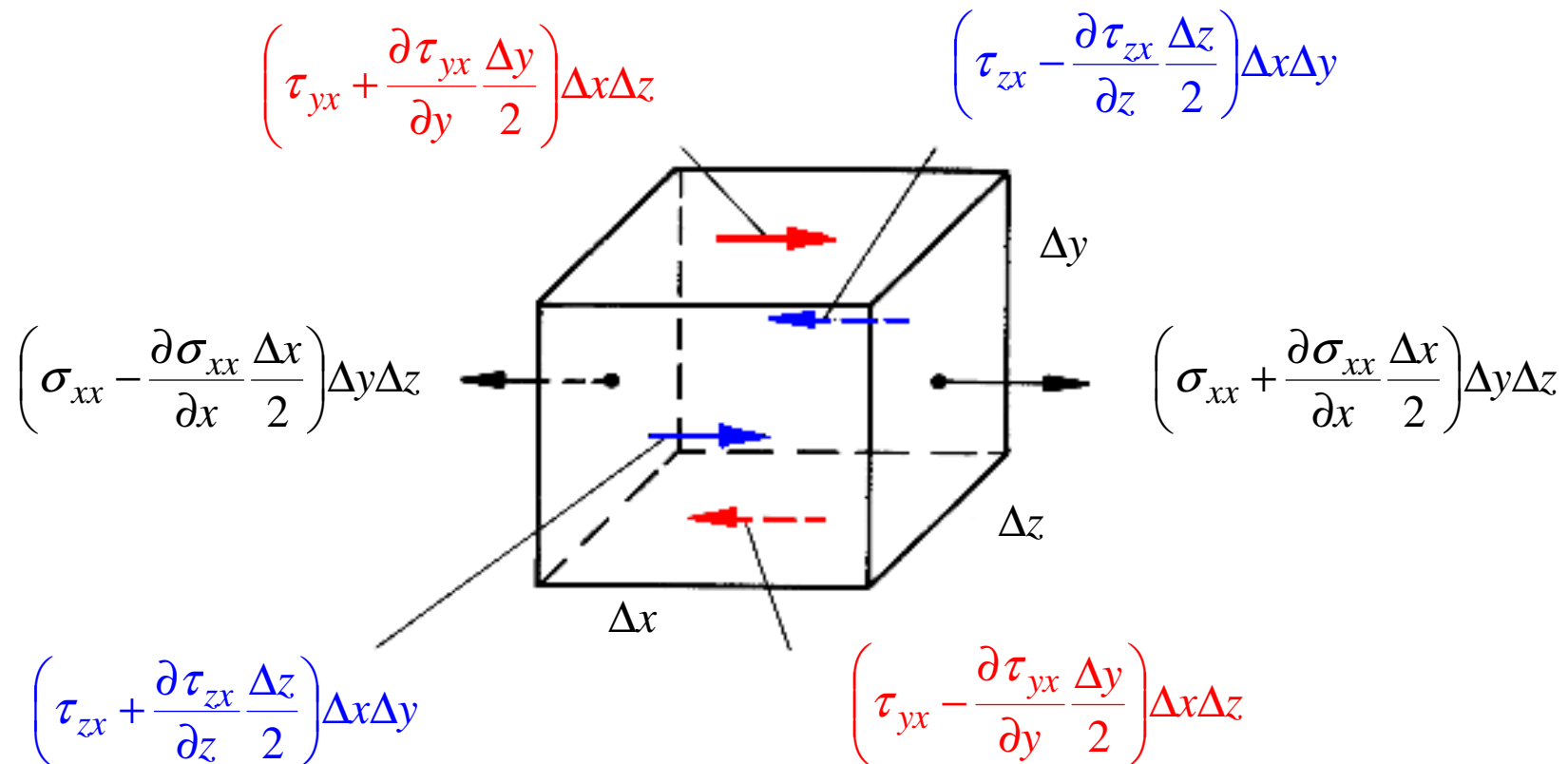


Bedeutung der Indizes :

S_{ij} : i Richtung der Normalen der Ebene
 j Richtung der Spannung

Spannungen auf 3 orthogonalen, durch einen Punkt gehende Ebenen definieren den Spannungszustand eindeutig

Oberflächenkräfte (nicht vollständig):



Summation liefert die Komponenten der resultierenden Oberflächenkraft:

$$\Delta \vec{F}_S = \Delta F_{S_x} \vec{i} + \Delta F_{S_y} \vec{j} + \Delta F_{S_z} \vec{k}$$

Kräfte in x- / y- / z-Richtung:

$$\Delta F_{S_x} = \left(\frac{\partial \sigma_{xx}}{\partial x} + \frac{\partial \tau_{yx}}{\partial y} + \frac{\partial \tau_{xz}}{\partial z} \right) \Delta x \Delta y \Delta z$$

$$\Delta F_{S_y} = \left(\frac{\partial \tau_{xy}}{\partial x} + \frac{\partial \sigma_{yy}}{\partial y} + \frac{\partial \tau_{zy}}{\partial z} \right) \Delta x \Delta y \Delta z$$

$$\Delta F_{S_z} = \left(\frac{\partial \tau_{xz}}{\partial x} + \frac{\partial \tau_{yz}}{\partial y} + \frac{\partial \sigma_{zz}}{\partial z} \right) \Delta x \Delta y \Delta z$$

Einsetzen in $\Delta \vec{F} = \Delta m \vec{a}$

mit $\Delta \vec{F} = \Delta \vec{F}_s + \Delta \vec{F}_b$

$$\Delta m = \rho \Delta x \Delta y \Delta z$$

$$\vec{a} = \frac{\partial \vec{v}}{\partial t} + u \frac{\partial \vec{v}}{\partial x} + v \frac{\partial \vec{v}}{\partial y} + w \frac{\partial \vec{v}}{\partial z}$$

ergibt $\vec{v} = u \vec{i} + v \vec{j} + w \vec{k}$

Differentielle Form der Impulserhaltung

$$\rho \left(\frac{\partial u}{\partial t} + u \frac{\partial u}{\partial x} + v \frac{\partial u}{\partial y} + w \frac{\partial u}{\partial z} \right) = \rho g_x + \frac{\partial \sigma_{xx}}{\partial x} + \frac{\partial \tau_{yx}}{\partial y} + \frac{\partial \tau_{zx}}{\partial z}$$

X

$$\rho \left(\frac{\partial v}{\partial t} + u \frac{\partial v}{\partial x} + v \frac{\partial v}{\partial y} + w \frac{\partial v}{\partial z} \right) = \rho g_y + \frac{\partial \tau_{xy}}{\partial x} + \frac{\partial \sigma_{yy}}{\partial y} + \frac{\partial \tau_{zy}}{\partial z}$$

Y

$$\rho \left(\frac{\partial w}{\partial t} + u \frac{\partial w}{\partial x} + v \frac{\partial w}{\partial y} + w \frac{\partial w}{\partial z} \right) = \rho g_z + \frac{\partial \tau_{xz}}{\partial x} + \frac{\partial \tau_{yz}}{\partial y} + \frac{\partial \sigma_{zz}}{\partial z}$$

Z

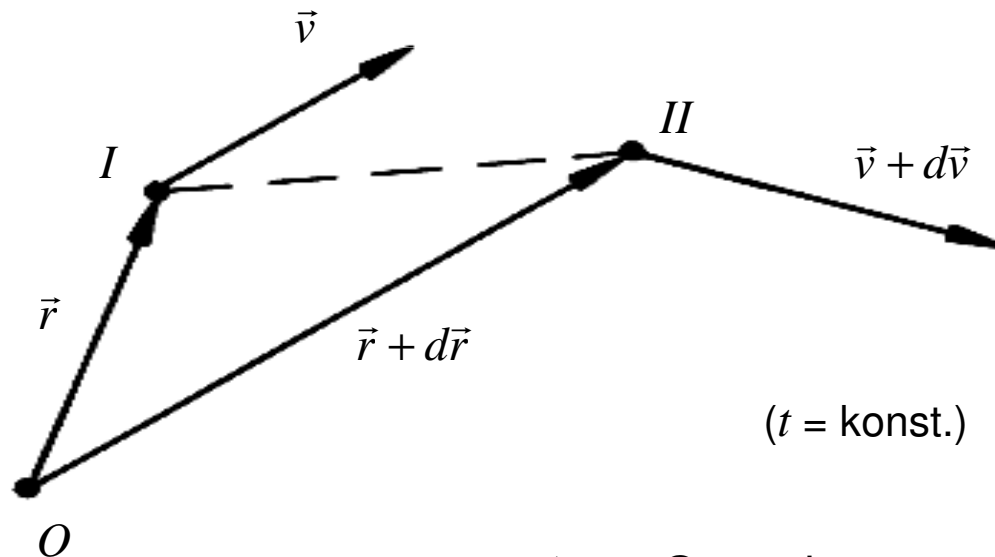
Kinematik des Fluidelements

Aufgabe : Spannungen durch Geschwindigkeitskomponenten ausdrücken

Bewegung eines Elements

⇒ Änderung seiner Lage und seiner Form

Bestimmung der Verformung mittels der relativen Bewegung zwischen 2 Punkten *I* und *II*



\vec{r} : Ortsvektor

$d\vec{v}$: Geschwindigkeitsänderung

$d\vec{v}$ in Komponentenschreibweise

$$du = \frac{\partial u}{\partial x} dx + \frac{\partial u}{\partial y} dy + \frac{\partial u}{\partial z} dz$$

$$dv = \frac{\partial v}{\partial x} dx + \frac{\partial v}{\partial y} dy + \frac{\partial v}{\partial z} dz$$

$$dw = \frac{\partial w}{\partial x} dx + \frac{\partial w}{\partial y} dy + \frac{\partial w}{\partial z} dz$$

Um den Zusammenhang mit Translation, Rotation, Dehnung und Scherung zu erkennen, wird $d\vec{v}$ umgeschrieben

$$du = \dot{\epsilon}_x dx + \dot{\epsilon}_{xy} dy + \dot{\epsilon}_{xz} dz + \omega_{zx} dz - \omega_{xy} dy$$

$$dv = \dot{\epsilon}_{yx} dx + \dot{\epsilon}_y dy + \dot{\epsilon}_{yz} dz + \omega_{xy} dx - \omega_{yz} dz$$

$$dw = \dot{\epsilon}_{zx} dx + \dot{\epsilon}_{zy} dy + \dot{\epsilon}_z dz + \omega_{yz} dy - \omega_{zx} dx$$

Der Vergleich beider Gleichungssysteme ergibt folgende

Definitionen für $\dot{\epsilon}_i$ und $\dot{\epsilon}_{ij}$ bzw. ω_{ij}

$$\dot{d}_{ij} = \begin{pmatrix} \dot{\epsilon}_x & \dot{\epsilon}_{xy} & \dot{\epsilon}_{xz} \\ \dot{\epsilon}_{yx} & \dot{\epsilon}_y & \dot{\epsilon}_{yz} \\ \dot{\epsilon}_{zx} & \dot{\epsilon}_{zy} & \dot{\epsilon}_z \end{pmatrix} = \begin{pmatrix} \frac{\partial u}{\partial x} & \frac{1}{2} \left(\frac{\partial v}{\partial x} + \frac{\partial u}{\partial y} \right) & \frac{1}{2} \left(\frac{\partial w}{\partial x} + \frac{\partial u}{\partial z} \right) \\ \frac{1}{2} \left(\frac{\partial u}{\partial y} + \frac{\partial v}{\partial x} \right) & \frac{\partial v}{\partial y} & \frac{1}{2} \left(\frac{\partial w}{\partial y} + \frac{\partial v}{\partial z} \right) \\ \frac{1}{2} \left(\frac{\partial u}{\partial z} + \frac{\partial w}{\partial x} \right) & \frac{1}{2} \left(\frac{\partial v}{\partial z} + \frac{\partial w}{\partial x} \right) & \frac{\partial w}{\partial z} \end{pmatrix}$$

$$\omega_{xy} = \frac{1}{2} \left(\frac{\partial v}{\partial x} - \frac{\partial u}{\partial y} \right)$$

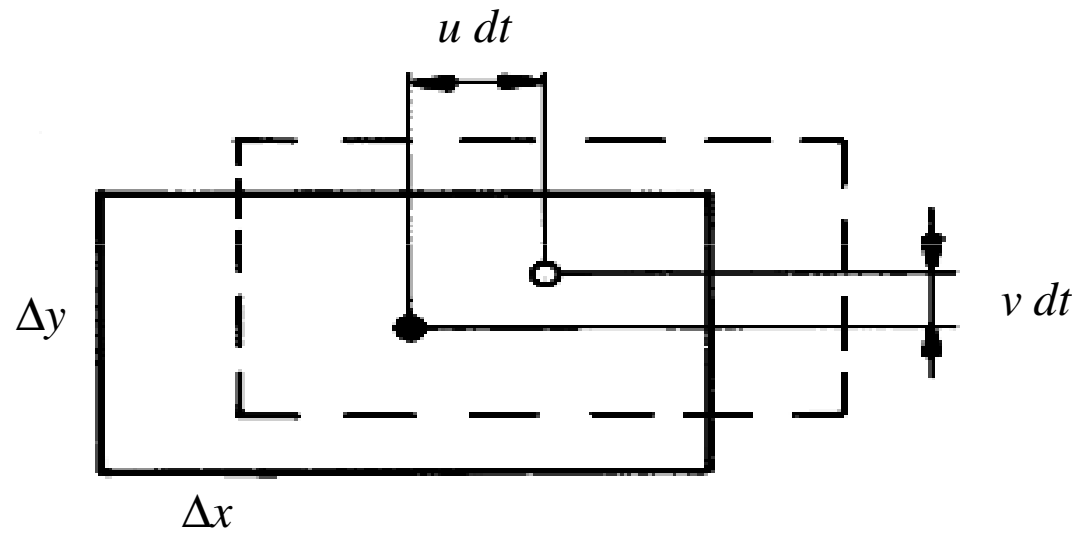
$$\omega_{yz} = \frac{1}{2} \left(\frac{\partial w}{\partial y} - \frac{\partial v}{\partial z} \right)$$

$$\omega_{zx} = \frac{1}{2} \left(\frac{\partial u}{\partial z} - \frac{\partial w}{\partial x} \right)$$

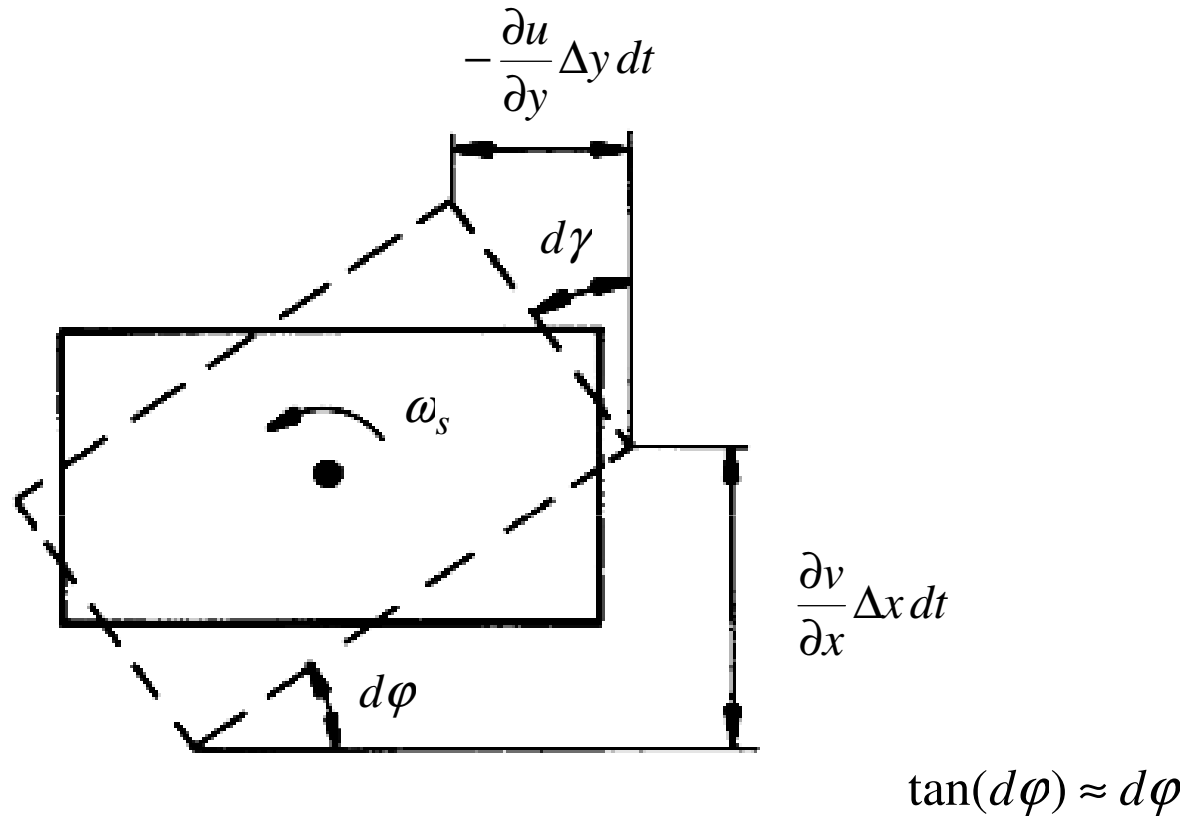
Bedeutung von $\dot{\mathcal{E}}_i$, $\dot{\mathcal{E}}_{ij}$, ω_{ij} ?

Unverformtes Element bewegt sich in der Strömung

Translation:



Rotation:



$$d\varphi = \frac{\partial v}{\partial x} dt = -\frac{\partial u}{\partial y} dt$$

⇒ Zeitliche Winkeländerung $\dot{\varphi} = \frac{d\varphi}{dt}$ aus dem arithmetischen Mittel

$$\omega_z = \frac{1}{2} \left(\frac{\partial v}{\partial x} - \frac{\partial u}{\partial y} \right) = \omega_{xy}$$

⇒ Drehung um z-Achse

In 3D erhält man :

$$\omega_x = \frac{1}{2} \left(\frac{\partial w}{\partial y} - \frac{\partial v}{\partial z} \right) = \omega_{yz}$$

$$\omega_y = \frac{1}{2} \left(\frac{\partial u}{\partial z} - \frac{\partial w}{\partial x} \right) = \omega_{zx}$$

⇒ Dreh- oder Wirbelvektor $\vec{\omega}$

$$\vec{\omega} = \omega_x \vec{i} + \omega_y \vec{j} + \omega_z \vec{k}$$

⇒ ω_{ij} - Terme : Rotation des unverformten Elements

Relative Volumenänderung (Volumendilatation) $\frac{1}{\Delta V} \frac{d(\Delta V)}{dt}$

$$\frac{1}{\Delta V} \frac{d(\Delta V)}{dt} = \frac{1}{\Delta V} \left\{ \left[\Delta x + \frac{\partial u}{\partial x} \Delta x dt \right] \cdot \left[\Delta y + \frac{\partial v}{\partial y} \Delta y dt \right] \cdot \left[\Delta z + \frac{\partial w}{\partial z} \Delta z dt \right] - \Delta x \Delta y \Delta z \right\} \frac{1}{dt}$$

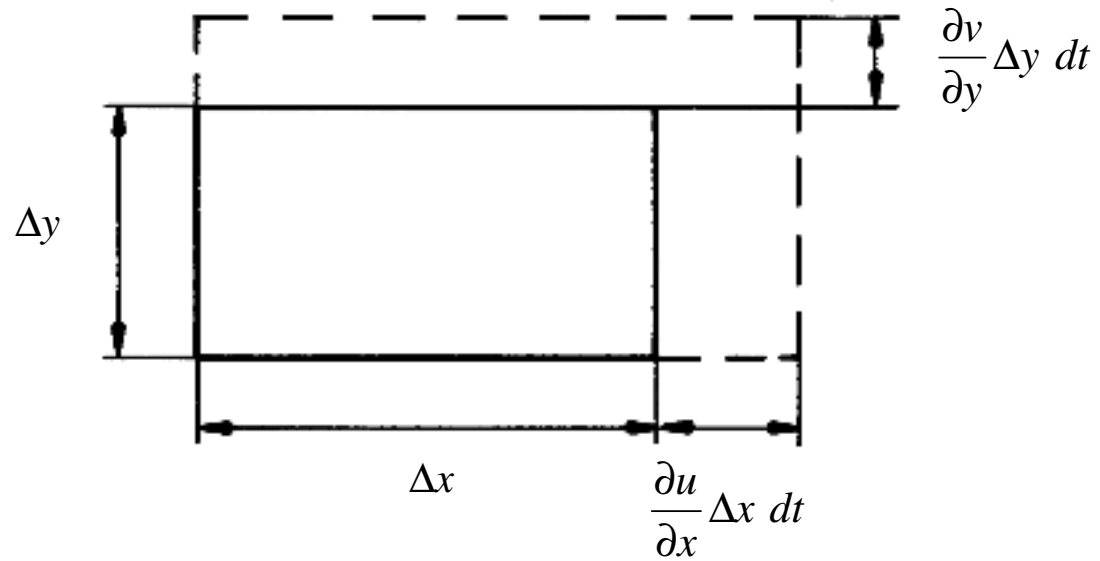
$$\frac{1}{\Delta V} \frac{d(\Delta V)}{dt} = \frac{\partial u}{\partial x} + \frac{\partial v}{\partial y} + \frac{\partial w}{\partial z} = \vec{\nabla} \cdot \vec{v} = \text{div } \vec{v}$$

→ Kontinuitätsgleichung für inkompr. Fluide

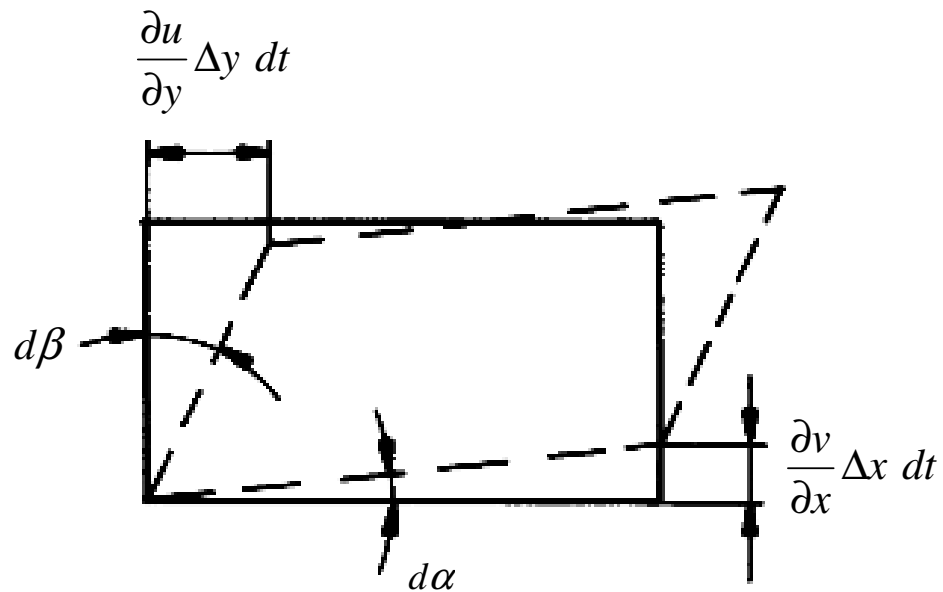
Rechteck $\xrightarrow{\text{Scherung}}$ Parallelepipet

$$d \gamma = d \alpha + d \beta$$

Verformung des Elements



Dehnung



Scherung

Dehnungsgeschwindigkeit entspricht der zeitlichen Dehnungsänderung pro Kantenlänge

$$\dot{\epsilon}_x = \frac{\partial u}{\partial x} \quad , \quad \dot{\epsilon}_y = \frac{\partial v}{\partial y} \quad , \quad \dot{\epsilon}_z = \frac{\partial w}{\partial z}$$

entspricht den Hauptdiagonalen der Matrix d_{ij}

$$d \alpha = \frac{\partial v}{\partial x} dt$$

$$d \beta = \frac{\partial u}{\partial y} dt$$

$$\frac{d\gamma}{dt} : \left(\frac{d\alpha}{dt} \right); \left(\frac{d\beta}{dt} \right) \quad \text{gesamte Winkeländerung pro Zeit}$$

Schergeschwindigkeit $\dot{\gamma}_{ij}$ über arithmetische Mittelung

$$\dot{\gamma}_{xy} = \frac{1}{2} \left(\frac{\partial u}{\partial y} + \frac{\partial v}{\partial x} \right)$$

$$\dot{\gamma}_{yz} = \frac{1}{2} \left(\frac{\partial v}{\partial z} + \frac{\partial w}{\partial y} \right)$$

$$\dot{\gamma}_{zx} = \frac{1}{2} \left(\frac{\partial u}{\partial z} + \frac{\partial w}{\partial x} \right)$$

Vergleiche mit d_{ij} – *Matrix* :

$$\Rightarrow \dot{\epsilon}_{ij} \hat{=} \dot{\gamma}_{ij} - \text{Terme}$$

$\Rightarrow d_{ij}$ – Matrix : enthält **Dehnung** und **Scherung**

\Rightarrow Tensor der Deformation

Spannungstensor τ_{ij} in der Impulserhaltung

Zusammenhang zwischen τ_{ij} und \dot{d}_{ij} durch Newtonschen Reibungsansatz :

Tangentiale Spannung \sim Schergeschwindigkeit

und mittels Isotropie des Elements

$\dot{\epsilon}_x, \dot{\epsilon}_y, \dot{\epsilon}_z$ und $div \vec{v}$ \longrightarrow viskositätsbedingte Normalspannungen

Ansatz:

$$\sigma_{xx} = -p + 2\eta \dot{\epsilon}_x + \lambda div \vec{v}$$

$$\sigma_{yy} = -p + 2\eta \dot{\epsilon}_y + \lambda div \vec{v}$$

$$\sigma_{zz} = -p + 2\eta \dot{\epsilon}_z + \lambda div \vec{v}$$

$$\tau_{xy} = \tau_{yx} = 2\eta \dot{\gamma}_{xy}$$

$$\tau_{yz} = \tau_{zy} = 2\eta \dot{\gamma}_{yz}$$

$$\tau_{zx} = \tau_{xz} = 2\eta \dot{\gamma}_{zx}$$

Die Größen η und λ sind Proportionalitätsfaktoren

Die Normalspannungen werden i. a. umformuliert

$$\sigma_{yy} = -p + \eta \left(2\dot{\epsilon}_y - \frac{2}{3} \operatorname{div} \vec{v} \right) + \hat{\eta} \operatorname{div} \vec{v}$$

$$\sigma_{xx} = -p + \eta \left(2\dot{\epsilon}_x - \frac{2}{3} \operatorname{div} \vec{v} \right) + \hat{\eta} \operatorname{div} \vec{v}$$

$$\sigma_{zz} = -p + \eta \left(2\dot{\epsilon}_z - \frac{2}{3} \operatorname{div} \vec{v} \right) + \hat{\eta} \operatorname{div} \vec{v}$$

η : dynamische Viskosität

$$\hat{\eta} = \lambda + \frac{2}{3} \eta \quad : \text{Volumenviskosität}$$

Stokes 'sche Hypothese : $\hat{\eta} = \lambda + \frac{2}{3} \eta = 0$

inkompressible Strömungen : $\operatorname{div} \vec{v} = 0$

\Rightarrow mittlere Normalspannung $\bar{\sigma}$:

$$\bar{\sigma} = \frac{1}{3} (\sigma_{xx} + \sigma_{yy} + \sigma_{zz}) = -p + \hat{\eta} \operatorname{div} \vec{v}$$

Einsetzen der Normal- und Tangentialspannung

⇒ **Navier- Stokes Gleichungen**

$$\rho \frac{du}{dt} = \rho g_x - \frac{\partial p}{\partial x} + \frac{\partial}{\partial x} \left[\eta \left(2 \frac{\partial u}{\partial x} - \frac{2}{3} \operatorname{div} \vec{v} \right) \right] + \frac{\partial}{\partial y} \left[\eta \left(\frac{\partial u}{\partial y} + \frac{\partial v}{\partial x} \right) \right] + \frac{\partial}{\partial z} \left[\eta \left(\frac{\partial w}{\partial x} + \frac{\partial u}{\partial z} \right) \right]$$

$$\rho \frac{dv}{dt} = \rho g_y - \frac{\partial p}{\partial y} + \frac{\partial}{\partial y} \left[\eta \left(2 \frac{\partial v}{\partial y} - \frac{2}{3} \operatorname{div} \vec{v} \right) \right] + \frac{\partial}{\partial z} \left[\eta \left(\frac{\partial v}{\partial z} + \frac{\partial w}{\partial y} \right) \right] + \frac{\partial}{\partial x} \left[\eta \left(\frac{\partial u}{\partial y} + \frac{\partial v}{\partial x} \right) \right]$$

$$\rho \frac{dw}{dt} = \rho g_z - \frac{\partial p}{\partial z} + \frac{\partial}{\partial z} \left[\eta \left(2 \frac{\partial w}{\partial z} - \frac{2}{3} \operatorname{div} \vec{v} \right) \right] + \frac{\partial}{\partial x} \left[\eta \left(\frac{\partial w}{\partial x} + \frac{\partial u}{\partial z} \right) \right] + \frac{\partial}{\partial y} \left[\eta \left(\frac{\partial v}{\partial z} + \frac{\partial w}{\partial y} \right) \right]$$

inkompressible Strömung, $\eta = \text{konst}$

$$\longrightarrow \operatorname{div} \vec{v} = 0$$

Vereinfachung der 2. Ableitungen

$$\eta \left(\frac{\partial^2 u}{\partial x^2} + \frac{\partial^2 u}{\partial y^2} + \frac{\partial^2 u}{\partial z^2} \right) + \frac{\partial}{\partial x} \left[\eta \left(\frac{\partial u}{\partial x} + \frac{\partial v}{\partial y} + \frac{\partial w}{\partial z} \right) \right] = \eta \left(\frac{\partial^2 u}{\partial x^2} + \frac{\partial^2 u}{\partial y^2} + \frac{\partial^2 u}{\partial z^2} \right)$$

\Rightarrow Navier- Stokes Gleichungen für ein ink. Fluid

$$\rho \frac{du}{dt} = \rho g_x - \frac{\partial p}{\partial x} + \eta \left(\frac{\partial^2 u}{\partial x^2} + \frac{\partial^2 u}{\partial y^2} + \frac{\partial^2 u}{\partial z^2} \right)$$

$$\rho \frac{dv}{dt} = \rho g_y - \frac{\partial p}{\partial y} + \eta \left(\frac{\partial^2 v}{\partial x^2} + \frac{\partial^2 v}{\partial y^2} + \frac{\partial^2 v}{\partial z^2} \right)$$

$$\rho \frac{dw}{dt} = \rho g_z - \frac{\partial p}{\partial z} + \eta \left(\frac{\partial^2 w}{\partial x^2} + \frac{\partial^2 w}{\partial y^2} + \frac{\partial^2 w}{\partial z^2} \right)$$

Energiegleichungen

1. Hauptsatz der Thermodynamik :

$$\frac{dQ}{dt} = \frac{dE}{dt} + \frac{dW}{dt}$$

Q : Wärme; E : Energie; W : Arbeit

Volumenelement :

$$\Delta V = \Delta x \Delta y \Delta z$$

$$\Delta m = \rho \Delta V$$

Wärmeleitung nach Fourier :

$$\frac{1}{A} \frac{dQ}{dt} = q = -\lambda \frac{\partial T}{\partial n}$$

λ : Wärmeleitfähigkeit

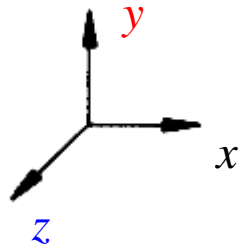
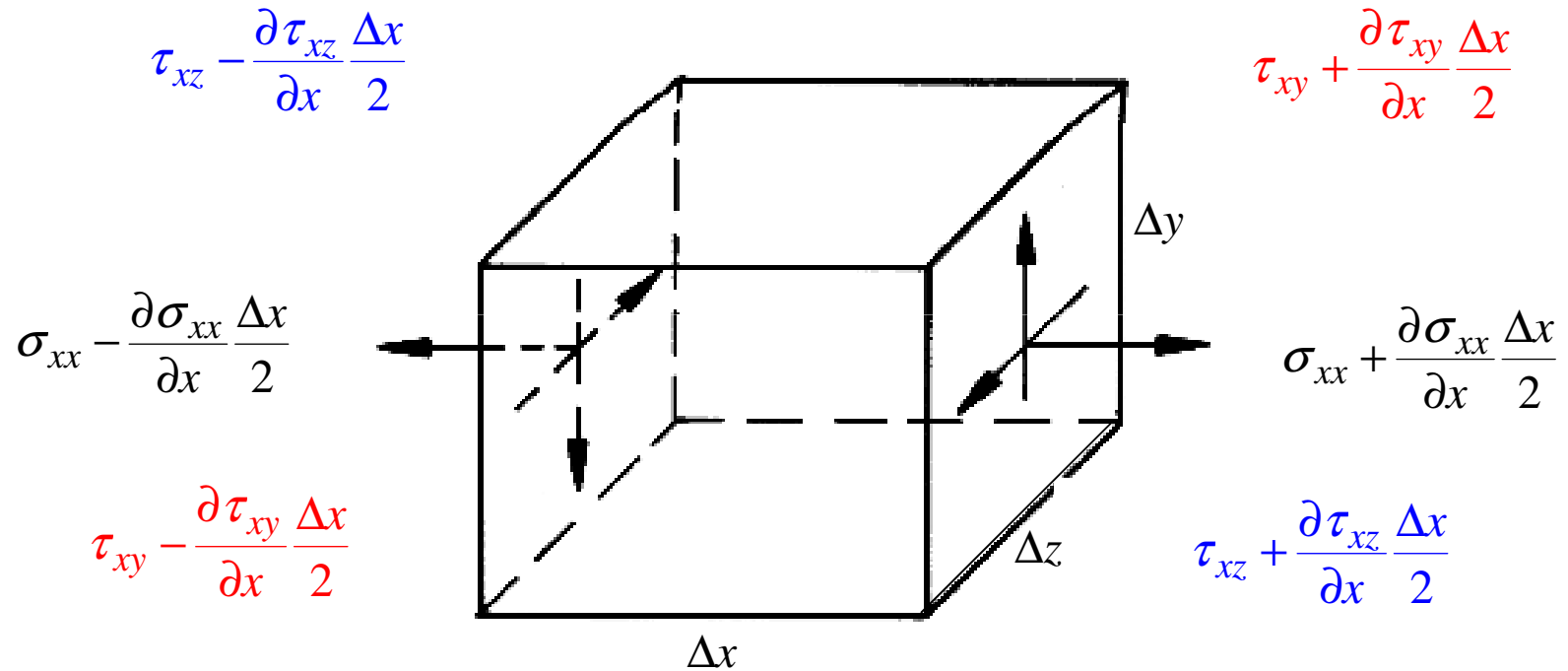
Betrachtung für die Fläche $\Delta y \Delta z$ (x-Richtung)

aufgenommene Wärme:
$$-\left(\lambda \frac{\partial T}{\partial x} - \frac{\partial}{\partial x} \left(\lambda \frac{\partial T}{\partial x} \right) \frac{\Delta x}{2} \right) \Delta y \Delta z$$

abgegebene Wärme:
$$\left(\lambda \frac{\partial T}{\partial x} + \frac{\partial}{\partial x} \left(\lambda \frac{\partial T}{\partial x} \right) \frac{\Delta x}{2} \right) \Delta y \Delta z$$

Nettowärmestrom in x-, y- und z-Richtung

$$dQ = dt \Delta V \left\{ \frac{\partial}{\partial x} \left(\lambda \frac{\partial T}{\partial x} \right) + \frac{\partial}{\partial y} \left(\lambda \frac{\partial T}{\partial y} \right) + \frac{\partial}{\partial z} \left(\lambda \frac{\partial T}{\partial z} \right) \right\}$$



zeitliche Änderung der Gesamtenergie:

$$\frac{dE}{dt} = \rho \Delta V \left[\frac{de}{dt} + \frac{1}{2} \frac{d}{dt} (u^2 + v^2 + w^2) \right]$$

e : massenbezogene innere Energie

Arbeit pro Zeit anhand von σ_{xx} :

$$\begin{aligned} dW_{\sigma_{xx}} &= -\Delta y \Delta z dt \left\{ \underbrace{- \left(u - \frac{\partial u}{\partial x} \frac{\Delta x}{2} \right) \left(\sigma_{xx} - \frac{\partial \sigma_{xx}}{\partial x} \frac{\Delta x}{2} \right)}_{\text{blue underline}} \right. \\ &\quad \left. + \underbrace{\left(u + \frac{\partial u}{\partial x} \frac{\Delta x}{2} \right) \left(\sigma_{xx} + \frac{\partial \sigma_{xx}}{\partial x} \frac{\Delta x}{2} \right)}_{\text{red underline}} \right\} \\ &= -\Delta y \Delta z dt \left(u \frac{\partial \sigma_{xx}}{\partial x} + \sigma_{xx} \frac{\partial u}{\partial x} \right) \Delta x \\ &= -\Delta V dt \frac{\partial}{\partial x} (u \sigma_{xx}) \\ &\quad \underline{\underline{\text{blue double underline}}} \end{aligned}$$

analoge Vorgehensweise für den gesamten Spannungstensor :

$$\frac{dW}{dt} = -\Delta V \left[\frac{\partial}{\partial x} (u \sigma_{xx} + v \tau_{xy} + w \tau_{xz}) + \frac{\partial}{\partial y} (u \tau_{yx} + v \sigma_{yy} + w \tau_{yz}) + \frac{\partial}{\partial z} (u \tau_{zx} + v \tau_{zy} + w \sigma_{zz}) \right]$$

Mittels Impulserhaltung (z.B. x-Impuls) :

$$\rho \frac{du}{dt} = \frac{\partial \sigma_{xx}}{\partial x} + \frac{\partial \tau_{xy}}{\partial y} + \frac{\partial \tau_{xz}}{\partial z}$$

Umformung der $\frac{dE}{dt}$ und $\frac{dW}{dt}$ -Therme :

$$\frac{dE}{dt} = \left[\rho \frac{de}{dt} + u \rho \frac{du}{dt} + v \rho \frac{dv}{dt} + w \rho \frac{dw}{dt} \right] \Delta V$$

$$\begin{aligned} \frac{dW}{dt} \frac{1}{\Delta V} = & -u \frac{\partial \sigma_{xx}}{\partial x} - \sigma_{xx} \frac{\partial u}{\partial x} \dots \\ & -u \frac{\partial \tau_{xy}}{\partial y} - \tau_{xy} \frac{\partial u}{\partial y} \dots \\ & -u \frac{\partial \tau_{zx}}{\partial z} - \tau_{zx} \frac{\partial u}{\partial z} \dots \end{aligned}$$

$$\begin{aligned} \left(\frac{dE}{dt} + \frac{dW}{dt} \right) \frac{1}{\Delta V} = & \rho \frac{de}{dt} - \sigma_{xx} \frac{\partial u}{\partial x} - \tau_{xy} \frac{\partial v}{\partial x} - \tau_{xz} \frac{\partial w}{\partial x} \\ & - \tau_{yx} \frac{\partial u}{\partial y} - \sigma_{yy} \frac{\partial v}{\partial y} - \tau_{yz} \frac{\partial w}{\partial y} \\ & - \tau_{zx} \frac{\partial u}{\partial z} - \tau_{zy} \frac{\partial v}{\partial z} - \sigma_{zz} \frac{\partial w}{\partial z} \end{aligned}$$

Einführung der Spannungen ergibt die Energiegleichung

$$\rho \frac{de}{dt} + p \operatorname{div} \vec{v} = \frac{\partial}{\partial x} \left(\lambda \frac{\partial T}{\partial x} \right) + \frac{\partial}{\partial y} \left(\lambda \frac{\partial T}{\partial y} \right) + \frac{\partial}{\partial z} \left(\lambda \frac{\partial T}{\partial z} \right) + \eta \Phi$$

mit Φ für $\hat{\eta} = 0$

$$\begin{aligned} \Phi = & 2 \left[\left(\frac{\partial u}{\partial x} \right)^2 + \left(\frac{\partial v}{\partial y} \right)^2 + \left(\frac{\partial w}{\partial z} \right)^2 \right] + \left(\frac{\partial v}{\partial x} + \frac{\partial u}{\partial y} \right)^2 \\ & + \left(\frac{\partial w}{\partial y} + \frac{\partial v}{\partial z} \right)^2 + \left(\frac{\partial u}{\partial z} + \frac{\partial w}{\partial x} \right)^2 - \frac{2}{3} \left(\frac{\partial u}{\partial x} + \frac{\partial v}{\partial y} + \frac{\partial w}{\partial z} \right)^2 > 0 \end{aligned}$$

Φ = Dissipationsfunktion

mechanische Energie \longrightarrow thermische Energie

Energiegleichungen für ideale Gase

$$e = f(T), \quad h = e + \frac{p}{\rho} = f(T)$$

kalorische Zustandsgleichungen:

$$de = \left(\frac{\partial e}{\partial T} \right)_{\frac{1}{\rho}} dT = c_v dT \quad dh = \left(\frac{\partial h}{\partial T} \right)_p dT = c_p dT$$

$$\Rightarrow \frac{de}{dt} = \frac{dh}{dt} - \frac{d\left(\frac{p}{\rho}\right)}{dt} = c_p \frac{dT}{dt} - \frac{1}{\rho} \left[\frac{dp}{dt} - \frac{p d\rho}{\rho dt} \right]$$

Kontinuitätsgleichung:

$$-\frac{1}{\rho} \frac{d\rho}{dt} = \frac{\partial u}{\partial x} + \frac{\partial v}{\partial y} + \frac{\partial w}{\partial z} = \operatorname{div} \vec{v}$$

$$\Rightarrow \boxed{\rho c_p \frac{dT}{dt} = \frac{dp}{dt} + \left[\frac{\partial}{\partial x} \left(\lambda \frac{\partial T}{\partial x} \right) + \frac{\partial}{\partial y} \left(\lambda \frac{\partial T}{\partial y} \right) + \frac{\partial}{\partial z} \left(\lambda \frac{\partial T}{\partial z} \right) \right] + \eta \Phi}$$

Form der Energiegleichung in CFD-Untersuchungen

$$\begin{aligned} \frac{\partial E}{\partial t} + \frac{\partial}{\partial x} [u(E + p)] + \frac{\partial}{\partial y} [v(E + p)] + \frac{\partial}{\partial z} [w(E + p)] = \\ \frac{\partial}{\partial x} [u\tau_{xx} + v\tau_{xy} + w\tau_{xz} - q_x] + \\ \frac{\partial}{\partial y} [u\tau_{xy} + v\tau_{yy} + w\tau_{yz} - q_y] + \\ \frac{\partial}{\partial z} [u\tau_{xz} + v\tau_{yz} + w\tau_{zz} - q_z] \end{aligned}$$

bzw. mit

$$H = h + \frac{\|\vec{v}\|^2}{2}$$
$$\rho H = p + \rho \left(e + \frac{\|\vec{v}\|^2}{2} \right) = p + E$$

lauten die räumlichen 1. Ableitungen der linken Seite

$$\frac{\partial}{\partial x} (\rho u H) + \frac{\partial}{\partial y} (\rho v H) + \frac{\partial}{\partial z} (\rho w H)$$

Formen der Erhaltungsgleichungen

Vektorschreibweise unter Berücksichtigung des Nabla-Operators

Masse:
$$\frac{\partial \rho}{\partial t} + \vec{\nabla} \cdot (\rho \vec{v}) = 0$$

oder
$$\frac{d\rho}{dt} + \rho \vec{\nabla} \cdot \vec{v} = 0$$

Impuls: Spannungstensor τ

$$\tau = \begin{pmatrix} \sigma_x & \tau_{xy} & \tau_{xz} \\ \tau_{yx} & \sigma_y & \tau_{yz} \\ \tau_{zx} & \tau_{zy} & \sigma_z \end{pmatrix}$$

$$\sigma_x = \sigma_{xx} + p = \eta \left(2\dot{\epsilon}_x - \frac{2}{3} \operatorname{div} \vec{v} \right) + \hat{\eta} \operatorname{div} \vec{v}$$

$$\sigma_y = \sigma_{yy} + p$$

$$\sigma_z = \sigma_{zz} + p$$

⇒ Formen der Navier-Stokes Gleichungen:

$$\rho \frac{d\vec{v}}{dt} = \rho \vec{g} - \vec{\nabla} p + \vec{\nabla} \cdot \tau$$

oder:
$$\rho \left(\frac{\partial \vec{v}}{\partial t} + (\vec{v} \cdot \vec{\nabla}) \vec{v} \right) = \rho \vec{g} - \vec{\nabla} p + \vec{\nabla} \cdot \tau$$

oder:
$$\frac{\partial}{\partial t} (\rho \vec{v}) + \vec{\nabla} \cdot (\rho \vec{v} \vec{v}) = \rho \vec{g} - \vec{\nabla} p + \vec{\nabla} \cdot \tau$$

mit $\vec{v} \vec{v} = \begin{pmatrix} u^2 & uv & uw \\ vu & v^2 & vw \\ wu & wv & w^2 \end{pmatrix}$

inkompressibles Fluid mit $\eta = \text{konstant}$:

$$\rho \frac{d\vec{v}}{dt} = \rho \vec{g} - \vec{\nabla} p + \eta \nabla^2 \vec{v}$$

+ stationär
$$\rho (\vec{v} \cdot \vec{\nabla}) \vec{v} = \rho \vec{g} - \vec{\nabla} p + \eta \nabla^2 \vec{v}$$

Energie

$$E = \rho \left(e + \frac{\|\vec{v}\|^2}{2} \right) \quad : \quad \text{Gesamtenergie}$$

$$\frac{\partial E}{\partial t} + \vec{\nabla} \cdot (E\vec{v}) = \rho \vec{g} \cdot \vec{v} - \vec{\nabla} \cdot \vec{q} - \vec{\nabla} \cdot (p\vec{v}) + \vec{\nabla} \cdot (\boldsymbol{\tau} \cdot \vec{v})$$

plus Kontinuitätsgleichung

$$\rho \frac{d}{dt} \left(e + \frac{\|\vec{v}\|^2}{2} \right) = \rho \vec{g} \cdot \vec{v} - \vec{\nabla} \cdot \vec{q} - \vec{\nabla} \cdot (p\vec{v}) + \vec{\nabla} \cdot (\boldsymbol{\tau} \cdot \vec{v})$$

$$\underline{\underline{H = \frac{p + E}{\rho}}} \quad : \quad \text{Gesamtenthalpie}$$

$$\rho \frac{dH}{dt} = \rho \vec{g} \cdot \vec{v} + \frac{\partial p}{\partial t} - \vec{\nabla} \cdot \vec{q} + \vec{\nabla} \cdot (\boldsymbol{\tau} \cdot \vec{v})$$

$$\frac{d}{dt} \left(e + \frac{\|\vec{v}\|^2}{2} \right) = \frac{dH}{dt} - \frac{1}{\rho} \left(\frac{\partial p}{\partial t} + \vec{\nabla} \cdot (p\vec{v}) \right)$$

e : innere Energie

$$\rho \frac{de}{dt} = -\vec{\nabla} \cdot \vec{q} - p \vec{\nabla} \cdot \vec{v} + \tau \cdot \vec{\nabla} \vec{v}$$

mit

$$\begin{aligned} \tau \cdot \vec{\nabla} \vec{v} &= \sigma_x \frac{\partial u}{\partial x} + \tau_{xy} \frac{\partial u}{\partial y} + \tau_{xz} \frac{\partial u}{\partial z} + \tau_{yx} \frac{\partial v}{\partial x} + \sigma_y \frac{\partial v}{\partial y} + \tau_{yz} \frac{\partial v}{\partial z} + \tau_{zx} \frac{\partial w}{\partial x} + \tau_{zy} \frac{\partial w}{\partial y} + \sigma_z \\ &= \sigma_x \frac{\partial u}{\partial x} + \sigma_y \frac{\partial v}{\partial y} + \sigma_z \frac{\partial u}{\partial z} + \tau_{xy} \left(\frac{\partial u}{\partial y} + \frac{\partial v}{\partial x} \right) + \tau_{yz} \left(\frac{\partial v}{\partial z} + \frac{\partial w}{\partial y} \right) + \tau_{zx} \left(\frac{\partial w}{\partial x} + \frac{\partial u}{\partial z} \right) \\ &= \eta \Phi \end{aligned}$$

h : innere Enthalpie

$$\rho \frac{dh}{dt} = -\vec{\nabla} \cdot \vec{q} + \frac{dp}{dt} + \tau \cdot \vec{\nabla} \vec{v}$$

bzw. bei idealem Gas:

$$\rho c_p \frac{dT}{dt} = -\vec{\nabla} \cdot \vec{q} + \frac{dp}{dt} + \tau \cdot \vec{\nabla} \vec{v}$$

Ähnlichkeitstheorie

Realistische Probleme sind selten durch exakte Lösungen der Erhaltungsgleichungen zu beschreiben.

⇒ Lösung mittels **Numerik** oder **Experiment**

Experiment :

- Planung
- Übertragbarkeit der Ergebnisse

⇒ Ähnlichkeitstheorie

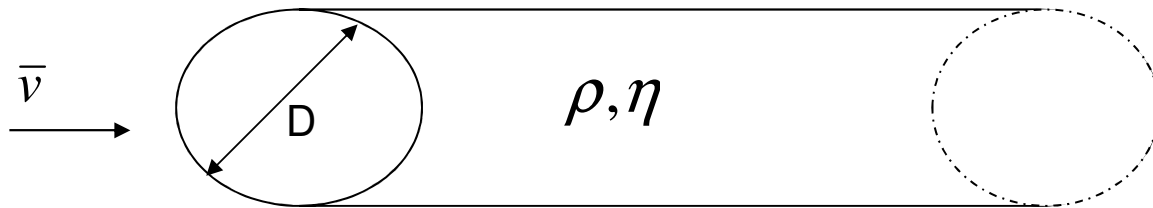
Ähnlichkeit : Beziehung zwischen Modell und Realausführung

2 Methoden :

- Methode der DGL
- Dimensionsanalyse

Dimensionsanalyse

Pipeline-Problem :



stationär, inkompr.

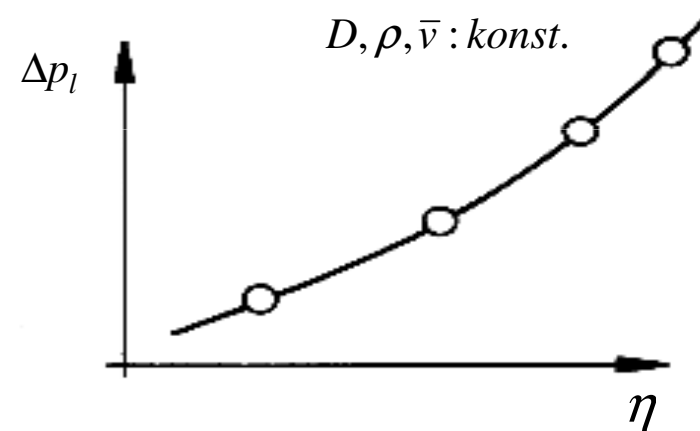
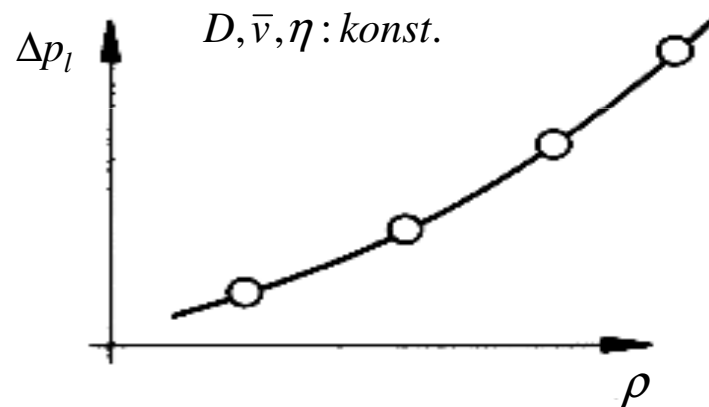
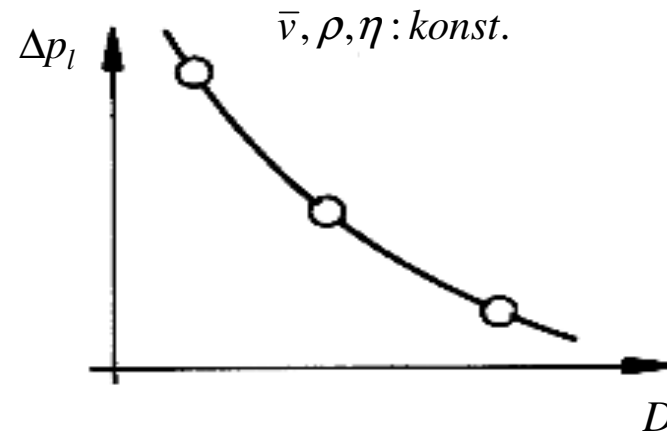
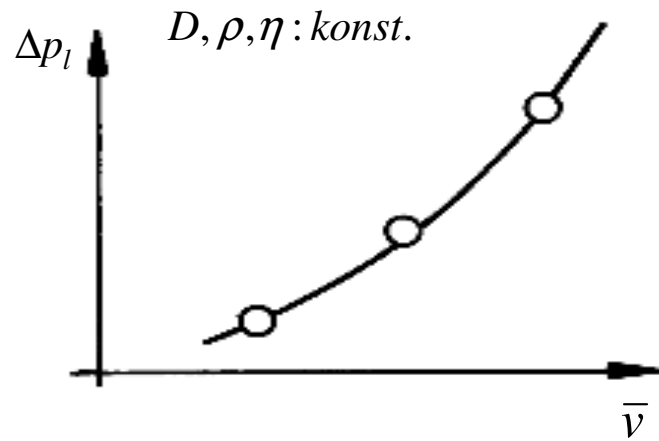
Druckverlust pro Einheitslänge Δp_l ?

Planung des Experiments $\rightarrow \Delta p_l = f(?)$

hier : $\Delta p_l = f(D, \rho, \eta, \bar{v})$

$f(\dots)$ mittels Experiment bestimmen!

Experiment der Form : $\Delta p_l = f(x_1)$ mit x_2, x_3, x_4 konstant

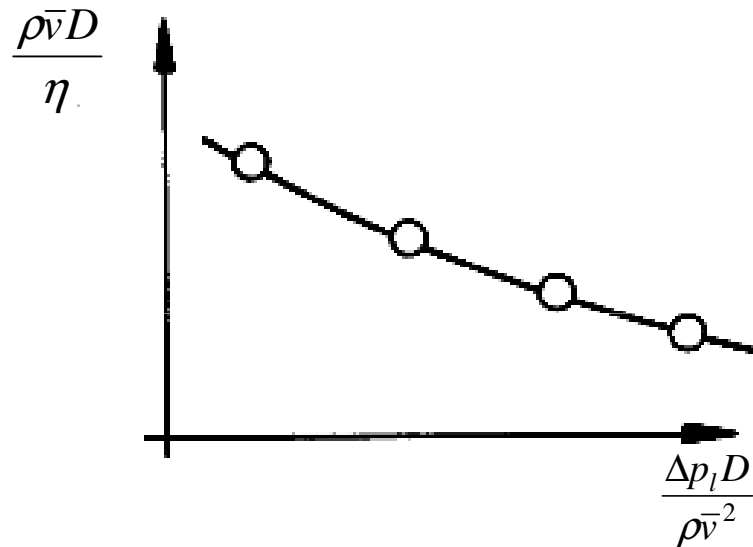


Betrag von $\Delta p_l = f(D, \rho, \eta, \bar{v})$ aufwendig und schwierig

Daten liefern nicht automatisch $f(\dots)$.

Ausweg : Bildung von **Kennzahlen** (dimensionslose Parameter) aus ρ, η, D, \bar{v}

hier :
$$\frac{\Delta p_l D}{\rho \bar{v}^2} = \phi \left(\frac{\rho \bar{v} D}{\eta} \right)$$



⇒ 1 Kurve aus den Experimenten?

Exp. : einfacher und kostengünstiger

Wie gelangt man zu $\frac{\Delta p_l D}{\rho \bar{v}^2} = \phi \left(\frac{\rho \bar{v} D}{\eta} \right)$?

Basis : Dimension der Variablen \Rightarrow qualitative Beschreibung des Problems

Basisdimensionen :

M : Masse, L : Länge, T : Zeit

Pipeline-Problem : $\Delta p_l \left[\frac{M}{t^2 L^2} \right], D[L], \rho \left[\frac{M}{L^3} \right], \bar{v} \left[\frac{L}{t} \right], \eta \left[\frac{M}{Lt} \right]$

$\Rightarrow \frac{\Delta p_l D}{\rho \bar{v}^2} = \phi \left(\frac{\rho \bar{v} D}{\eta} \right)$: dimensionslos

mittels Dimensionsanalyse wird die Anzahl der Variablen reduziert.

Grundlage der Dimensionsanalyse ist das **Kennzahl-** oder **PI-Theorem** von Buckingham.

⇒ # der nötigen dimensionslosen Parameter

PI-Theorem : Sofern eine Gleichung mit **k Variablen** bezüglich der Dimensionen homogen ist, kann sie auf eine Beziehung **mit k-r unabhängigen dimensionslosen Variablen** reduziert werden, wobei **r der minimalen Anzahl von Referenzgrößen** entspricht, die zur Beschreibung der ursprünglichen Variablen nötig ist.

dimensionslose Größen : Kennzahlen oder PI-Terme

D.h. nach **PI-Theorem** folgt auf

$$u_1 = f(u_2, u_3, u_4, \dots, u_k)$$

der Zusammenhang

$$\pi_1 = \Phi(\pi_2, \pi_3, \dots, \pi_{k-r})$$

Im Allgemeinen ist $r=3$ (M, L, T)

Bestimmung der **PI-Terme** mittels der **Methode der wiederkehrenden Variablen**.

1. Angabe aller relevanten Variablen,

i. a. geometrische Daten ($\rightarrow D$)

 Fluiddaten ($\rightarrow \rho, \eta$)

 äußere Effekte ($\rightarrow \Delta p_l$) .

Achtung : Variablen müssen unabhängig sein (\rightarrow nicht D und A)

2. Alle Variablen in Referenzgrößen schreiben

3. k : # der Variablen

r : # der Referenzgrößen

→ $k-r$: # der Kennzahlen

4. Wahl der wiederkehrenden Variablen, # der wiederkehrenden Variablen = # der Referenzdimensionen, wiederkehrende Variable besitzen alle Bezugsdimensionen; wiederkehrende Variable müssen dimensional unabhängig sein;

Bemerkung : die wesentliche, zu bestimmende Größe sollte nicht Teil der Liste der wiederkehrenden Variablen sein.

5. Bestimmung der Kennzahl: Multiplikation einer nichtwiederkehrenden Variablen mit den wiederkehrenden Variablen derart, dass die Kennzahl dimensionslos ist, Betrachtung für jede nichtwiederkehrende Variable.

6. Check : Kennzahl dimensionslos?

7. Angabe von $\pi_1 = \Phi(\pi_2, \pi_3, \dots, \pi_{k-r})$

Bemerkung : Bestimmung von Φ mittels Experiment

Anwendung auf das Pipeline-Problem

1. $\Delta p_l = f(D, \rho, \eta, \bar{v})$

2. $\Delta p_l = \frac{M}{t^2 L^2}, D \doteq L, \rho \doteq \frac{M}{L^3}, \eta \doteq \frac{M}{Lt}, \bar{v} \doteq \frac{L}{t}$

3. $k = 5, r = 3, k - r = 2$ Kennzahlen

4. wiederkehrende Variable D, ρ, \bar{v}

5. $\pi_1 = \Delta p_l D^a \bar{v}^b \rho^c$

$$M^0 L^0 t^0 \doteq M t^{-2} L^{-2} L^a (L t^{-1})^b (M L^{-3})^c$$

$$M : 0 = 1 + c$$

$$L : 0 = -2 + a + b - 3c$$

$$t : 0 = -2 - b$$

$$a = 1, b = -2, c = -1$$

$$\pi_1 = \frac{\Delta p_l D}{\rho \bar{v}^2}$$

$$\pi_2 = \eta D^a \bar{v}^b \rho^c$$

$$M^0 L^0 t^0 \doteq M t^{-1} L^{-1} L^a (L t^{-1})^b (M L^{-3})^c$$

$$M : 0 = 1 + c$$

$$L : 0 = -1 + a + b - 3c$$

$$t : 0 = -1 - b$$

$$a = -1, b = -1, c = -1$$

$$\pi_2 = \frac{\eta}{D\rho\bar{v}}$$

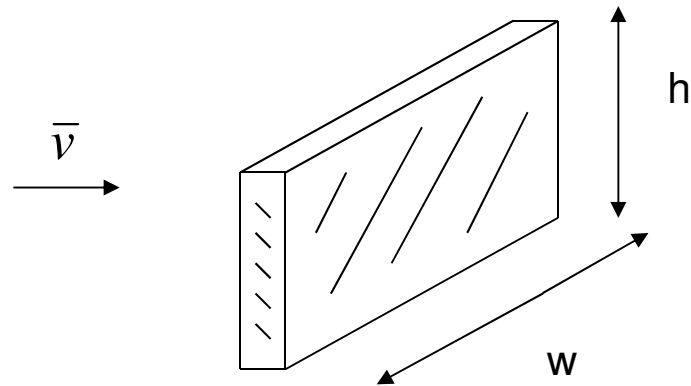
6. Check : π_1, π_2 dimensionlos

7.
$$\frac{\Delta p_l D}{\rho\bar{v}^2} = \varphi\left(\frac{\eta}{D\rho\bar{v}}\right)$$

$$\frac{\Delta p_l D}{\rho\bar{v}^2} = \phi\left(\frac{D\rho\bar{v}}{\eta}\right)$$

φ - oder ϕ - Funktion aus Experiment

Platten-Beispiel :



gesucht : Widerstand $D = f(w, h, \rho, \eta, \bar{v})$ bzw. geeignete
Kennzahlen zur Beschreibung

$$D \doteq MLt^{-2}, \quad w \doteq L, \quad h \doteq L, \quad \rho \doteq ML^{-3}$$

$$\eta \doteq ML^{-1}t^{-1}, \quad \bar{v} \doteq Lt^{-1}$$

$$k = 6, \quad r = 3$$

\Rightarrow # der Kennzahlen $k - r = 3$

wiederkehrende Variable : ρ, \bar{v}, w

$$\pi_1 = D w^a \bar{v}^b \rho^c$$

$$M^0 L^0 t^0 \doteq M L t^{-2} L^a (L t^{-1})^b (M L^{-3})^c$$

$$M : 0 = 1 + c$$

$$L : 0 = 1 + a + b - 3c$$

$$t : 0 = -2 - b$$

$$a = -2, b = -2, c = -1$$

$$\pi_1 = \frac{D}{w^2 \bar{v}^2 \rho}$$

$$\pi_2 = h w^a \bar{v}^b \rho^c$$

$$M^0 L^0 t^0 \doteq L L^a (L t^{-1})^b (M L^{-3})^c$$

$$M : 0 = c$$

$$L : 0 = 1 + a + b - 3c$$

$$t : 0 = b$$

$$a = -1, b = 0, c = 0$$

$$\pi_2 = \frac{h}{w}$$

$$\pi_3 = \eta w^a \bar{v}^b \rho^c$$

$$M^0 L^0 t^0 \doteq ML^{-1} t^{-1} L^a (Lt^{-1})^b (ML^{-3})^c$$

$$a = -1, b = -1, c = -1$$

$$\pi_3 = \frac{\eta}{w \bar{v} \rho}$$

$$\frac{D}{w^2 \bar{v}^2 \rho} = \phi \left(\frac{w}{h}, \frac{w \bar{v} \rho}{\eta} \right)$$

Methode der Differentialgleichungen

Beschreibung anhand der 2-dim. , inkompressiblen Strömung

Erhaltungsgleichungen :

$$\frac{\partial u}{\partial x} + \frac{\partial v}{\partial y} = 0$$

$$\rho \left(\frac{\partial u}{\partial t} + u \frac{\partial u}{\partial x} + v \frac{\partial u}{\partial y} \right) = - \frac{\partial p}{\partial x} + \eta \left(\frac{\partial^2 u}{\partial x^2} + \frac{\partial^2 u}{\partial y^2} \right)$$

$$\rho \left(\frac{\partial v}{\partial t} + u \frac{\partial v}{\partial x} + v \frac{\partial v}{\partial y} \right) = - \frac{\partial p}{\partial y} - \rho g + \eta \left(\frac{\partial^2 v}{\partial x^2} + \frac{\partial^2 v}{\partial y^2} \right)$$

Rand- und Anfangsbedingungen sind bekannt

Variablen des Problems : u, v, p, x, y, t

Referenzgrößen :

$$u_{\infty}, p_{\infty}, l, \tau$$

dimensionslose Variable :

$$\bar{u} = \frac{u}{u_{\infty}}, \quad \bar{v} = \frac{v}{v_{\infty}}, \quad \bar{p} = \frac{p}{p_{\infty}}$$

$$\bar{x} = \frac{x}{l}, \quad \bar{y} = \frac{y}{l}, \quad \bar{t} = \frac{t}{\tau}$$

in DGL einsetzen : \Rightarrow z. Bsp.

$$\frac{\partial u}{\partial x} = \frac{\partial(u_{\infty} \bar{u})}{\partial \bar{x}} \frac{\partial \bar{x}}{\partial x} = \frac{u_{\infty}}{l} \frac{\partial \bar{u}}{\partial \bar{x}}$$

$$\frac{\partial^2 u}{\partial x^2} = \frac{u_{\infty}}{l} \frac{\partial}{\partial \bar{x}} \left(\frac{\partial \bar{u}}{\partial \bar{x}} \right) \frac{\partial \bar{x}}{\partial x} = \frac{u_{\infty}}{l^2} \frac{\partial^2 \bar{u}}{\partial \bar{x}^2}$$

\Rightarrow

$$\frac{\partial \bar{u}}{\partial \bar{x}} + \frac{\partial \bar{v}}{\partial \bar{y}} = 0$$

$$\frac{\rho u_\infty}{\tau} \frac{\partial \bar{u}}{\partial \bar{t}} + \frac{\rho u_\infty^2}{l} \left(\bar{u} \frac{\partial \bar{u}}{\partial \bar{x}} + \bar{v} \frac{\partial \bar{u}}{\partial \bar{y}} \right) = -\frac{p_\infty}{l} \frac{\partial \bar{p}}{\partial \bar{x}} + \frac{\eta u_\infty}{l^2} \left(\frac{\partial^2 \bar{u}}{\partial \bar{x}^2} + \frac{\partial^2 \bar{u}}{\partial \bar{y}^2} \right)$$

$$\underbrace{\frac{\rho u_\infty}{\tau}}_{F_{II}} \frac{\partial \bar{v}}{\partial \bar{t}} + \underbrace{\frac{\rho u_\infty^2}{l}}_{F_{Ic}} \left(\bar{u} \frac{\partial \bar{v}}{\partial \bar{x}} + \bar{v} \frac{\partial \bar{v}}{\partial \bar{y}} \right) = -\underbrace{\frac{p_\infty}{l}}_{F_p} \frac{\partial \bar{p}}{\partial \bar{y}} - \underbrace{\rho g}_{F_G} + \underbrace{\frac{\eta u_\infty}{l^2}}_{F_v} \left(\frac{\partial^2 \bar{v}}{\partial \bar{x}^2} + \frac{\partial^2 \bar{v}}{\partial \bar{y}^2} \right)$$

F_{II} : lokale Trägheitskraft / V

F_{Ic} : konvektive Trägheitskraft / V

F_p : Druckkraft / V

F_G : Gravitationskraft / V

F_V : Reibungskraft / V

dimensionslose Gleichungen : Division durch F_{Ic} (i. a.)

→

$$\frac{l}{\tau u_\infty} \frac{\partial \bar{u}}{\partial \bar{t}} + \bar{u} \frac{\partial \bar{u}}{\partial \bar{x}} + \bar{v} \frac{\partial \bar{u}}{\partial \bar{y}} = - \frac{p_\infty}{\rho u_\infty^2} \frac{\partial \bar{p}}{\partial \bar{x}} + \frac{\eta}{\rho u_\infty l} \left(\frac{\partial^2 \bar{u}}{\partial \bar{x}^2} + \frac{\partial^2 \bar{u}}{\partial \bar{y}^2} \right)$$

$$\frac{l}{\tau u_\infty} \frac{\partial \bar{v}}{\partial \bar{t}} + \bar{u} \frac{\partial \bar{v}}{\partial \bar{x}} + \bar{v} \frac{\partial \bar{v}}{\partial \bar{y}} = - \frac{p_\infty}{\rho u_\infty^2} \frac{\partial \bar{p}}{\partial \bar{y}} - \frac{g l}{u_\infty^2} + \frac{\eta}{\rho u_\infty l} \left(\frac{\partial^2 \bar{v}}{\partial \bar{x}^2} + \frac{\partial^2 \bar{v}}{\partial \bar{y}^2} \right)$$

==== Ausdrücke sind die Kennzahlen

$$Sr = \frac{l}{\tau u_{\infty}}$$

: Strouhal Zahl
relevant für instationäre Vorgänge; Verhältnis der Zeiten l/u_{∞}
und τ
 $Sr \rightarrow$: Strömung quasistationär

$$Eu = \frac{p_{\infty}}{\rho u_{\infty}^2}$$

: Euler Zahl
Verhältnis von Druck- und Trägheitskraft

$$Fr = \frac{u_{\infty}}{\sqrt{gl}}$$

: Froude Zahl
Verhältnis von Trägheits- und Schwerekräften;
relevant bei Flüssigkeitsströmungen mit freier Oberfläche

$$Re = \frac{\rho u_{\infty} l}{\eta}$$

: Reynolds Zahl
Verhältnis von Trägheits- und Reibungskraft

weitere physikalisch bedeutende Kennzahlen :

$$Ma = \frac{u}{c}$$

: Mach Zahl

Verhältnis von Strögs. und Schallgeschwindigkeit

Ma < 0.3 → inkompressible Strömung

$$Pr = \frac{\nu}{a} = \frac{\eta c_p}{\lambda}$$

: Prandtl Zahl

Verhältnis von durch Reibung erzeugter und abgeleiteter

Wärme; a : Temp. leitfähigkeit; Stoffgröße, Pr = 0.72 (Luft)

$$Nu = \frac{\alpha l}{\lambda}$$

: Nusselt Zahl

Verhältnis der übergehenden zur geleiteten Wärme; α :

Wärmeübertragungszahl

$$St = \frac{Nu}{RePr} = \frac{\alpha}{\rho c_p u_\infty}$$

: Stanton Zahl

Verhältnis der übergehenden zur konvekt. transportierten Wärme

$$Pe = \frac{\rho u_{\infty} l c_p}{\lambda} = \frac{u_{\infty} l}{\alpha}$$

: Péclet Zahl
Verhältnis der konvekt. zur geleiteten Wärme

$$Kn = \frac{\bar{l}}{l}$$

: Knudsen Zahl
Verhältnis der mittleren freien Weglänge zu einer charakterischen geometrischen Länge;

$Kn \ll 1$ Kontinuumsmechanik

$Kn \gg 1$ kinetische Gastheorie

zur Methode der Differentialgleichungen :

Kennzahlen gleich \Rightarrow Lösungen des DGLs stimmen überein

\Rightarrow sogenannte **dynamische Ähnlichkeit**

\Rightarrow einfaches Experiment für komplexe Strömungen

Dimensionsanalyse

physik. Intuition ist Voraussetzung, sonst Fehler

Methode der DGL

Ausgangsgleichungen liefern entscheidende Kennzahlen
abhängig von den Bezugsgrößen

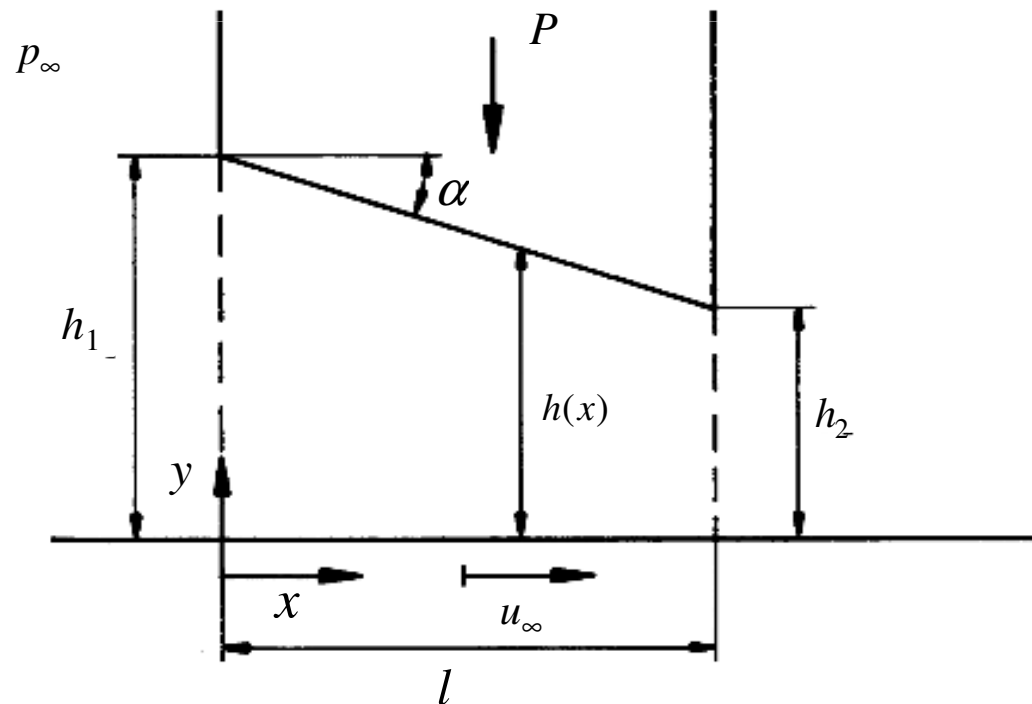
Schleichende Strömungen



$$\frac{\text{Trägheitskräfte}}{\text{Reibungskräfte}} \ll 1$$

$\frac{\text{Trägheit}}{\text{Reibung}} \sim \text{Geschwindigkeit} \Rightarrow \text{Bezeichnung : schleichend}$

Vereinfachung der Erhaltungsgleichungen anhand dieses Beispiels der **Gleitlagerströmung**



stationär, inkomp. , $T = konst.$

$$\frac{\partial u}{\partial x} + \frac{\partial v}{\partial y} = 0$$

$$\rho \left(u \frac{\partial u}{\partial x} + v \frac{\partial u}{\partial y} \right) = - \frac{\partial p}{\partial x} + \eta \left(\frac{\partial^2 u}{\partial x^2} + \frac{\partial^2 u}{\partial y^2} \right)$$
$$\rho \left(u \frac{\partial v}{\partial x} + v \frac{\partial v}{\partial y} \right) = - \frac{\partial p}{\partial y} + \eta \left(\frac{\partial^2 v}{\partial x^2} + \frac{\partial^2 v}{\partial y^2} \right)$$

Wahl der Bezugsgrößen derart, dass Terme $O(1)$ sind

$$\bar{u} = \frac{u}{u_\infty}, \quad \bar{v} = \frac{v}{u_\infty} \frac{l}{h}, \quad \bar{p} = \frac{p}{\rho u_\infty^2}, \quad \bar{x} = \frac{x}{l}, \quad \bar{y} = \frac{y}{h}$$

denn mit $\frac{dy}{dx} = \frac{v}{u}$ und $\alpha = O\left(\frac{h}{l}\right)$

$$\Rightarrow \frac{v}{u_\infty} = O\left(\frac{h}{l}\right)$$

dimensionslose Erhaltungsgleichungen :

$$\frac{\partial \bar{u}}{\partial \bar{x}} + \frac{\partial \bar{v}}{\partial \bar{y}} = 0$$

$$\frac{\rho u_{\infty}^2}{l} \left(\bar{u} \frac{\partial \bar{u}}{\partial \bar{x}} + \bar{v} \frac{\partial \bar{u}}{\partial \bar{y}} \right) = - \frac{\rho u_{\infty}^2}{l} \frac{\partial \bar{p}}{\partial \bar{x}} + \frac{\eta u_{\infty}}{h^2} \left[\frac{\partial^2 \bar{u}}{\partial \bar{x}^2} \frac{h^2}{l^2} + \frac{\partial^2 \bar{u}}{\partial \bar{y}^2} \right]$$

$$\frac{\rho u_{\infty}^2 h}{l^2} \left(\bar{u} \frac{\partial \bar{v}}{\partial \bar{x}} + \bar{v} \frac{\partial \bar{v}}{\partial \bar{y}} \right) = - \frac{\rho u_{\infty}^2}{h} \frac{\partial \bar{p}}{\partial \bar{y}} + \frac{\eta u_{\infty}}{h l} \left[\frac{\partial^2 \bar{v}}{\partial \bar{x}^2} \frac{h^2}{l^2} + \frac{\partial^2 \bar{v}}{\partial \bar{y}^2} \right]$$

Division von $\frac{\rho u_{\infty}^2}{l}$ und $\frac{\rho u_{\infty}^2}{h}$ liefert

$$\frac{\partial \bar{p}}{\partial \bar{x}} = \frac{1}{\text{Re}} \frac{l^2}{h^2} \left[\frac{\partial^2 \bar{u}}{\partial \bar{y}^2} + \frac{h^2}{l^2} \frac{\partial^2 \bar{u}}{\partial \bar{x}^2} - \text{Re} \frac{h^2}{l^2} \left(\bar{u} \frac{\partial \bar{u}}{\partial \bar{x}} + \bar{v} \frac{\partial \bar{u}}{\partial \bar{y}} \right) \right]$$

$$\frac{\partial \bar{p}}{\partial \bar{y}} = \frac{1}{\text{Re}} \left[\frac{\partial^2 \bar{v}}{\partial \bar{y}^2} + \frac{h^2}{l^2} \frac{\partial^2 \bar{v}}{\partial \bar{x}^2} - \text{Re} \frac{h^2}{l^2} \left(\bar{u} \frac{\partial \bar{v}}{\partial \bar{x}} + \bar{v} \frac{\partial \bar{v}}{\partial \bar{y}} \right) \right]$$

Es gilt :

$$\frac{\rho u \frac{\partial u}{\partial x}}{\eta \frac{\partial^2 u}{\partial y^2}} \rightarrow \frac{\rho u_\infty^2 l}{\eta u_\infty / h^2} = \text{Re} \left(\frac{h}{l} \right)^2 \ll 1$$

da $h/l \ll 1$, obwohl $\text{Re} > 1$.

⇒

$$\frac{\partial \bar{p}}{\partial \bar{x}} = \frac{1}{\text{Re}} \frac{l^2}{h^2} \frac{\partial^2 \bar{u}}{\partial \bar{y}^2}$$

$$\frac{\partial \bar{p}}{\partial \bar{y}} = \frac{1}{\text{Re}} \frac{\partial^2 \bar{v}}{\partial \bar{y}^2}$$

Es ist :

$$\frac{\partial \bar{p}}{\partial \bar{y}} \ll \frac{\partial \bar{p}}{\partial \bar{x}} \quad \text{bzw.} \quad \frac{1}{\text{Re}} \frac{l^2}{h^2} \frac{\partial^2 \bar{u}}{\partial \bar{y}^2} \gg \frac{1}{\text{Re}} \frac{\partial^2 \bar{v}}{\partial \bar{y}^2} \quad , \text{so dass}$$

$$\Rightarrow p(x, y) = p(x)$$

$$\frac{dp}{dx} = \eta \frac{\partial^2 u}{\partial y^2}$$

Randbedingungen :

$$\begin{array}{ll} y = 0 : u = u_\infty, v = 0 & y = h(x) : u = v = 0 \\ x = 0 : p = p_\infty & x = l : p = p_\infty \end{array}$$

zweifache Integration :

$$\begin{aligned} \frac{\partial u}{\partial y} &= \frac{1}{\eta} \frac{dp}{dx} y + C_1 \\ u &= \frac{1}{\eta} \frac{dp}{dx} \frac{y^2}{2} + C_1 y + C_2 \end{aligned}$$

RB \Rightarrow

$$C_2 = u_\infty$$

$$C_1 = -\frac{1}{h} \left[u_\infty + \frac{1}{\eta} \frac{dp}{dx} \frac{h^2}{2} \right]$$

\Rightarrow

$$u = u_\infty \left(1 - \frac{y}{h} \right) - \frac{dp}{dx} \frac{h^2}{2\eta} \frac{y}{h} \left(1 - \frac{y}{h} \right)$$

$p(x)$ mittels $\dot{V} = \text{konst.}$

$$\dot{V} = \int_0^{h(x)} u \, dy = \text{konst.}$$

$$\dot{V} = \frac{u_\infty h}{2} - \frac{h^3}{12\eta} \frac{dp}{dx}$$

\Rightarrow

$$\frac{dp}{dx} = 12\eta \left(\frac{u_\infty}{2h^2} - \frac{\dot{V}}{h^3} \right)$$

$$p(x) = p_\infty + 6\eta u_\infty \int_0^x \frac{dx}{h^2(x)} - 12\eta \dot{V} \int_0^x \frac{dx}{h^3(x)}$$

$x = l \quad \Rightarrow$

$$\dot{V} = \frac{1}{2} u_\infty \frac{\int_0^l \frac{dx}{h^2(x)}}{\int_0^l \frac{dx}{h^3(x)}} = \frac{1}{2} u_\infty H$$

H : charakteristische Höhe

$$\rightarrow \frac{dp}{dx} = \frac{6\eta u_\infty}{h^2} \left(1 - \frac{H}{h} \right)$$

D. h. : $p(x)$ hat bei $h = H$ einen Extremwert !

Beispiel : $h(x)$ linear

$$h(x) = \underbrace{h_1}_{\alpha} - \underbrace{\frac{h_1 - h_2}{l}}_{\beta} x = \alpha + \beta x$$

mit

$$\int \frac{dx}{(ax+b)^n} = \frac{-1}{a(n-1)(ax+b)^{n-1}} + C$$

folgt

$$\int_0^l \frac{dx}{(\alpha x + \beta)^2} = \left[\frac{-1}{\alpha(\alpha x + \beta)} \right]_0^l = \frac{1}{\alpha} \left[\frac{1}{h_1} - \frac{1}{h_2} \right]$$

$$\int_0^l \frac{dx}{(\alpha x + \beta)^3} = \left[\frac{-1}{\alpha 2(\alpha x + \beta)^2} \right]_0^l = \frac{1}{2\alpha} \left[\frac{1}{h_1^2} - \frac{1}{h_2^2} \right]$$

$$\Rightarrow H = \frac{2h_1 h_2}{h_1 + h_2}$$

$$\Rightarrow \dot{V} = u_\infty \frac{h_1 h_2}{h_1 + h_2}$$

bzw.

$$p(x) = p_\infty + \frac{6\eta u_\infty l}{h_1^2 - h_2^2} \cdot \frac{(h_1 - h)(h - h_2)}{h^2}$$

Gesamtdruckkraft P :

$$P = \int_0^l (p - p_\infty) dx$$

$$\begin{aligned}
P &= \int_0^l (p - p_\infty) dx = \int_0^l \frac{6\eta u_\infty l}{h_1^2 - h_2^2} \left[\frac{h_1 + h_2}{h} - \frac{h_1 h_2}{h^2} - 1 \right] dx \\
&= \frac{6\eta u_\infty l}{h_1^2 - h_2^2} \left[-l \frac{h_1 + h_2}{h_1 - h_2} \ln(h(x)) - l \frac{h_1 h_2}{h_1 - h_2} \frac{1}{h(x)} - x \right]_0^l \\
P &= \frac{6\eta u_\infty l^2}{(h_1 - h_2)^2} \left(\ln\left(\frac{h_1}{h_2}\right) - 2 \frac{h_1 - h_2}{h_1 + h_2} \right)
\end{aligned}$$

Gesamtschubspannungskraft

$$F = - \int \eta \left. \frac{du}{dy} \right|_{y=0} dx$$

$$\left. \frac{du}{dy} \right|_{y=0} = -\frac{u_\infty}{h} - \frac{h}{2\eta} \frac{dp}{dx} = -\frac{4u_\infty}{h} + \frac{6u_\infty h_1 h_2}{h_1 + h_2} \frac{1}{h^2}$$

$$F = \frac{\eta u_\infty l}{h_1 - h_2} \left[4 \ln\left(\frac{h_1}{h_2}\right) - \frac{6(h_1 - h_2)}{h_1 + h_2} \right]$$

$$\frac{F}{P} \sim \frac{h_2}{l} \Rightarrow \frac{F}{P} \ll 1 \text{ möglich}$$

Mit

$$\frac{dp}{dx} = \frac{6\eta u_\infty}{h^2} \left(1 - \frac{2h_1 h_2}{h_1 + h_2} \frac{1}{h} \right)$$

folgt

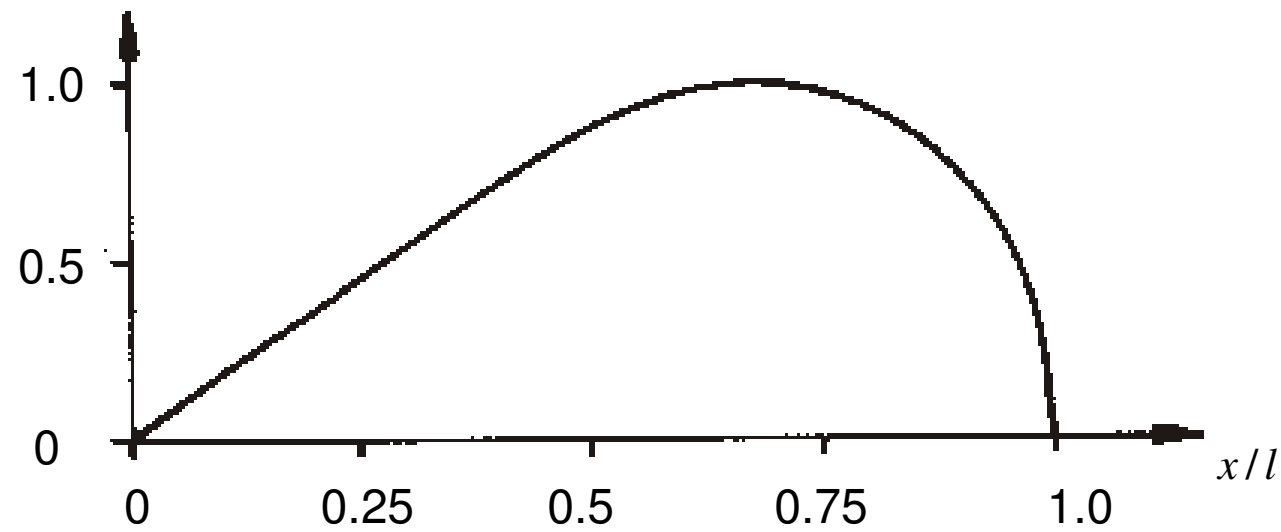
$$u(x, y) = u_\infty \left(1 - \frac{y}{h} \right) \left[1 - 3 \frac{y}{h} \left(1 - \frac{2h_1 h_2}{h_1 + h_2} \frac{1}{h} \right) \right]$$

bzw.

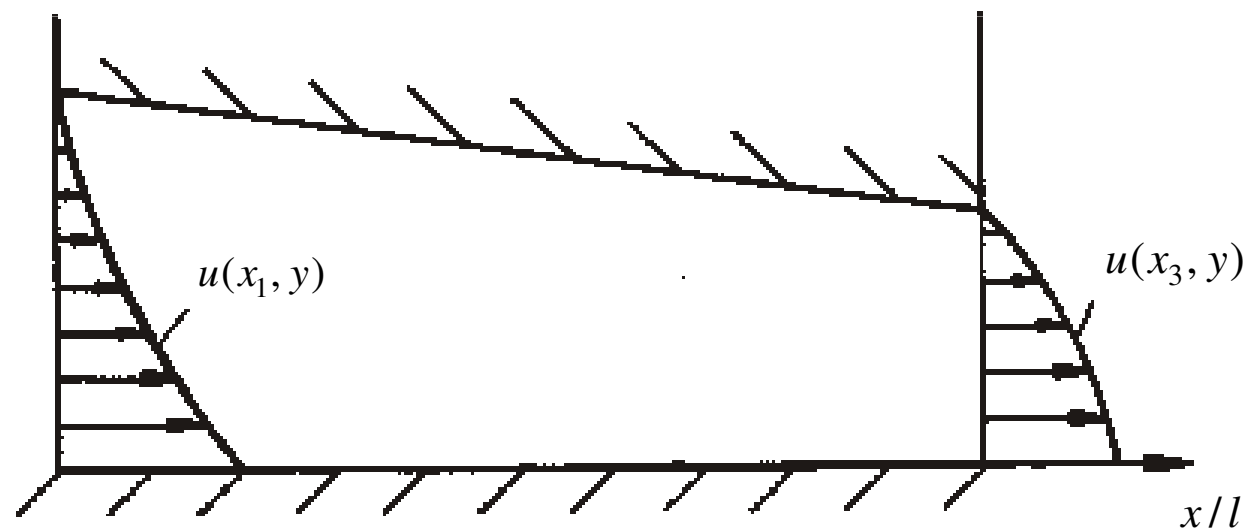
$$v = - \int_0^y \frac{\partial u}{\partial x} dy$$

Ist $\frac{h_2}{h_1}$ bekannt, ergibt sich folgende $p(x)$ - und $u(x, y)$ - Verteilung

$$\frac{p - p_\infty}{p_{\max} - p_\infty}$$



Druckverteilung



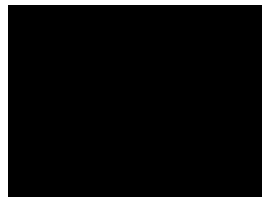
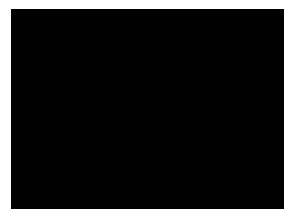
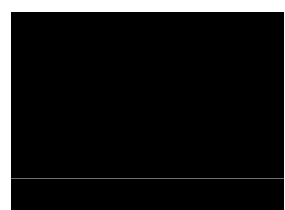
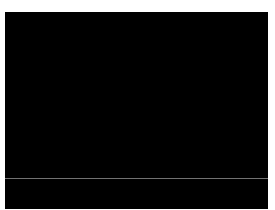
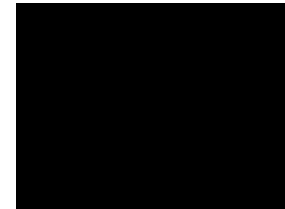
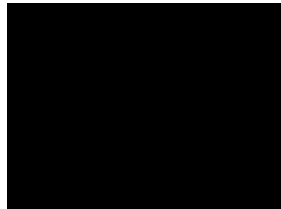
Geschwindigkeitsverteilung

Bemerkungen zu **schleichenden Strömungen:**

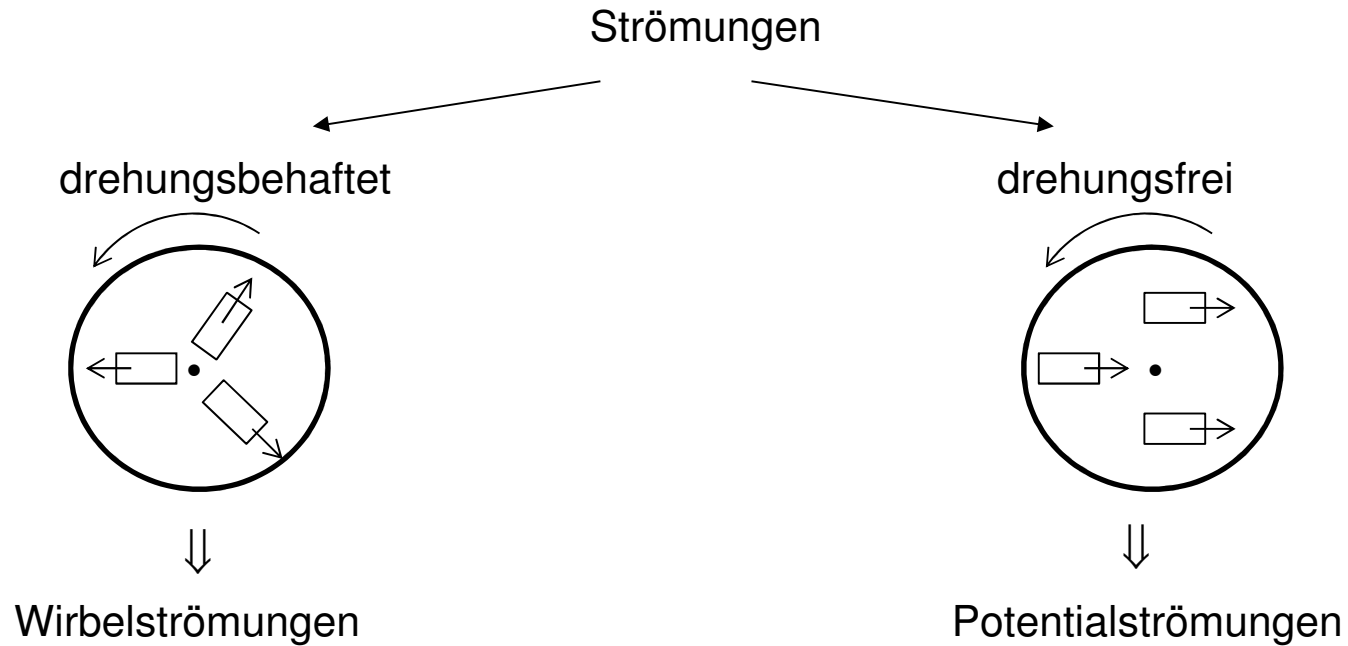
$$\frac{\text{Trägheitskräfte}}{\text{Reibungskräfte}} \ll 1$$

- \vec{v} klein
oder
 - η sehr groß
oder
 - $\frac{h}{l}$ sehr klein
oder
 - ρ sehr klein
-
- Bewegung einer Kugel 1851 (Stokes) , 1910 (Oseen)
 - Strömung zwischen parallelen Platten mit $h/l \ll 1$ 1898 (Hele, Shaw)
 - Praxis : Luft oder Wasser durch Sand \rightarrow Grundwasserströmung

Wirbelströmungen



Wirbelströmungen



Begriffe der Wirbelströmungen

Dreh- oder Wirbelvektor $\vec{\omega}$

$$\vec{\omega} = \omega_x \vec{i} + \omega_y \vec{j} + \omega_z \vec{k}$$

$\vec{\omega}$ zeigt in Richtung der Drehachse des Fluidteilchens

Wirbellinien : Kurven verlaufen tangential zum Wirbelvektor

Richtung der Wirbellinie aus $\vec{\omega} \parallel d\vec{s}$

$$\Rightarrow (\omega_x \vec{i} + \omega_y \vec{j} + \omega_z \vec{k}) \times (dx \vec{i} + dy \vec{j} + dz \vec{k}) = \vec{0}$$

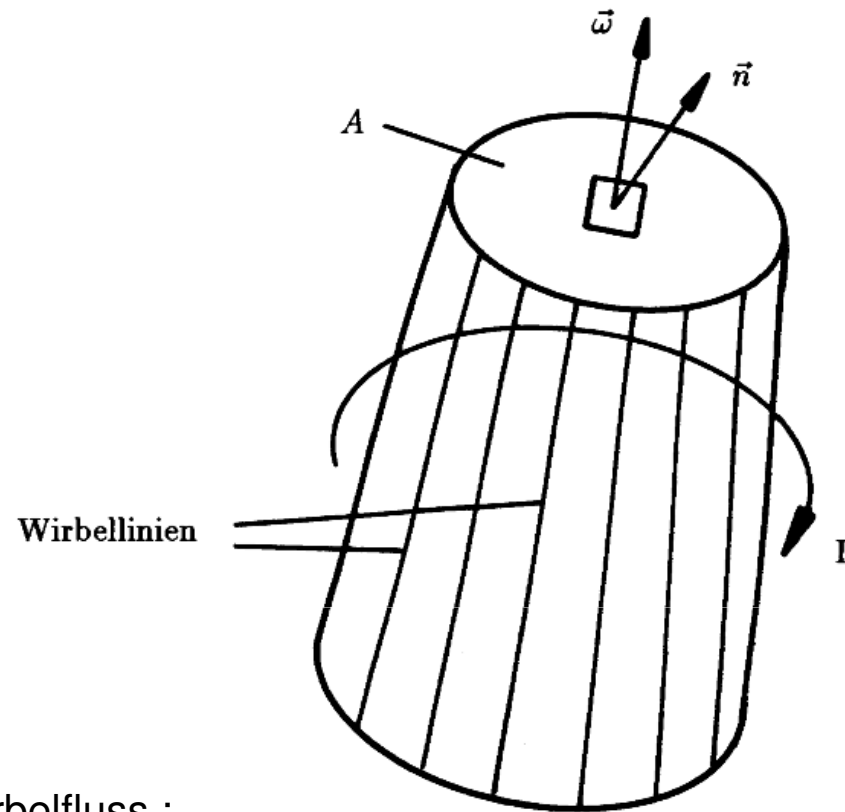
bzw.

$$\underbrace{\frac{dx}{\omega_x} = \frac{dy}{\omega_y} = \frac{dz}{\omega_z}}_{2D}$$

3D

Wirbelfaden : Bündelung aller durch A gehenden Wirbellinien

Wirbelröhre : Wirbellinien der Mantelfläche des Wirbelfadens



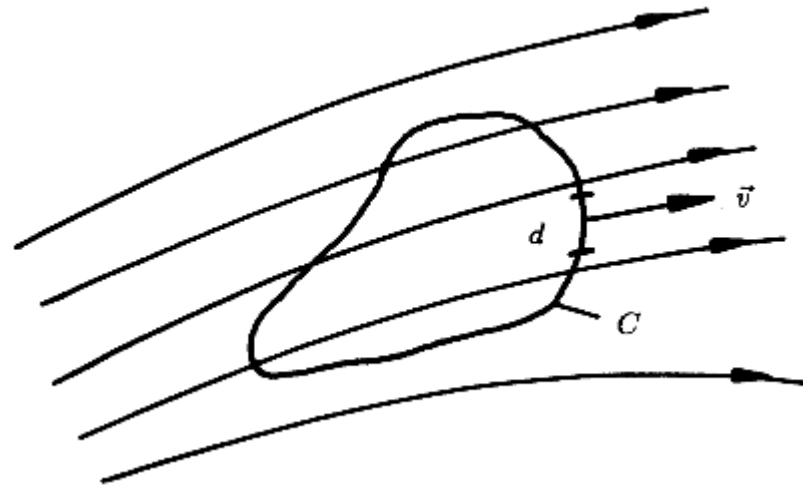
Wirbelstrom oder Wirbelfluss :

$$\Omega = \int_A \vec{\omega} \cdot \vec{n} dA$$

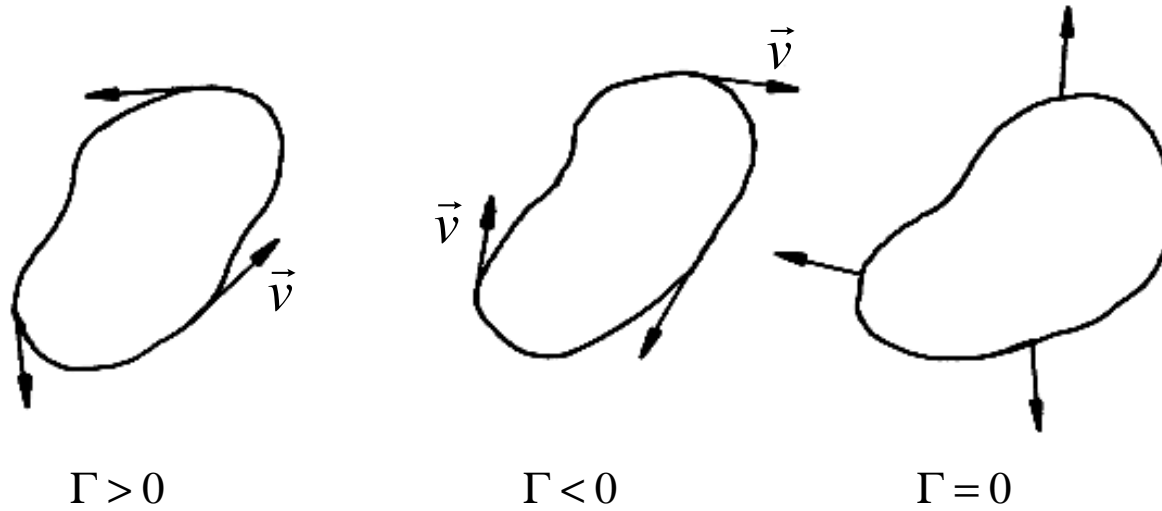
Zirkulation :

$$\Gamma = \oint_C \vec{v} \cdot d\vec{r} = \oint_C v_t \|d\vec{r}\|$$

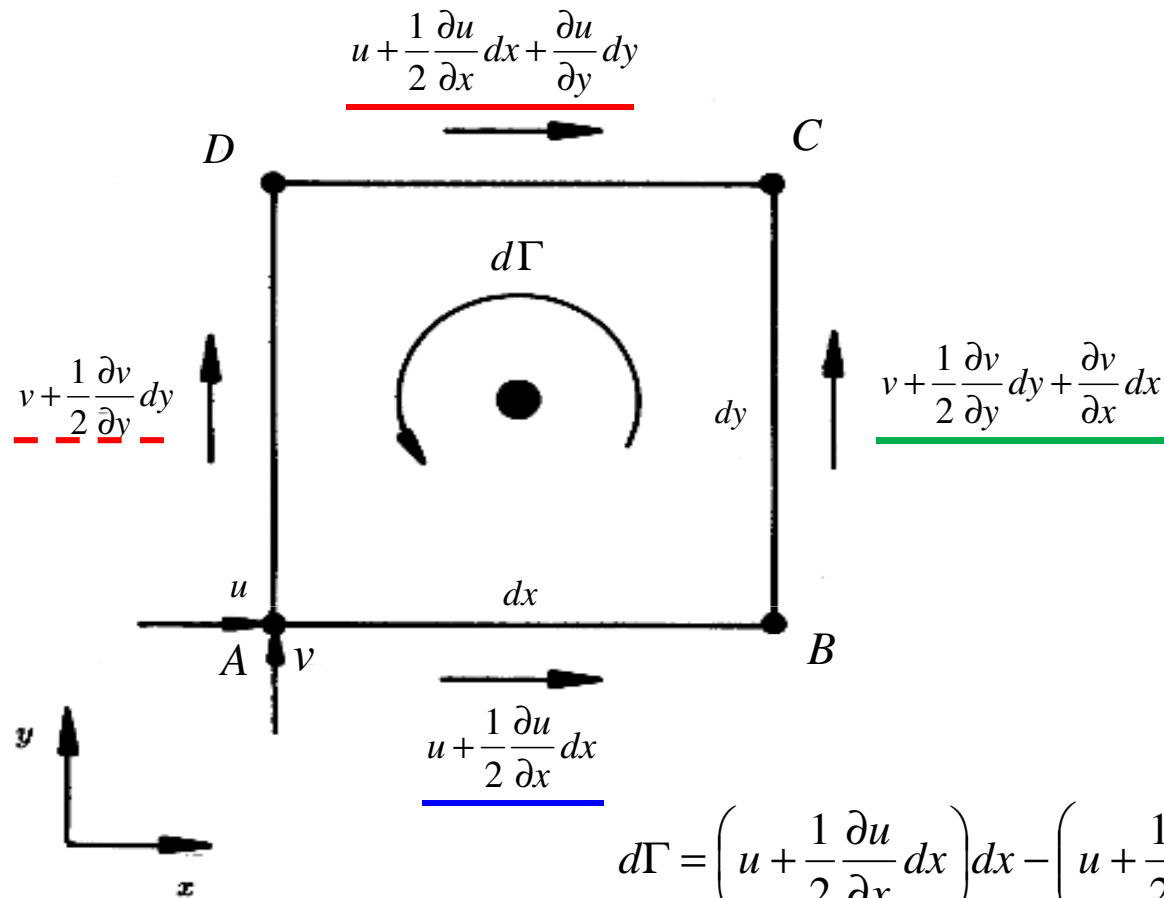
Γ : Summe der Tangentialkomponenten v_t auf C



Annahme : C im Gegenuhrzeigersinn durchlaufen



Zusammenhang zwischen $\vec{\omega}$ und Γ



$$d\Gamma = \left(u + \frac{1}{2} \frac{\partial u}{\partial x} dx \right) dx - \left(u + \frac{1}{2} \frac{\partial u}{\partial x} dx + \frac{\partial u}{\partial y} dy \right) dx$$

$$+ \left(v + \frac{1}{2} \frac{\partial v}{\partial y} + \frac{\partial v}{\partial x} dx \right) dy - \left(v + \frac{1}{2} \frac{\partial v}{\partial y} dy \right) dy$$

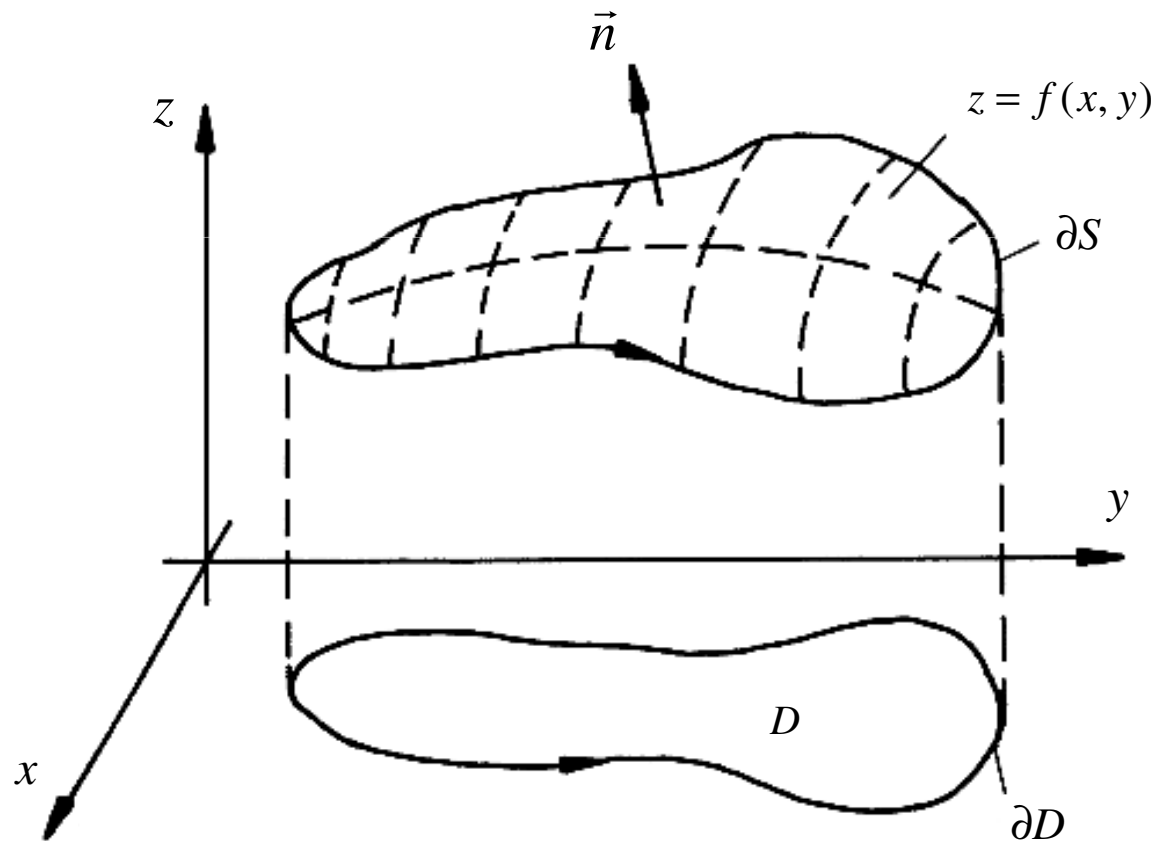
$$d\Gamma = \left(\frac{\partial v}{\partial x} - \frac{\partial u}{\partial y} \right) dx dy$$

$$d\Gamma = 2\omega_z dA$$

$$\Rightarrow \Gamma = \oint_C v_t \|d\vec{r}\| = 2 \int_A \omega_z dA$$

Zusammenhang Oberflächenintegral und Linienintegral \rightarrow Stokessches Theorem

$$\int_{\partial S} \vec{\Phi}(\vec{r}) \cdot d\vec{r} = \iint_S (\vec{\nabla} \times \vec{\Phi}) \cdot \vec{n} dA = \iint_S \text{rot} \vec{\Phi} \cdot \vec{n} dA$$



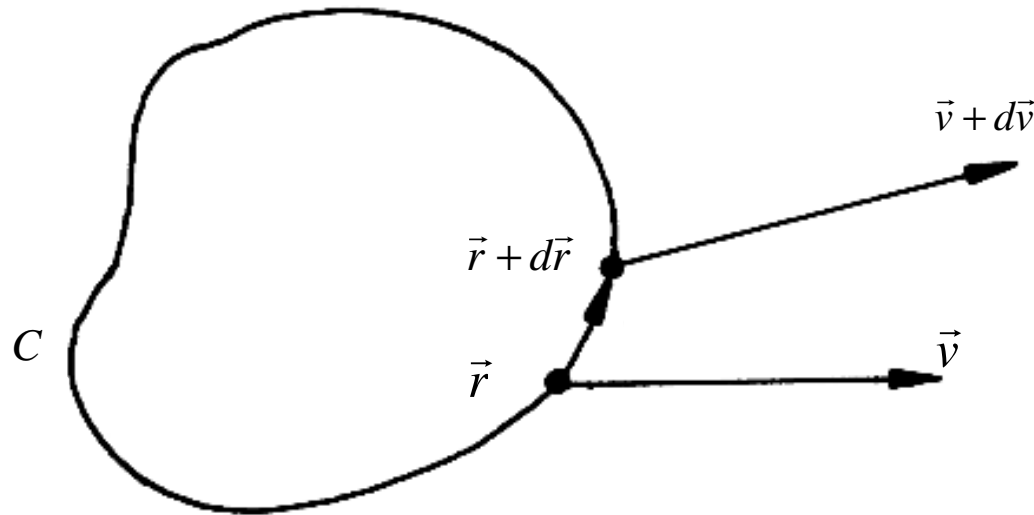
Es sei $\vec{\Phi} = \vec{v}$ und $\vec{\nabla} \times \vec{\Phi} = \vec{\nabla} \times \vec{v} = \text{rot} \vec{v} = 2\vec{\omega}$

bzw.

$$\Gamma = \oint_C \vec{v} \cdot d\vec{r} = \int_A (\vec{\nabla} \times \vec{v}) \cdot \vec{n} dA = \int_A \text{rot} \vec{v} \cdot \vec{n} dA$$

D. h. : Die Zirkulation entlang der Randkurve einer beliebigen räumlichen Fläche ist gleich dem doppelten Wirbelfluss durch die zugehörige Projektionsfläche

$\frac{d\Gamma}{dt} : ?$ in reibungsfreier, barotroper Strömung ($\rho = f(p)$)



$$\frac{d\Gamma}{dt} = \frac{d}{dt} \oint_C \vec{v} \cdot d\vec{r} = \oint_C \frac{d\vec{v}}{dt} \cdot d\vec{r} + \oint_C \vec{v} \cdot \frac{d}{dt} d\vec{r}$$

reibungsfreie Strömung ($\eta / \rho = 0$)

$$\frac{d\vec{v}}{dt} = \vec{g} - \frac{1}{\rho} \vec{\nabla} p \quad \text{Euler Gleichungen}$$

$$\rightarrow \oint_C \frac{d\vec{v}}{dt} \cdot d\vec{r} = \oint_C \vec{g} \cdot d\vec{r} - \oint_C \frac{1}{\rho} \vec{\nabla} p \cdot d\vec{r} = \oint_C \vec{g} \cdot d\vec{r} - \oint_C \frac{dp}{\rho}$$

$$\frac{d\Gamma}{dt} = \underbrace{\oint_C \vec{g} \cdot d\vec{r}}_{\text{I}} - \underbrace{\oint_C \frac{dp}{\rho}}_{\text{II}} + \underbrace{\oint_C \vec{v} \cdot \frac{d}{dt} (d\vec{r})}_{\text{III}}$$

I : Satz : Jedes **konservative** Vektorfeld ist als Gradient zu schreiben

$$\vec{g} = \vec{\nabla}f$$

$$\oint_C \vec{g} \cdot d\vec{r} = \oint_C \vec{\nabla}f \cdot d\vec{r} = \oint_C df = 0$$

II : Annahme : Strömung ist barotrop

$$\rightarrow \rho = \rho(p) \quad \text{Definition :} \quad \frac{1}{\rho} = \frac{dF}{dp} = f(p)$$

$$\oint_C \frac{dp}{\rho} = \oint_C \frac{dF}{dp} dp = 0$$

III :

$$d\vec{v} = \frac{d}{dt}(d\vec{r})$$

$$\oint_C \vec{v} \cdot \frac{d}{dt}(d\vec{r}) = \oint_C \vec{v} \cdot d\vec{v} = \oint_C d\left(\frac{\vec{v}^2}{2}\right) = 0$$

$$\frac{d\Gamma}{dt} = 0 \quad \text{reibungsfreie, barotrope Strömung mit konserv. Volumenkräften}$$

Satz von Thomson

$$\Gamma(t = 0) = 0 \quad \rightarrow \quad \Gamma(t + \Delta t) = 0$$

Strömung drehungsfrei (Stokes)

Achtung : Gültig für die Kurve C

Wirbeltransportgleichung

Für $\rho = konst.$, $\eta = konst.$ wird eine Gleichung für $\vec{\omega}$ abgeleitet.

Wirbelerhaltungssatz

Identität : $div(rot \vec{\Phi}) = 0$

Mit $\vec{\omega} = \frac{1}{2} rot \vec{v}$

$$div \vec{\omega} = \vec{\nabla} \cdot \vec{\omega} = 0$$

Zusammenhang zwischen \vec{v} und $\vec{\omega}$ führt auf $\vec{\omega}$ - Gleichung aus
rot (Impulserhaltung).

Da $\text{rot}(\text{grad } h) = 0$ gilt

$$\text{rot}(\text{grad } f) = 0 \quad \text{Grav.terme}$$

$$\text{rot}(\text{grad } p) = 0 \quad \text{Druckterme}$$

$$\Rightarrow \quad \vec{\nabla}' \left[\frac{\partial \vec{v}}{\partial t} + (\vec{v} \cdot \vec{\nabla}) \vec{v} = \vec{\nabla} f - \frac{1}{\rho} \vec{\nabla} p + \nu \nabla^2 \vec{v} \right]$$

$$\vec{\nabla} \times \vec{v} = \vec{\omega}$$

Identität :

$$(\vec{v} \cdot \vec{\nabla}) \vec{v} = (\vec{\nabla} \times \vec{v}) \times \vec{v} + \frac{1}{2} \vec{\nabla} (\vec{v} \cdot \vec{v}) = \vec{\omega} \times \vec{v} + \frac{1}{2} \vec{\nabla} q^2$$

$$q^2 = u^2 + v^2 + w^2$$

$$\vec{\nabla} \times \left[\frac{1}{2} \vec{\nabla} (u^2 + v^2 + w^2) \right] = 0$$

$$\Rightarrow \frac{\partial \vec{\omega}}{\partial t} + \vec{\nabla} \times (\vec{\omega} \times \vec{v}) = \nu \nabla^2 \vec{\omega}$$

$$\vec{\nabla} \times (\vec{\omega} \times \vec{v}) = (\vec{v} \cdot \vec{\nabla}) \vec{\omega} - (\vec{\omega} \cdot \vec{\nabla}) \vec{v} + \vec{\omega} \vec{\nabla} \cdot \vec{v} - \vec{v} \vec{\nabla} \cdot \vec{\omega} = (\vec{v} \cdot \vec{\nabla}) \vec{\omega} - (\vec{\omega} \cdot \vec{\nabla}) \vec{v}$$

$$\frac{\partial \vec{\omega}}{\partial t} + (\vec{v} \cdot \vec{\nabla}) \vec{\omega} = \frac{d \vec{\omega}}{dt}$$

$$\frac{d \vec{\omega}}{dt} = \underbrace{(\vec{\omega} \cdot \vec{\nabla}) \vec{v}}_{(a)} + \underbrace{\nu \nabla^2 \vec{\omega}}_{(b)}$$

Wirbeltransportgleichung

(a) : Änderung der Wirbelstärke durch Streckung und Neigung der Wirbellinien

(b) : Änderung von $\vec{\omega}$ durch Diffusion

ebene, drehsymmetrische Strömung

$$\vec{\omega} \perp \vec{v} \Rightarrow (\vec{\omega} \cdot \vec{\nabla})\vec{v} = 0$$

$$\frac{d\omega}{dt} = \nu \nabla^2 \omega$$

Lösung zum Beispiel : $\omega = konst.$

reibungsfreie Strömung

$$\frac{d\omega}{dt} = \frac{\partial \omega}{\partial t} + u \frac{\partial \omega}{\partial x} + v \frac{\partial \omega}{\partial y} = 0$$

In reibungsloser Strömung (mit $\rho = konst.$, $\eta = konst.$) wird Drehung weder erzeugt noch vernichtet.

stationäre Strömung

$$u \frac{\partial \omega}{\partial x} + v \frac{\partial \omega}{\partial y} = 0$$

Die **Wirbeltransportgleichung** ist eine modifizierte Form der **Navier-Stokes Gleichung** :

$\Rightarrow \vec{\omega} = \vec{0}$ ist auch Lösung der Impulserhaltung.

$\vec{\omega} = \vec{0} \Rightarrow$ **Potentialströmungen**

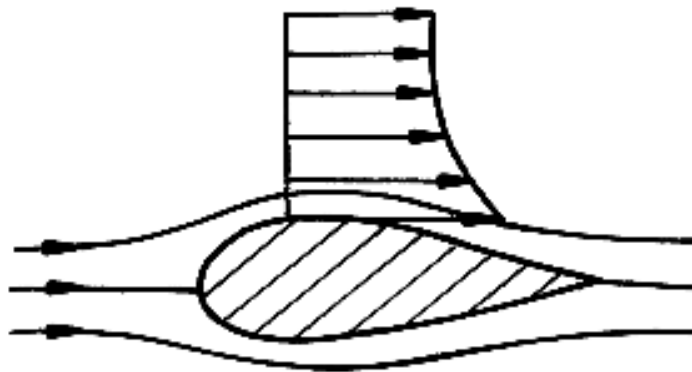
Potentialströmungen



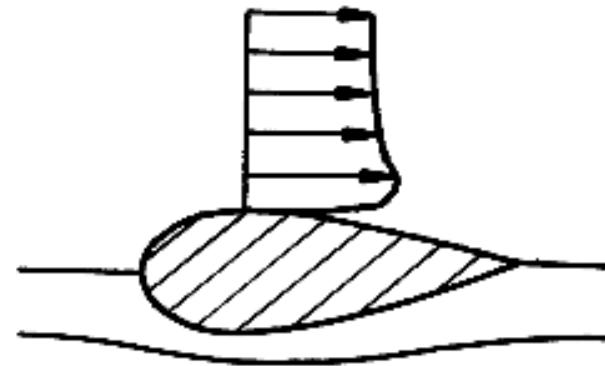
Potentialströmungen

$\rho = \text{konst.}$, reibungsfrei, 2D

$$\rightarrow \frac{d\omega}{dt} = 0$$



idealisierte Strömung $\nu = 0$



realistische Strömung

Reibungseffekte nur in dünnen Wandschichten interessant.

⇒ Aufteilung :

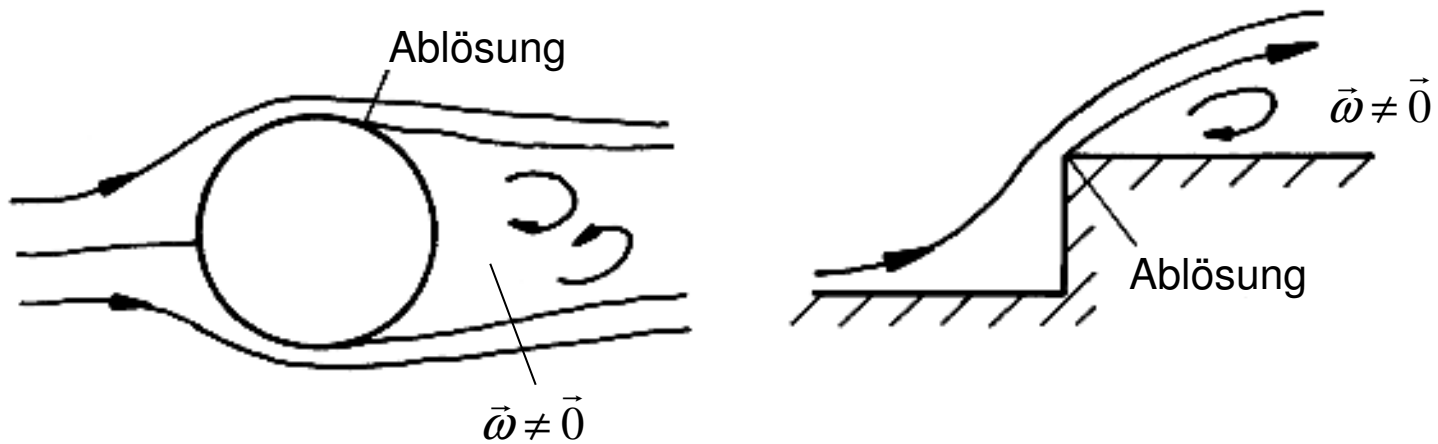
- Außenbereich

Strömung wird reibungsfrei und drehungsfrei angenommen.

⇒ Analyse mittels d. Th. drehungsfr. Strömung

- Innenbereich

Reibung führt u. a. zur Diffusion der Wirbelstärke



Potentialfunktion, Stromfunktion, Laplace Gleichung

$\vec{\omega} = \text{rot } \vec{v} = \vec{0}$ Lösung der Impulsgleichung

Identität :

$$\text{rot}(\text{grad } f) = \vec{0}$$

$$\vec{v} = \text{grad } \Phi$$

$$\vec{\omega} = \text{rot}(\text{grad } \Phi) = 0$$

$$\text{div } \vec{v} = 0 \xrightarrow{\text{Bestgsglg. von } \Phi} \text{div}(\text{grad } \Phi) = 0$$

$$\nabla^2 \phi = \frac{\partial^2 \phi}{\partial x^2} + \frac{\partial^2 \phi}{\partial y^2} = 0$$

Laplace Gleichung der Potentialfunktion

da $u = \frac{\partial \phi}{\partial x}$ $v = \frac{\partial \phi}{\partial y}$

Definition von ψ :

$$u = \frac{\partial \psi}{\partial y} \quad v = -\frac{\partial \psi}{\partial x}$$

- Kontinuitätsgleichung erfüllt

$$\frac{\partial u}{\partial x} + \frac{\partial v}{\partial y} = \frac{\partial^2 \psi}{\partial x \partial y} - \frac{\partial^2 \psi}{\partial x \partial y} = 0$$

- Bestimmung von ψ durch $\vec{\omega} = 0$

$$\frac{\partial v}{\partial x} - \frac{\partial u}{\partial y} = 0 \quad (\text{eben})$$

$$\nabla^2 \psi = \frac{\partial^2 \psi}{\partial x^2} + \frac{\partial^2 \psi}{\partial y^2} = 0$$

Laplace Gleichung der Stromfunktion

Vergleich von ϕ und ψ :

$$\frac{\partial \phi}{\partial x} = \frac{\partial \psi}{\partial y} \quad \frac{\partial \phi}{\partial y} = -\frac{\partial \psi}{\partial x}$$

Cauchy- Riemann DGL

$\phi(x, y) = konst.$ \rightarrow Potentiallinien

$\psi(x, y) = konst.$ \rightarrow Stromlinien

$$d\phi = \frac{\partial \phi}{\partial x} dx + \frac{\partial \phi}{\partial y} dy = u dx + v dy = 0 \quad (1)$$

$$d\psi = \frac{\partial \psi}{\partial x} dx + \frac{\partial \psi}{\partial y} dy = -v dx + u dy = 0 \quad (2)$$

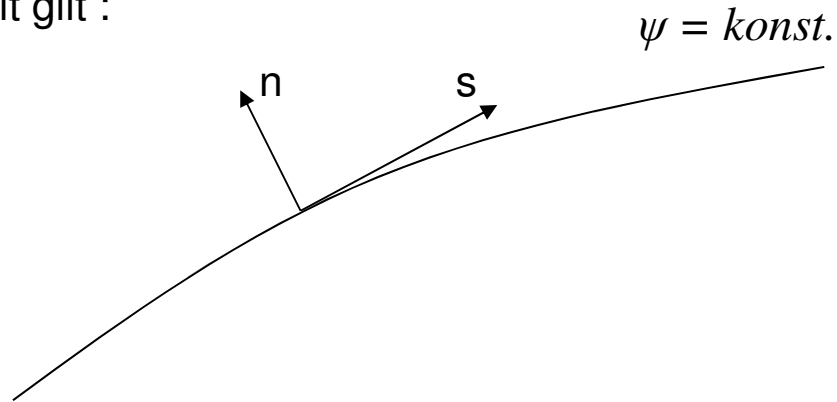
$$(1) \quad \left. \frac{dy}{dx} \right|_{\phi} = -\frac{u}{v} \quad (2) \quad \left. \frac{dy}{dx} \right|_{\psi} = \frac{v}{u}$$

$$\left. \frac{dy}{dx} \right|_{\psi} = -\left[\left. \frac{dy}{dx} \right|_{\phi} \right]^{-1} \quad \Rightarrow \quad \psi \perp \phi$$

Cauchy-Riemann : $\vec{\nabla} \phi \cdot \vec{\nabla} \psi = \frac{\partial \phi}{\partial x} \frac{\partial \psi}{\partial x} + \frac{\partial \phi}{\partial y} \frac{\partial \psi}{\partial y} = 0$

Stromlinien können sich nicht schneiden \rightarrow keine Komp. normal zu $\psi = konst.$

Somit gilt :



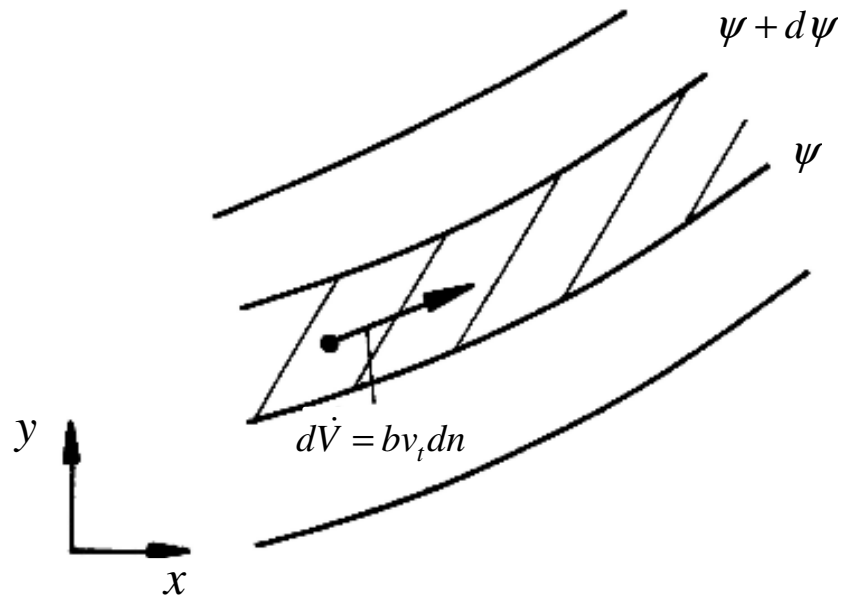
$$v_n = \frac{\partial \phi}{\partial n} = -\frac{\partial \psi}{\partial s} = 0$$

$$v_t = \frac{\partial \phi}{\partial s} = \frac{\partial \psi}{\partial n} \neq 0$$

kinematische Randbedingung

→ Fluidelemente **gleiten** auf der Kontur

Berechnung des Volumenstroms über ψ



$$d\psi = \frac{\partial \psi}{\partial n} dn = v_t dn$$

$$d\dot{V} = bd\psi$$

Berechnung der Druckverteilung

ϕ oder ψ bekannt $\rightarrow u, v$

Impulserhaltung für reibungsfreie Strömungen (Euler Gleichung)

$$\frac{\partial \vec{v}}{\partial t} + \underbrace{(\vec{v} \cdot \vec{\nabla}) \vec{v}}_{\text{blue}} = \underbrace{\vec{b}}_{\text{red}} - \frac{1}{\rho} \vec{\nabla} p$$

Identität : (unter Berücksichtigung der Drehungsfreiheit)

$$\underbrace{(\vec{v} \cdot \vec{\nabla}) \vec{v}}_{\text{blue}} = \vec{\nabla} \frac{\vec{v}^2}{2} - \vec{v} \times (\vec{\nabla} \times \vec{v}) = \vec{\nabla} \frac{\vec{v}^2}{2}$$

Potential :

$$\underbrace{\vec{b}}_{\text{red}} = -\vec{\nabla}(gz)$$

stationär :

$$\frac{\partial}{\partial t} \rightarrow 0$$

einsetzen und integrieren :

$$p + \frac{\rho}{2} \vec{v}^2 + \rho gz = konst. \quad (\text{Bernoulli})$$

⇒ Gleichungen sind linear → Superposition möglich

Elementarströmungen mit ϕ_1, \dots, ϕ_n werden zu neuen Strömungen zusammengesetzt.

$$\phi = \sum_{i=1}^n a_i \phi_i$$

$\phi_1, \phi_2, \dots, \phi_n$ bekannt, a_i angepasst an Problem → ϕ

Komplexe Potentialfunktion

kurz : Theorie der komplexen Funktionen

wichtig für die Analyse der Laplaceschen Differentialgleichung

Definition :

komplexe Geschwindigkeit : $w = u + iv$

konjug. komplexe Geschwindigkeit : $\bar{w} = u - iv$

die Funktion $F(z) = \int \bar{w} dz$ ist die **komplexe Potentialfunktion**

$F(z)$ erfüllt die Laplace Gleichung

$$\begin{aligned} F(z) &= \int \bar{w} dz = \int (u dx + v dy) + i \int (u dy - v dx) \\ &= \int \left(\frac{\partial \phi}{\partial x} dx + \frac{\partial \phi}{\partial y} dy \right) + i \int \left(\frac{\partial \psi}{\partial x} dx + \frac{\partial \psi}{\partial y} dy \right) \\ &= \int d\phi + i \int d\psi = \phi(x, y) + i \psi(x, y) \end{aligned}$$

Laplace Gleichung :

$$\begin{aligned} \frac{\partial F}{\partial x} &= \frac{dF}{dz} \frac{\partial z}{\partial x} = \frac{dF}{dz} , & \frac{\partial^2 F}{\partial x^2} &= \frac{d^2 F}{dz^2} \\ \frac{\partial F}{\partial y} &= \frac{dF}{dz} \frac{\partial z}{\partial y} = i \frac{dF}{dz} , & \frac{\partial^2 F}{\partial y^2} &= \frac{d^2 F}{dz^2} i^2 \end{aligned}$$

$$\frac{d^2 F}{dz^2} - \frac{d^2 F}{dz^2} = \frac{\partial^2 F}{\partial x^2} + \frac{\partial^2 F}{\partial y^2} = 0$$

bzw.

$$\frac{\partial^2 \phi}{\partial x^2} + \frac{\partial^2 \phi}{\partial y^2} + i \left(\frac{\partial^2 \psi}{\partial x^2} + \frac{\partial^2 \psi}{\partial y^2} \right) = 0$$

$\Rightarrow F(z)$ beschreibt Potentialströmung

$F(z)$: analytische Funktion

Singularität :

$$F(z) \text{ oder } \frac{dF}{dz} \rightarrow 0 \text{ oder } \rightarrow \infty$$

Cauchy-Riemann nicht erfüllt

$\Rightarrow \phi = konst.$ und $\psi = konst.$ nicht orthogonal !

Bsp. :

$$F(z) = \ln(z) \quad \text{analytisch au\ss er in } z = 0 !$$

$$F(z) = \frac{1}{z} \quad \text{analytisch au\ss er in } z = 0 !$$

Superpositionsprinzip auch für $F(z)$:

$$F(z) \text{ bekannt} \Rightarrow \bar{w} = u - iv = \frac{dF}{dz}$$

\Rightarrow Geschwindigkeitsverteilung \Rightarrow Druckverteilung

Vorgehensweise (hier) : Vorgabe von $F(z)$

Beispiele für die komplexe Potentialfunktion

2D, inkompressibel

Winkel- und Eckenströmung :

$$\begin{aligned} F(z) &= \frac{a}{n} z^n = \frac{a}{n} (x + iy)^n = \frac{a}{n} (re^{i\varphi})^n \\ &= \frac{a}{n} r^n (\cos(n\varphi) + i \sin(n\varphi)) \end{aligned}$$

$$n \in \mathbb{R}, a = a_r \pm ia_i$$

zunächst : $a \in \mathbb{R}$

$$\phi = \frac{a}{n} r^n \cos(n\varphi)$$

$$\psi = \frac{a}{n} r^n \sin(n\varphi)$$

Stromlinien : $\psi = \text{konst.}$

$$\longrightarrow r^n \sin(n\varphi) = \text{konst.} = 0$$

\Rightarrow

$$\sin(n\varphi) = 0$$

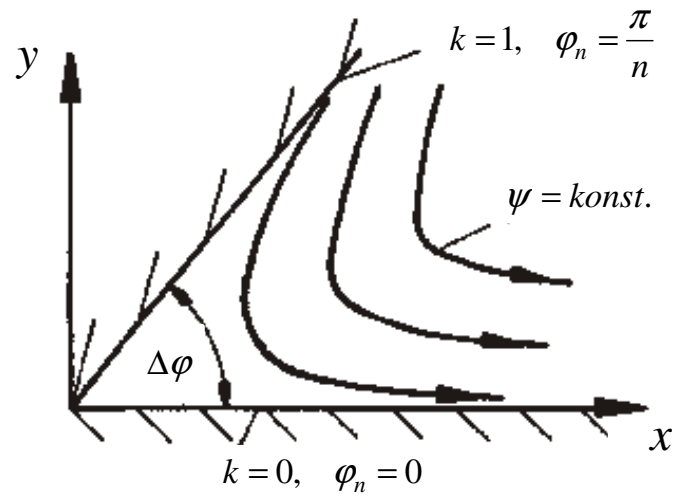
$$\varphi = \varphi_n = K \left(\frac{\pi}{n} \right) \quad K = 0, 1, 2, \dots$$

$$\left. \begin{array}{l} K = 0 : \varphi = 0 \\ K = 1 : \varphi = \frac{\pi}{n} \end{array} \right\} \Delta\varphi = \frac{\pi}{n}$$

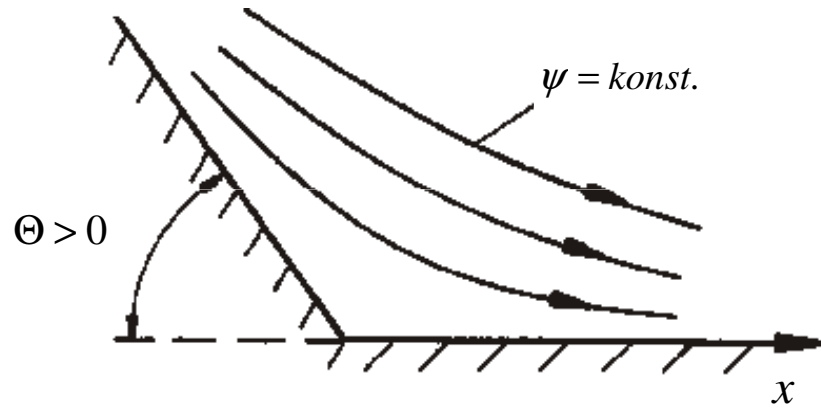
$$n \geq 2 : \quad \Delta\varphi \leq \frac{\pi}{2} \quad (\text{spitzer Winkel})$$

$$2 > n > 1 : \quad \frac{\pi}{2} < \Delta\varphi < \pi \quad (\text{konkave Ecke})$$

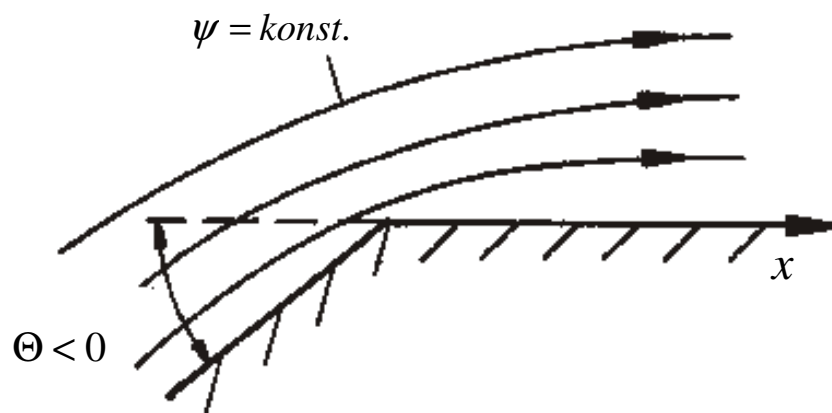
$$1 > n > \frac{1}{2} : \quad \pi < \Delta\varphi < 2\pi \quad (\text{konvexe Ecke})$$



spitzer Winkel : $n \geq 2$



konkave Ecke : $2 > n > 1$



konvexe Ecke : $1 > n > 1/2$

wobei

$$\Theta = \pi - \Delta\varphi = (n-1) \frac{\pi}{n}$$

$$\bar{w}(z) = \frac{dF}{dz} = az^{n-1} = u - iv; \quad \text{mit } z = re^{i\varphi}$$

bzw.

$$\|\vec{v}\| = |a|r^{n-1}$$

konkave Ecke ($n > 1$): $\|\vec{v}\| \rightarrow 0$ sofern $r \rightarrow 0$

konvexe Ecke ($n < 1$): $\|\vec{v}\| \rightarrow \infty$ sofern $r \rightarrow 0$

Stromlinien anhand von

$$\frac{dy}{dx} = \frac{v}{u} = -\tan[(n-1)\varphi]$$

Parallelströmung

$$n = 1 \quad \Rightarrow \quad \Delta\varphi = \pi$$

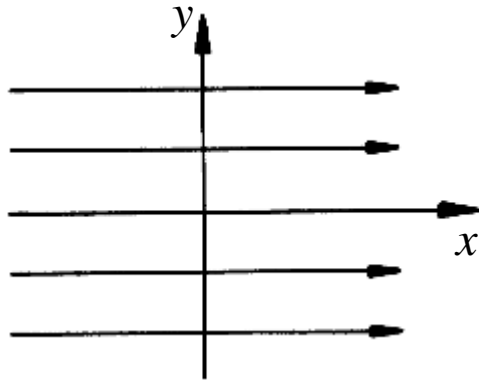
$$F(z) = az = (a_r - ia_i)(x + iy)$$

$$\frac{dF(z)}{dz} = \bar{w} = a = a_r - ia_i = u - iv$$

$$\phi = a_r x + a_i y \quad , \quad \psi = a_r y - a_i x$$

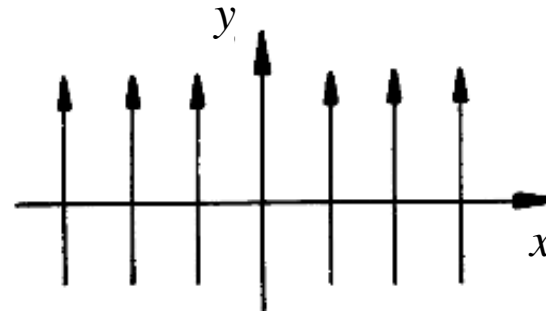
$$u = \frac{\partial\phi}{\partial x} = \frac{\partial\psi}{\partial y} = a_r$$

$$v = \frac{\partial\phi}{\partial y} = -\frac{\partial\psi}{\partial x} = a_i$$



$$a_r > 0$$

$$a_i = 0$$



$$a_r = 0$$

$$a_i > 0$$

Ebene Staupunktströmung

$$n = 2 \quad \Rightarrow \quad \Delta\varphi = \frac{\pi}{2}$$

$$F(z) = \frac{a}{2} z^2 = \phi + i\psi$$

$$\psi = axy$$

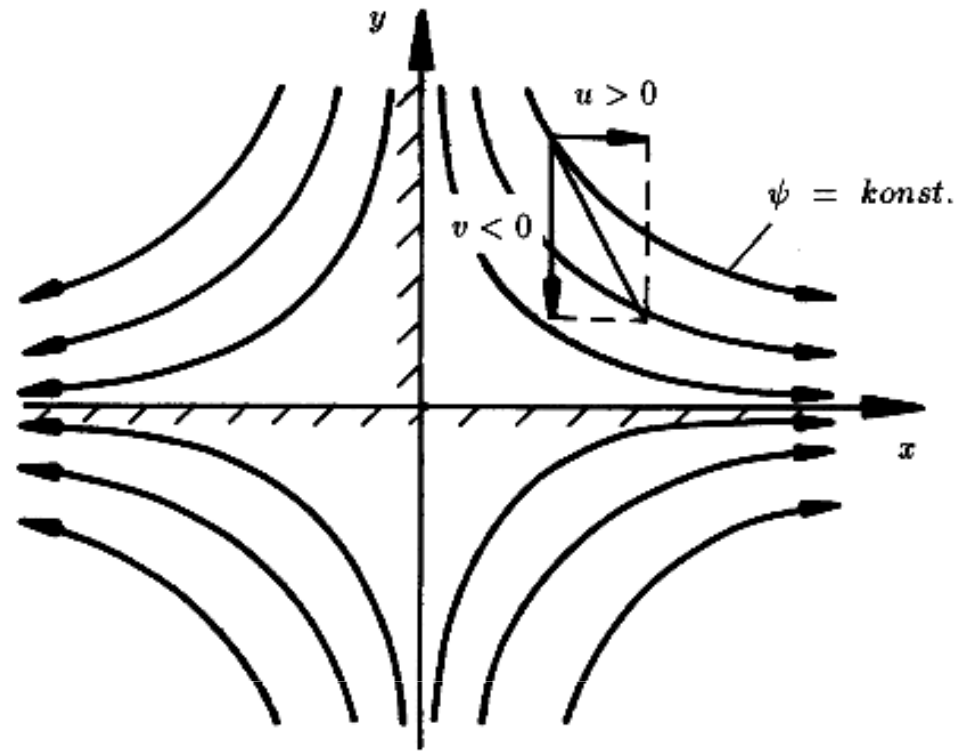
a ist Element der reellen Zahlen

$$\phi = \frac{a}{2}(x^2 - y^2)$$

$$\psi = \text{konst.} : \quad y \sim \frac{1}{x} \quad \longrightarrow \quad \text{gleichseitige Hyperbel}$$

$$\bar{w}(z) = \frac{dF}{dz} = az = ax + iay = u - iv$$

$$\left. \begin{array}{l} u = ax \\ v = -ay \end{array} \right\} \frac{dy}{dx} = \frac{v}{u} = -\frac{y}{x}$$



Isotachen : $\|\vec{v}\| = a |r|$

Isobaren : $p(r) = p_0 - \frac{\rho}{2} a^2 r^2$

Quelle oder Senke

$$F(z) = a \ln z = \frac{E}{2\pi} \ln z = \frac{E}{2\pi} \ln(re^{i\varphi})$$

$$\Rightarrow \phi = \frac{E}{2\pi} \ln r$$

$$\psi = \frac{E}{2\pi} \varphi = a\varphi$$

$\phi = konst.$: Kreise um den Ursprung

$\psi = konst.$: Strahlen durch den Ursprung

$$\bar{w}(z) = \frac{dF}{dz} = \frac{E}{2\pi z} = u - iv$$

$$u = \frac{Ex}{2\pi(x^2 + y^2)}$$

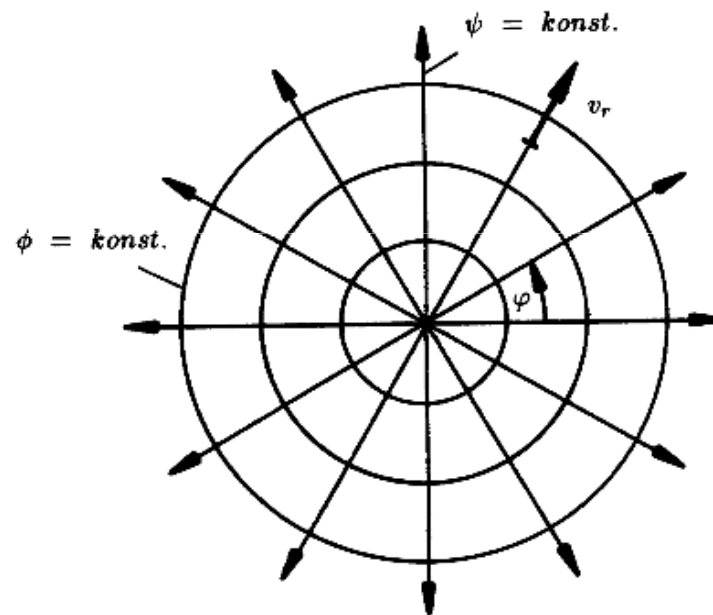
$$v = \frac{Ey}{2\pi(x^2 + y^2)}$$

geeigneter in Polarkoordinaten

$$v_r = \frac{\partial \phi}{\partial r} = \frac{E}{2\pi r} \quad v_\varphi = \frac{1}{r} \frac{\partial \phi}{\partial \varphi} = 0$$

$E > 0$: Quellströmung

$E < 0$: Senkenströmung



$$\begin{aligned} \dot{V} &= b[\psi(\varphi + 2\pi) - \psi(\varphi)] \\ &= b[a(\varphi + 2\pi) - a\varphi] = 2\pi ab = Eb \quad \Rightarrow \quad a = E / 2\pi \quad \text{bzw.} \quad E = \dot{V} / b \end{aligned}$$

$$v_r \sim \frac{1}{r} : r \rightarrow 0 \quad \Rightarrow \quad v_r \rightarrow \infty \quad (\text{Singular.})$$

Potentialwirbel

Vertauschen von ϕ und ψ

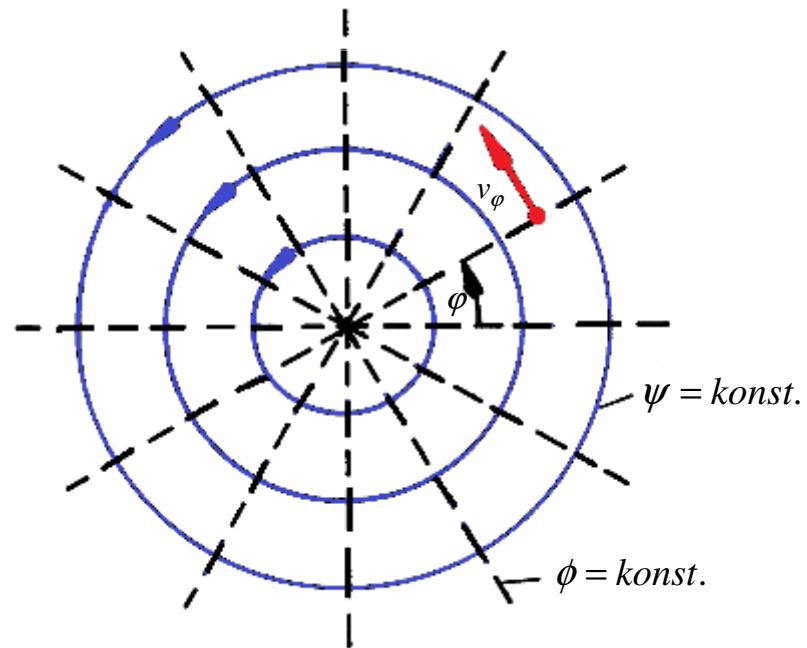
$$\Rightarrow \phi = c\varphi$$

$$\psi = -c \ln r$$

$$F(z) = \phi + i\psi = -ic \ln z$$

$$v_r = \frac{\partial \phi}{\partial r} = \frac{1}{r} \frac{\partial \psi}{\partial \varphi} = 0$$

$$v_\varphi = \frac{1}{r} \frac{\partial \phi}{\partial \varphi} = -\frac{\partial \psi}{\partial r} = \frac{c}{r}$$



$$\Gamma = \oint \vec{v} \cdot d\vec{r}$$

$$r = R: \quad \Gamma = \frac{c}{R} 2\pi R = 2\pi c$$

$$\Rightarrow F(z) = -i \frac{\Gamma}{2\pi} \ln z, \quad \phi = \frac{\Gamma}{2\pi} \varphi, \quad \psi = -\frac{\Gamma}{2\pi} \ln r$$

Wirbelkomponente in Polarkoordinaten

$$\omega_z = \frac{1}{2r} \left(\frac{\partial}{\partial r} (rv_\varphi) - \frac{\partial v_r}{\partial \varphi} \right)$$

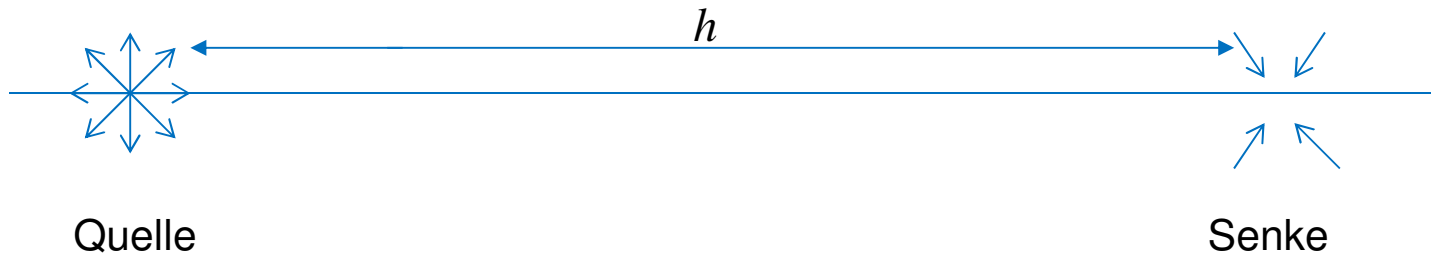
$$\Rightarrow \frac{\partial v_r}{\partial \varphi} = 0, \quad rv_\varphi = c = \frac{\Gamma}{2\pi} = \text{konst.} \quad \Rightarrow \quad \frac{\partial (rv_\varphi)}{\partial r} = 0 \quad [r \neq 0]$$

$$\omega_z = 0 \quad \text{für} \quad r \neq 0$$

$r = 0$? $\omega_z \neq 0$, denn $\Gamma \neq 0$ bedingt Drehung (Stokes)

\Rightarrow bei $r = 0$ existiert eine Wirbellinie oder Stabwirbel \perp zur Strömungsebene

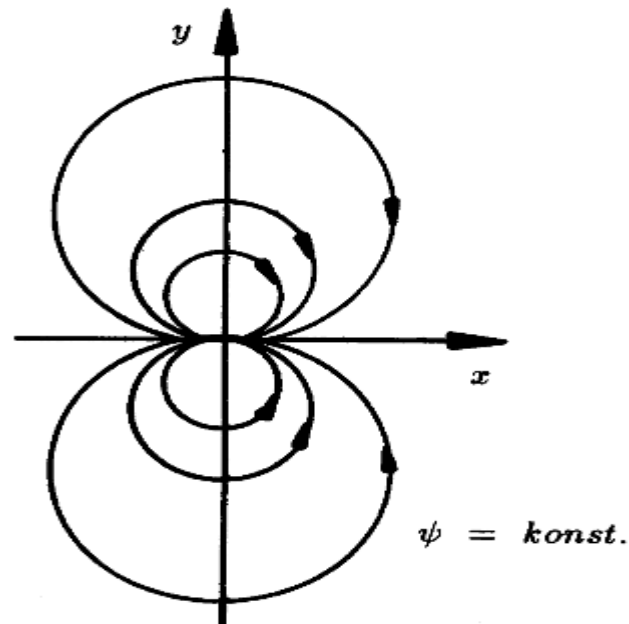
Dipolströmung



$$E_{Quelle} = E_{Senke} = E$$

Bedingung: $E \sim \frac{1}{h}$ bzw. $M = Eh = konst.$ für $h \rightarrow 0$

\Rightarrow Dipolströmung mit Dipolmoment M und Dipolachse x .



$$F(z) = \frac{M}{2\pi} \lim_{h \rightarrow 0} \underbrace{\frac{\ln(z+h) - \ln z}{h}}_{\frac{d \ln(z)}{dz}} = \frac{M}{2\pi z} = \frac{M}{2\pi} \frac{x-iy}{r^2} = \phi + i\psi$$

$$\frac{d \ln(z)}{dz} = \frac{1}{z}$$

$$\phi = \frac{M}{2\pi} \frac{x}{x^2 + y^2}$$

$$\psi = -\frac{M}{2\pi} \frac{y}{x^2 + y^2}$$

ψ - Gleichung liefert

$$x^2 + \left(y + \frac{M}{4\pi\psi} \right)^2 = \left(\frac{M}{4\pi\psi} \right)^2$$

\Rightarrow **Stromlinien :** Kreis mit Zentren $\left(0, -\frac{M}{4\pi\psi} \right)$ und Radien $M / (4\pi\psi)$

(siehe Skizze)

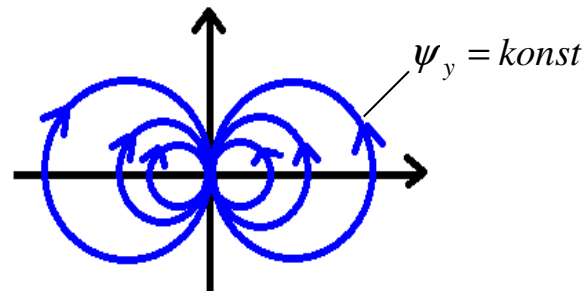
$$e^{i\frac{\pi}{2}} = \cos \frac{\pi}{2} + i \sin \frac{\pi}{2} = i$$

⇒ Multiplikation mit i ⇒ Rotation um $\pi/2$.

D. h. iM statt M

$$\Rightarrow \psi_y = \frac{Mx}{2\pi(x^2 + y^2)}$$

bzw. $\left(x - \frac{M}{4\pi\psi_y}\right)^2 + y^2 = \left(\frac{M}{4\pi\psi_y}\right)^2$



Aus $F(z) = \frac{M}{2\pi z}$ folgt :

$$\bar{w}(z) = \frac{dF}{dz} = -\frac{M}{2\pi z^2} = u - iv$$

$$u = -\frac{M}{2\pi r^2} \cos(2\varphi) = -\frac{M}{2\pi} \frac{x^2 - y^2}{r^4}$$

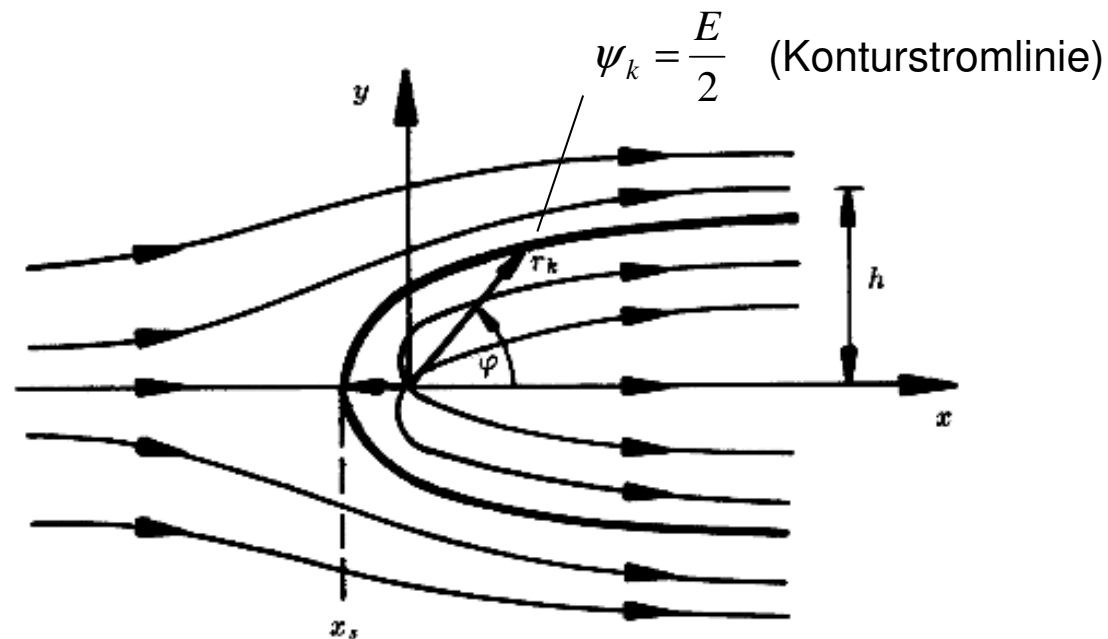
$$v = -\frac{M}{2\pi r^2} \sin(2\varphi) = -\frac{M}{2\pi} \frac{2xy}{r^4}$$

$\|\vec{v}\| \sim 1/r^2 \quad \longrightarrow \quad \text{Singularität bei } r = 0$

Halbkörper

Parallelströmung + Quellenströmung

$$F(z) = u_\infty z + \frac{E}{2\pi} \ln z$$



$$\phi = u_{\infty}x + \frac{E}{2\pi} \ln r = u_{\infty}x + \frac{E}{4\pi} \ln(x^2 + y^2)$$

$$\psi = u_{\infty}y + \frac{E}{2\pi} \varphi$$

bzw. die Geschwindigkeitskomponenten :

$$u = \frac{\partial \phi}{\partial x} = u_{\infty} + \frac{E}{2\pi} \frac{x}{x^2 + y^2} = \frac{\partial \psi}{\partial y}$$

$$v = \frac{\partial \phi}{\partial y} = \frac{E}{2\pi} \frac{y}{x^2 + y^2} = -\frac{\partial \psi}{\partial x}$$

⇒ Koordinaten des Staupunkts ($u = v = 0$)

$$v = 0: \quad y_s = 0$$

$$u = 0: \quad x_s = -\frac{E}{2\pi u_{\infty}}$$

Wandstromlinie : ?

$$\psi_k = \psi_s \quad (\text{Wert von } \psi \text{ im Staupunkt})$$

$$\varphi_s = \pi \quad \Rightarrow \quad \psi_s = \frac{E}{2}$$

$$\psi_k = u_\infty r_k \sin \varphi + \frac{E}{2\pi} \varphi = \frac{E}{2}$$

$$\Rightarrow r_k = \frac{E}{2\pi u_\infty} \frac{\pi - \varphi}{\sin \varphi}$$

max. (Halb) breite h bei $x \rightarrow \infty$:

$$x \rightarrow \infty : \quad y = h \quad , \quad \varphi = 0$$

$$\psi_\infty = \psi_k$$

$$\psi_\infty = u_\infty h = \psi_k = \frac{E}{2} \quad \Rightarrow \quad h = \frac{E}{2u_\infty}$$

Druckverteilung : ?

$$p_\infty + \frac{\rho}{2} u_\infty^2 = p + \frac{\rho}{2} (u^2 + v^2)$$

$$c_p = \frac{p - p_\infty}{\frac{\rho}{2} u_\infty^2} = 1 - \left[\left(\frac{u}{u_\infty} \right)^2 + \left(\frac{v}{u_\infty} \right)^2 \right]$$

$$c_p = 1 - \left[\left(1 + \frac{h}{\pi} \frac{x}{x^2 + y^2} \right)^2 + \left(\frac{h}{\pi} \frac{y}{x^2 + y^2} \right)^2 \right]$$

Druckverteilung auf der Kontur :

$$u_k = u_\infty + \frac{E}{2\pi} \frac{\cos \varphi}{r_k} = u_\infty + \frac{u_\infty}{\pi - \varphi} \sin \varphi \cos \varphi$$

$$v_k = \frac{E}{2\pi} \frac{\sin \varphi}{r_k} = \frac{u_\infty}{\pi - \varphi} \sin \varphi \sin \varphi$$

$$c_{pk} = 1 - \left[\left(1 + \frac{\cos \varphi \sin \varphi}{\pi - \varphi} \right)^2 + \left(\frac{\sin^2 \varphi}{\pi - \varphi} \right)^2 \right]$$

Additionstheoreme :

$$\sin(2\varphi) = 2 \cos \varphi \sin \varphi$$

$$\sin(2(\pi - \varphi)) = -\sin(2\varphi)$$

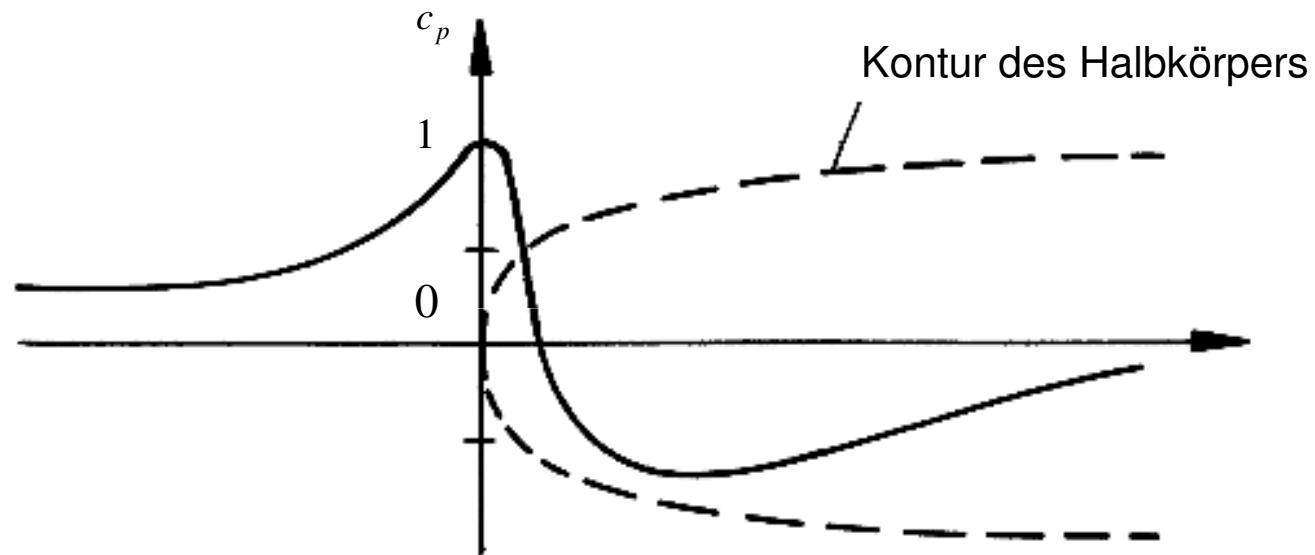
$$c_{pk} = \frac{\sin(2\bar{\varphi})}{\bar{\varphi}} - \left(\frac{\sin \bar{\varphi}}{\bar{\varphi}} \right)^2$$

Staupunkt : $\varphi = \pi$ bzw. $\bar{\varphi} = 0$

$$c_p = 1$$

$$c_p(\varphi = \frac{\pi}{2}) = -\frac{4}{\pi^2}$$

$$c_p \rightarrow 0 \text{ für } x \rightarrow \infty \text{ bzw. } \varphi \rightarrow 0$$



Kreiszyylinder

Parallelströmung + Quellenströmung + Senkenströmung

$$E_Q = E_S$$

⇒ geschlossene Wandstromlinie

Abstand von Quelle + Senke $\rightarrow 0$

\Rightarrow Dipolströmung

\rightarrow Parallelströmung + Dipolströmung

$$F(z) = u_{\infty} z + \frac{M}{2\pi z}$$

$$\phi = u_{\infty} x + \frac{M}{2\pi r^2} x = \left(u_{\infty} + \frac{M}{2\pi r^2} \right) r \cos \varphi$$

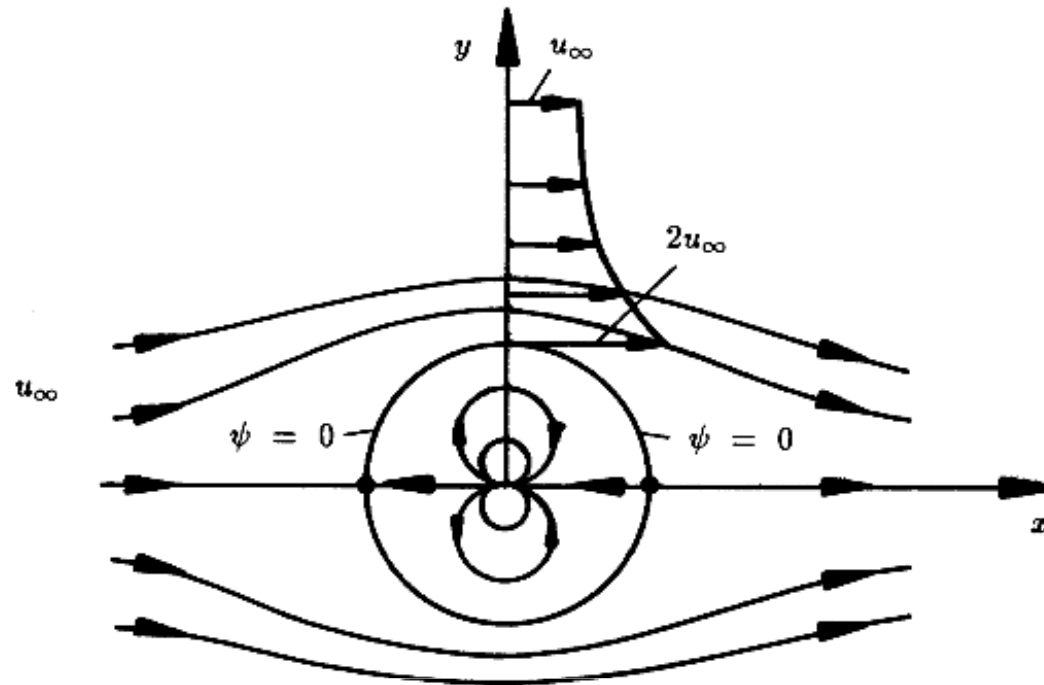
$$\psi = u_{\infty} y - \frac{M}{2\pi r^2} y = \left(u_{\infty} - \frac{M}{2\pi r^2} \right) r \sin \varphi$$

$$\bar{w}(z) = u_{\infty} - \frac{M}{2\pi z^2}$$

bzw.

$$v_r = \frac{\partial \phi}{\partial r} = \left(u_{\infty} - \frac{M}{2\pi r^2} \right) \cos \varphi$$

$$v_{\varphi} = \frac{1}{r} \frac{\partial \phi}{\partial \varphi} = - \left(u_{\infty} + \frac{M}{2\pi r^2} \right) \sin \varphi$$



Staupunkte ($v_r = v_\varphi = 0$) bei $\varphi = 0$ und $\varphi = \pi$

$$v_r = 0 \Rightarrow u_\infty - \frac{M}{2\pi R^2} = 0$$

$$R = \sqrt{\frac{M}{2\pi u_\infty}}$$

\Rightarrow Wandstromlinie $\psi = 0$; Geschwindigkeit auf $\psi = 0$

$$v_r = 0$$

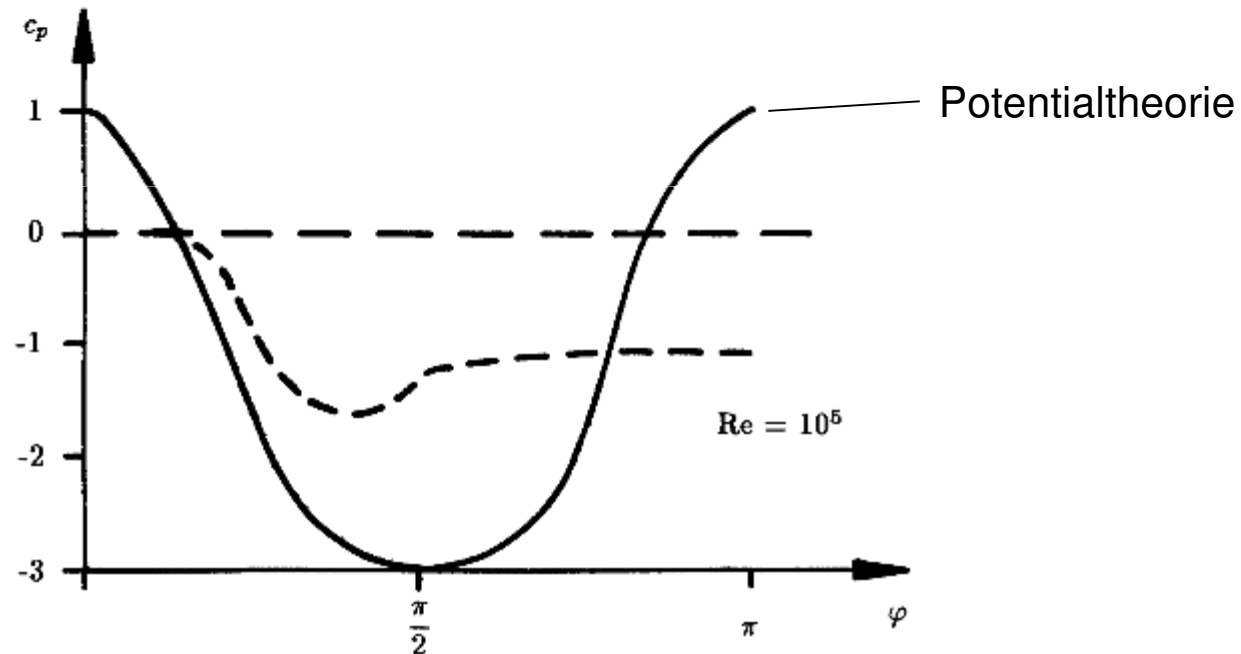
$$v_\varphi = -2u_\infty \sin \varphi$$

$$\varphi = \frac{\pi}{2} \text{ oder } \varphi = \frac{3}{2}\pi : |v_\varphi| = 2u_\infty$$

Druckverteilung auf Kontur :

$$p_k + \frac{\rho}{2} v_k^2 = p_\infty + \frac{\rho}{2} u_\infty^2$$

$$c_{pk} = \frac{p_k - p_\infty}{\frac{\rho}{2} u_\infty^2} = 1 - \left(\frac{v_k}{u_\infty} \right)^2 = 1 - 4 \sin^2 \varphi$$



Potentialtheorie → symmetrische p-Verteilung

- keine resultierende Kraft
- d'Alambertsches Paradoxon

Addition eines Potentialwirbels \Rightarrow Seitenkraft

$$F(z) = u_\infty \left(z + \frac{R^2}{z} \right) + i \frac{\Gamma}{2\pi} \ln z$$

$$\phi = u_\infty \cos \varphi \left(r + \frac{R^2}{r} \right) - \frac{\Gamma}{2\pi} \varphi$$

$$\psi = u_\infty \sin \varphi \left(r - \frac{R^2}{r} \right) + \frac{\Gamma}{2\pi} \ln r$$

$$v_r = \frac{\partial \phi}{\partial r} = u_\infty \cos \varphi \left(1 - \frac{R^2}{r^2} \right)$$

$$v_\varphi = \frac{1}{r} \frac{\partial \phi}{\partial \varphi} = -u_\infty \sin \varphi \left(1 + \frac{R^2}{r^2} \right) - \frac{\Gamma}{2\pi r}$$

$$v_r = 0 \quad \text{für} \quad r = R$$

$$v_\varphi = -2u_\infty \sin \varphi - \frac{\Gamma}{2\pi R}$$

Staupunkt(e) : ?

$$v_\varphi = 0 \quad \rightarrow \quad \sin \varphi = -\frac{\Gamma}{4\pi u_\infty R}$$

$$\Gamma < 4\pi u_\infty R \quad \Rightarrow \quad 2 \text{ Staupunkte}$$

$$\Gamma = 4\pi u_\infty R \quad \Rightarrow \quad 1 \text{ Staupunkt}$$

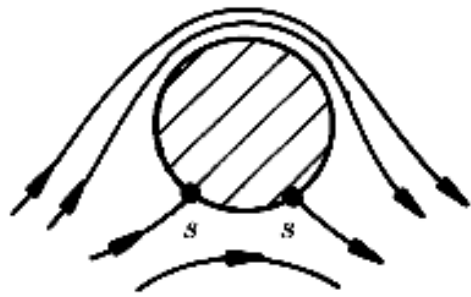
$$\Gamma > 4\pi u_\infty R \quad \Rightarrow \quad \text{keine Lösung auf der Kontur, jedoch ein freier Staupunkt}$$

$$v_r(r \neq R, \varphi) = 0 \quad \Rightarrow \quad \varphi = -\frac{\pi}{2}$$

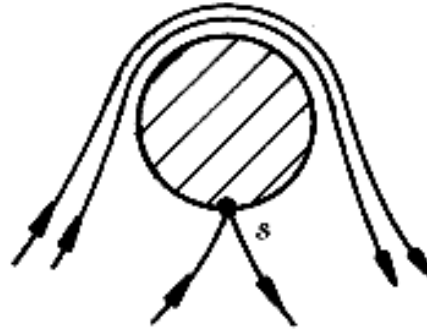
$$v_\varphi(r \neq R, \varphi = -\frac{\pi}{2}) = 0 \quad \Rightarrow \quad u_\infty \left(1 + \frac{R^2}{r^2}\right) - \frac{\Gamma}{2\pi r} = 0$$

$$\Rightarrow r = \frac{1}{4\pi u_\infty} \left[\Gamma \pm \sqrt{\Gamma^2 - (4\pi u_\infty R)^2} \right]$$

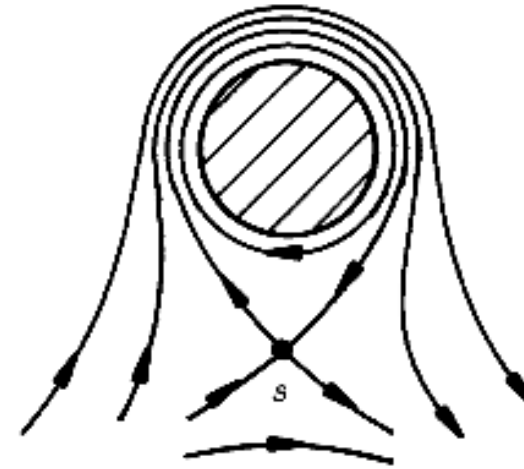
nur $r > R$ berücksichtigen



$$\Gamma < 4\pi u_\infty R$$



$$\Gamma = 4\pi u_\infty R$$



$$\Gamma > 4\pi u_\infty R$$

Potentialwirbel $\rightarrow \Gamma \rightarrow$ Seitenkraft

Magnus Effekt

Druckverteilung auf der Kontur

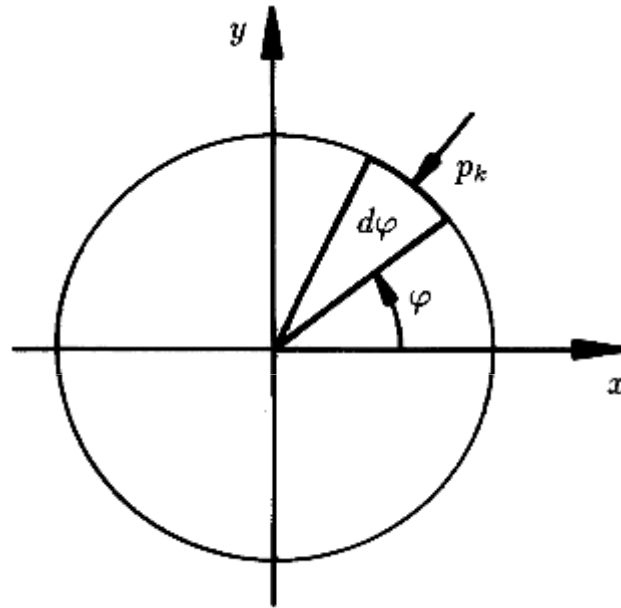
$$p + \frac{\rho}{2}(v_r^2 + v_\varphi^2) = p_\infty + \frac{\rho}{2}u_\infty^2$$

$$p_k = p_\infty + \frac{\rho}{2} \left[u_\infty^2 - \left(-2u_\infty \sin \varphi - \frac{\Gamma}{2\pi R} \right)^2 \right]$$

bzw.

$$c_p = \frac{p_k - p_\infty}{\frac{\rho}{2} u_\infty^2} = 1 - \left(2 \sin \varphi + \frac{\Gamma}{2\pi u_\infty R} \right)^2$$

Kraft in y - Richtung :



$$L = - \int_0^{2\pi} p_k \sin \varphi R d\varphi$$

$$L = \frac{\rho u_\infty \Gamma}{\pi} \int_0^{2\pi} \sin^2 \varphi d\varphi = \frac{\rho u_\infty \Gamma}{2\pi} \int_0^{2\pi} (1 - \cos 2\varphi) d\varphi$$

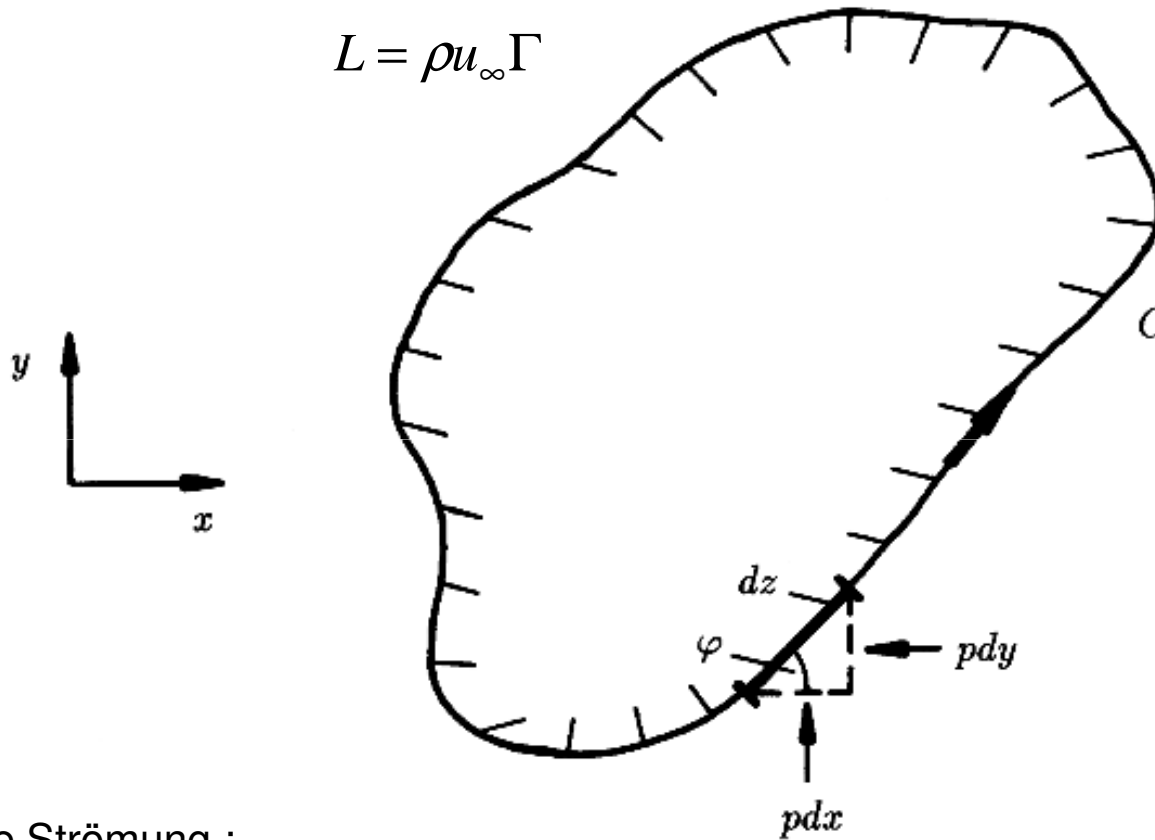
$$L = \rho u_\infty \Gamma$$

$L \sim \Gamma$ Kutta, Zhukhovski

Auftriebssatz von Kutta – Zhukhovski

Für beliebige ebene Körper gilt :

$$L = \rho u_{\infty} \Gamma$$



reibungsfreie Strömung :

$$dD = -pdy$$

$$dL = pdx$$

infinitesimale Kraft

$$dD - idL = -pdy - ipdx = -ipd\bar{z}$$

$$d\bar{z} = dx - idy$$

Gesamtkraft

$$D - iL = -i \oint_C p d\bar{z}$$

Druckverteilung

$$p_\infty + \frac{\rho}{2} u_\infty^2 = p + \frac{\rho}{2} (u^2 + v^2) = p + \frac{1}{2} \rho (u + iv)(u - iv)$$

$$D - iL = -i \oint \left[\underbrace{p_\infty + \frac{\rho}{2} u_\infty^2}_{\text{blue bracket}} - \frac{\rho}{2} (u + iv)(u - iv) \right] d\bar{z}$$

$$\Rightarrow \oint_C \left(p_\infty + \frac{\rho}{2} u_\infty^2 \right) d\bar{z} = 0$$

$$dz = |dz| e^{i\varphi}$$

$$u + iv = \sqrt{u^2 + v^2} e^{i\varphi}$$

$$\Rightarrow dz \parallel u + iv$$

$$\Rightarrow (u + iv)d\bar{z} \quad \text{reell und}$$

$$(u - iv)dz = (u + iv)d\bar{z}$$

$$D - iL = \frac{i}{2} \rho \oint_C (u - iv)^2 dz = \frac{i}{2} \rho \oint_C \left(\frac{dF}{dz} \right)^2 dz$$

(I. Blasiusche Formel)

gültig für ebene, stat. , drehungsfreie Strömungen

Funktionentheorie :

Integration auf jeder beliebigen Kontur möglich, sofern keine Singularitäten zwischen Körper und gewählter Kontur.

hier : • Strömung setzt sich u. a. aus Sing. zusammen, die sich jedoch innerhalb des Körpers befinden.

• Wahlkontur weit entfernt vom Körper

$$F(z) = u_\infty z + \underbrace{\frac{E}{2\pi}} \ln z + \frac{i\Gamma}{2\pi} \ln z + \frac{M}{2\pi z} + \dots$$

$$\longrightarrow \sum_i (E_{Qi} + E_{si}) = 0 \longrightarrow \text{Körperoberfläche ist geschlossen}$$

I. Blasiusche Formel :

$$D - iL = \frac{i\rho}{2} \oint \left[u_\infty + \frac{i\Gamma}{2\pi z} - \frac{M}{2\pi z^2} + \dots \right]^2 dz$$

Residuensatz :

$$\oint_c f(z) dz = 2\pi i \cdot \left(\sum \text{Res}[f(z)] \right)$$

$Res [f(z)]:?$

$$\left[u_\infty + \frac{i\Gamma}{2\pi z} \right]^2 \rightarrow u_\infty^2 - \frac{\Gamma^2}{4\pi^2 z^2} + \frac{i u_\infty \Gamma}{\pi z}$$

$$\rightarrow D - iL = \frac{i\rho}{2} \left[2\pi i \left(\frac{i u_\infty \Gamma}{\pi} \right) \right]$$

$$D = 0$$

$$L = \rho u_\infty \Gamma$$

Somit verschwindet die Widerstandskraft und die Seitenkraft ist proportional zur Zirkulation!

Entstehung der Zirkulation

nur Körper mit scharfen Hinterkanten erzeugen Γ (exp. Ergebnis)



$$\Gamma = 0$$



$$\Gamma \neq 0$$



$$\Gamma_{\text{Kutta}}$$

vorangegangene Darstellung : drehungsfreie Strömung, Γ steigt an

$\Gamma = 0$ Staupunkt (B) auf der Oberfläche

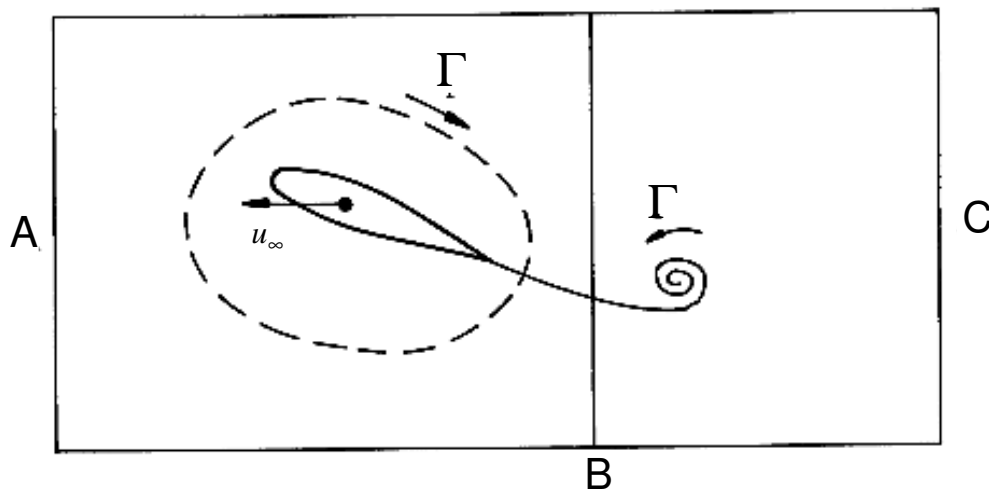
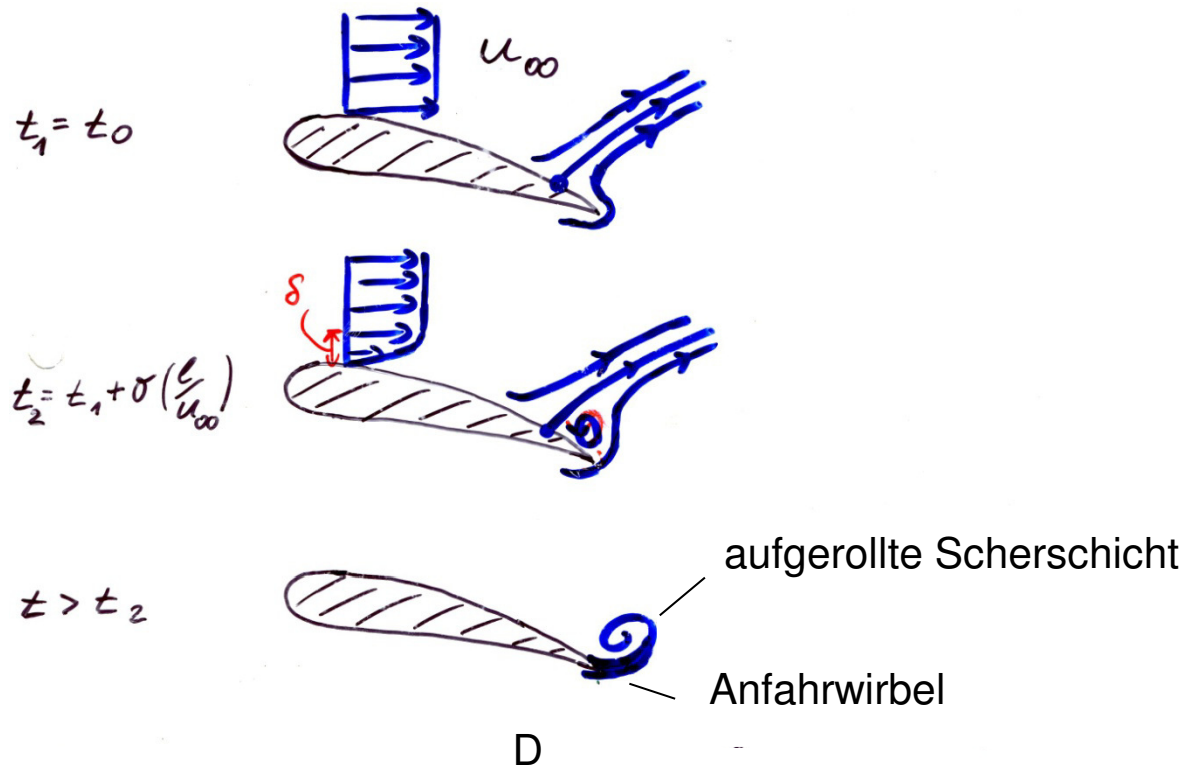
$\Gamma \uparrow$ A,B wandern auf der Oberfläche

Γ_{Kutta} B auf der Hinterkante

Hypothese von Kutta :

Strömung über ebenen, scharfkantigen Körper besitzt genau die Zirkulation Γ ,
so dass B auf der Hinterkante liegt. (Kutta Bedingung)

Warum genügt eine realistische Strömung der Kutta Bedingung?



Satz von Thomson : Γ um jede geschlossene Kurve ist konstant, wenn die Kurve in einer reibungsfreien Strömung bleibt.

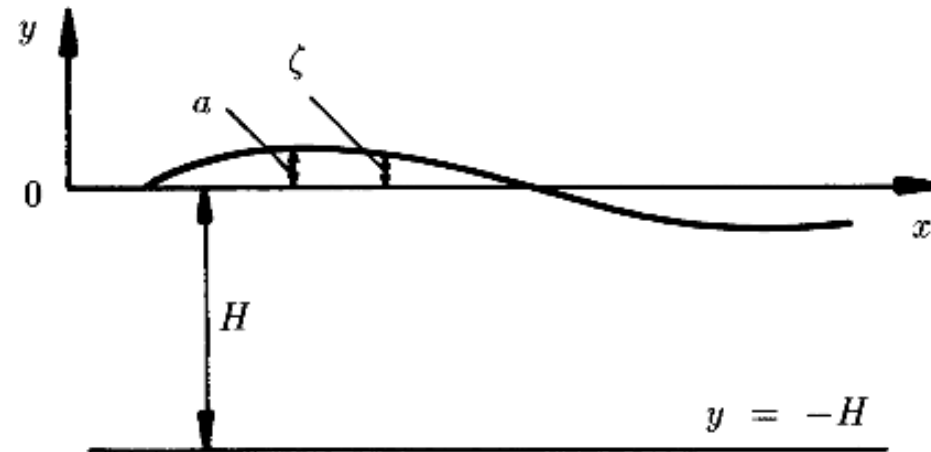
$$\rightarrow \Gamma_{ABCD}(t > t_0) = 0, \quad \text{da } \Gamma_{ABCD}(t_0 = 0) = 0$$

$$\Rightarrow \Gamma_{ABD} \text{ kompensiert } \Gamma_{BCD} = \Gamma_{Anfahr}$$

nur Γ_{Kutta} bewirkt **keine** Oszillation des hinteren Staupunktes

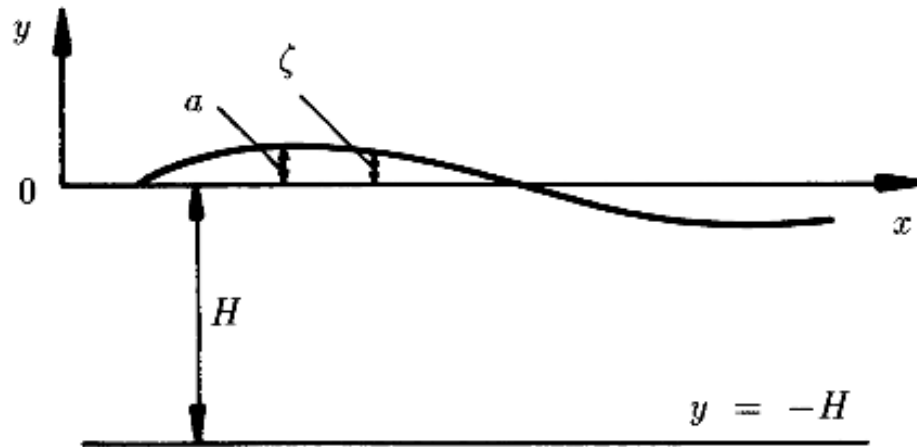
D.h. Viskosität ruft zwar D hervor, jedoch ebenfalls Γ und somit L .

Schwerewellen



H : mittlere Tiefe

- $a/\lambda \ll 1$ und $a/H \ll 1$
- $H \ll \lambda$
- η klein \rightarrow Reibung hat keinen Einfluss auf Wellenausbreitung
- Bewegung aus der Ruhe \rightarrow drehungsfreie Analyse



$\zeta(x, t)$ beschreibt die Oszillationen, drehungsfreie Strömung \rightarrow Potential einführen

$$u = \frac{\partial \phi}{\partial x} \quad v = \frac{\partial \phi}{\partial y} \quad \text{in Kontinuitätsgleichung :}$$

$$\Rightarrow \nabla^2 \phi = 0$$

Randbedingungen :

$$y = \zeta : \frac{d\zeta}{dt} = \frac{\partial \zeta}{\partial t} + u \frac{\partial \zeta}{\partial x} \Big|_{y=\zeta} = \frac{\partial \phi}{\partial y} \Big|_{y=\zeta} = v \Big|_{y=\zeta}$$

$$y = -H : \frac{\partial \phi}{\partial y} = v = 0$$

Annahme : a klein $\Rightarrow u \frac{\partial \zeta}{\partial x}$ klein

$$\rightarrow u \frac{\partial \zeta}{\partial x} \ll \frac{\partial \zeta}{\partial t}$$

$$\text{somit : } y = \zeta \quad \frac{\partial \zeta}{\partial t} = \frac{\partial \phi}{\partial y} \Big|_{y=\zeta}$$

Taylorentwicklung

$$\frac{\partial \phi}{\partial y} \Big|_{y=\zeta} = \frac{\partial \phi}{\partial y} \Big|_{y=0} + \zeta \frac{\partial^2 \phi}{\partial y^2} + \dots \approx \frac{\partial \phi}{\partial y} \Big|_{y=0}$$

dynamische Randbedingung bei $y = \zeta$:

$$y = \zeta \quad : \quad p = p_a = 0$$

mittels Bernoulli Gleichung

$$\frac{\partial \phi}{\partial t} + \frac{1}{2}(u^2 + v^2) + \frac{p}{\rho} + gy = F(t)$$

$$\phi = f(\tilde{\phi}, F)$$

$$\frac{\partial \phi}{\partial t} + \frac{p}{\rho} + gy = 0$$

$$y = \zeta \quad : \quad \frac{\partial \phi}{\partial t} + g\zeta = 0$$

mit $\frac{\partial \phi}{\partial t} \Big|_{y=\zeta} = \frac{\partial \phi}{\partial t} \Big|_{y=0} + \zeta \frac{\partial^2 \phi}{\partial y \partial t} + \dots$

$$y = 0 \quad : \quad \frac{\partial \phi}{\partial t} = -g\zeta$$

Zusammenfassung des Problems $\nabla^2 \phi = 0$

mit RB :

$$y = -H \quad : \quad \frac{\partial \phi}{\partial y} = 0$$

$$y = 0 \quad : \quad \frac{\partial \phi}{\partial y} = \frac{\partial \zeta}{\partial t}, \quad \frac{\partial \phi}{\partial t} = -g\zeta$$

Annahme : $\zeta(x, t) = a \cos(kx - \omega t)$

$$k = \frac{2\pi}{\lambda} \quad : \text{Wellenzahl} \qquad \omega = \frac{2\pi}{T} \quad : \text{Kreisfrequenz}$$

$$T = \frac{\lambda}{c}, \quad c \quad : \text{Phasengeschwindigkeit}$$

bzw. $\omega = kc$

Bedenkt man die Bedingungen

$$y = 0 \quad \frac{\partial \zeta}{\partial t} = \frac{\partial \phi}{\partial y} \quad \text{und} \quad \frac{\partial \phi}{\partial t} = -g\zeta$$

folgt als **Ansatz** für ϕ :

$$\phi = f(y) \sin(kx - \omega t)$$

$f(y)$, k bzw. ω unbekannt

Laplace ergibt :

$$\frac{d^2 f}{dy^2} - k^2 f = 0$$

allgemeine Lösung :

$$f(y) = Ae^{ky} + Be^{-ky}$$

$$\phi = (Ae^{ky} + Be^{-ky}) \sin(kx - \omega t)$$

A , B aus Randbedingungen

$$y = -H \quad \frac{\partial \phi}{\partial y} = (Ake^{-kH} - Bke^{kH}) \sin(kx - \omega t) = 0$$

$$\Rightarrow B = Ae^{-2kH}$$

$$y = 0 : \quad \frac{\partial \zeta}{\partial t} = a\omega \sin(kx - \omega t)$$

$$\frac{\partial \phi}{\partial y} = k(Ae^{ky} - Be^{-ky}) \sin(kx - \omega t) = k(A - B) \sin(kx - \omega t)$$

$$\frac{\partial \phi}{\partial t} = \frac{\partial \zeta}{\partial t} : \quad k(A - B) = a\omega$$

$$\Rightarrow \quad A = \frac{a\omega}{k(1 - e^{-2kH})}$$

$$B = \frac{a\omega e^{-2kH}}{k(1 - e^{-2kH})}$$

$$\phi = \frac{a\omega}{k} \frac{\cosh(k(y + H))}{\sinh(kH)} \sin(kx - \omega t)$$

$$u = a\omega \frac{\cosh(k(y + H))}{\sinh(kH)} \cos(kx - \omega t)$$

$$v = a\omega \frac{\sinh(k(y + H))}{\sinh(kH)} \sin(kx - \omega t)$$

Zusammenhang zwischen c , ω , k über die dynamische Bedingung

$$\zeta \text{ und } \phi \text{ in } \frac{\partial \phi}{\partial t} = -g\zeta \quad (y = 0)$$

$$-\frac{a\omega^2 \cosh(kH)}{k \sinh(kH)} \cos(kx - \omega t) = -ga \underbrace{\cos(kx - \omega t)}_{\zeta}$$

$$\Rightarrow \omega = \sqrt{gk \tanh(kH)}$$

$$\Rightarrow c = \frac{\omega}{k} = \sqrt{\frac{g}{k} \tanh(kH)} = \sqrt{\frac{g\lambda}{2\pi} \tanh \frac{2\pi H}{\lambda}} \quad (*)$$

$$\left. \begin{array}{l} c = f(k) \\ k = g(c) \end{array} \right\} : \text{ dispersive Wellen}$$

$\omega = f(k)$ heißt Dispersionsbeziehung

Gleichung * für : $H/\lambda \gg 1$ und

$$H/\lambda \ll 1$$

$$H/\lambda \gg 1$$

$$\tanh(x \rightarrow \infty) \rightarrow 1$$

$$\text{Näherung : } \tanh(1.75) = 0.9414$$

$$\Rightarrow KH > 1.75 \text{ bzw. } H > 0.28\lambda$$

$$c = \sqrt{\frac{g\lambda}{2\pi}} = \sqrt{\frac{g}{k}} \quad 3 \% \text{ genau}$$

Tiefwasserwellen, sofern $H > 0.28\lambda$; $c = f(\lambda)$, $c \neq f(H)$

$$H/\lambda \ll 1$$

$$\tanh(x \rightarrow 0) \approx x$$

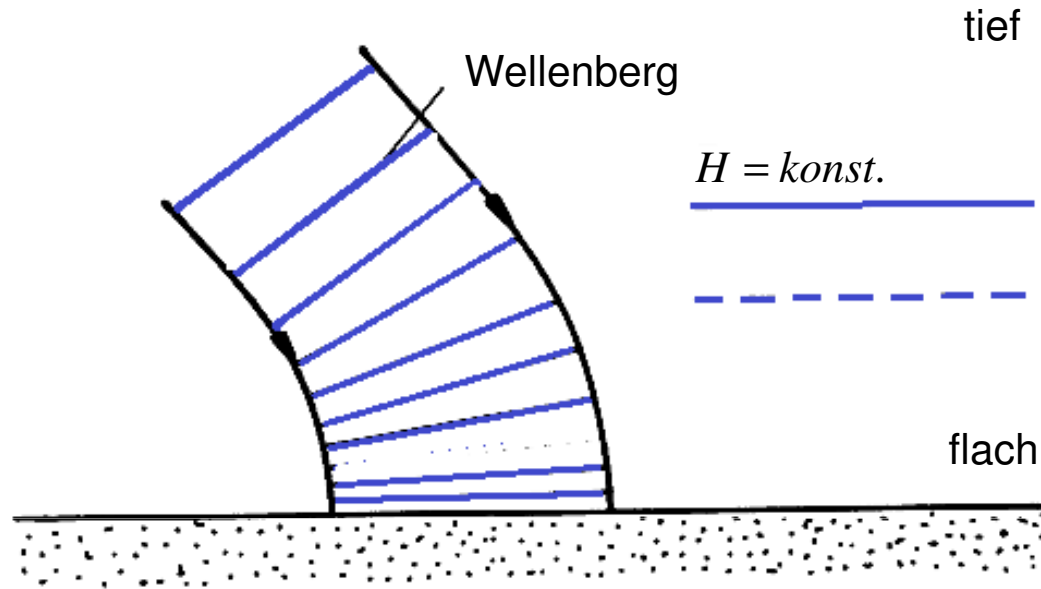
$$H/\lambda \ll 1$$

$$\tanh\frac{2\pi H}{\lambda} \approx \frac{2\pi H}{\lambda}$$

$$\Rightarrow c = \sqrt{gH} \quad \text{Genauigkeit besser 3\% für } H/\lambda < 0.07\lambda$$

Flachwasserwellen, sofern $H < 0.07\lambda$; $c \neq f(\lambda)$, $c = f(H)$

Bemerkung zur Berechnung von Flachwasserwellen

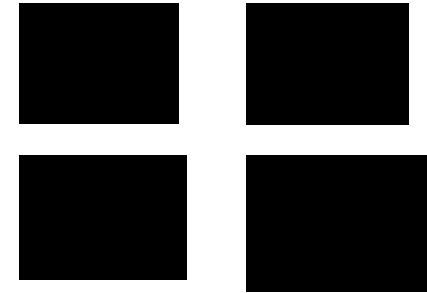


in Strandnähe : $c = \sqrt{gH}$

→ Drehung der Wellenberge parallel zur Küste in Richtung Strand

⇒ Wellen immer parallel zur Küste; sie treffen senkrecht auf den Strand auf

Laminare Grenzschichten



analytische Lösungen stationärer Strömungen :

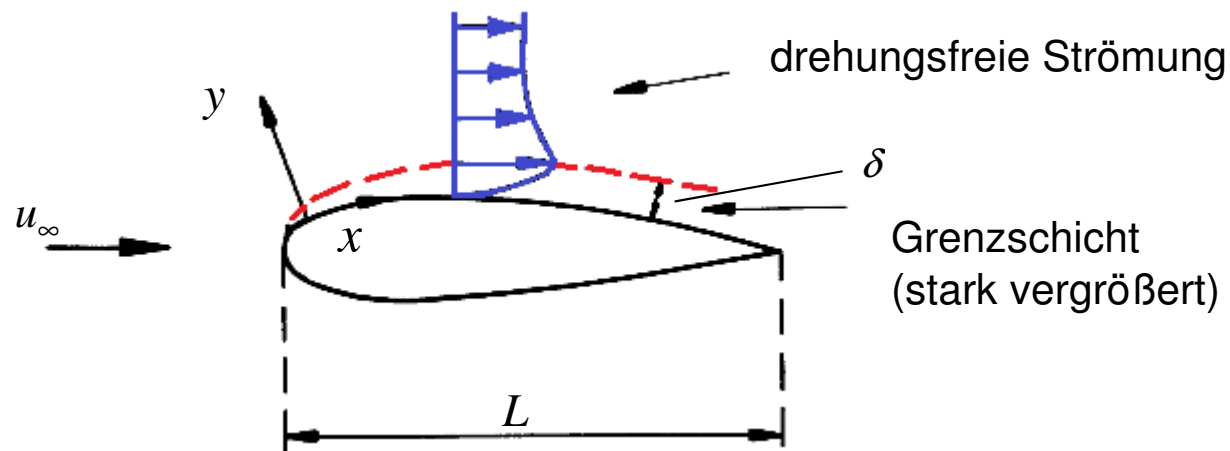
- Druck- und Reibungsterme im Gleichgewicht
- Trägheits- und Druckkräfte im Gleichgewicht

1904 Grenzschichtkonzept von Prandtl :

η klein, dann werden Reibungskräfte nur in unmittelbarer Wandnähe berücksichtigt.

$\eta \rightarrow 0$, dann $\delta \rightarrow 0$;

durch δ wird die Haftbedingung erfüllt \rightarrow Widerstandskraft



Grenzschichtgleichungen

η klein bzw. Re groß

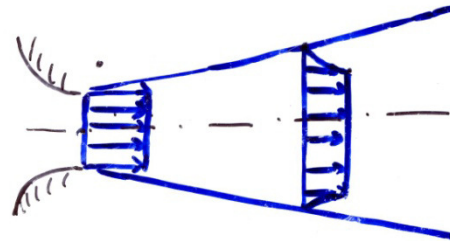
→ Grenzschicht existiert

$\delta \ll L \Rightarrow \frac{\partial u}{\partial y}$ sehr groß (i.a.)

dünne Reibungsschichten :

- Wandgrenzschicht

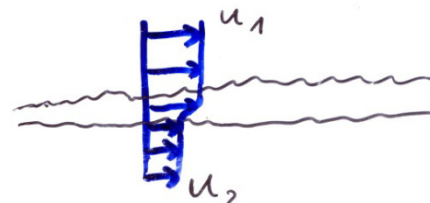
- Freistrah



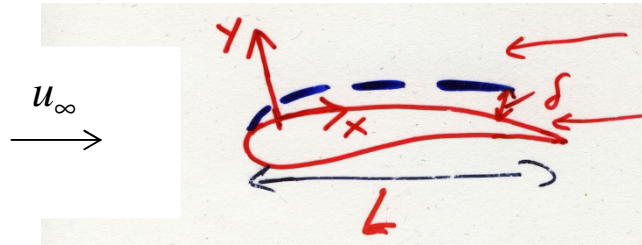
- Nachlauf



- Scherschicht



hier : Wandgrenzschichten



Ableitung eines Maßes für die Grenzschichtdicke $\tilde{\delta}$

Impulsgleichung in x-Richtung :

$$u \frac{\partial u}{\partial x} + v \frac{\partial u}{\partial y} = -\frac{1}{\rho} \frac{\partial p}{\partial x} + \nu \left(\frac{\partial^2 u}{\partial x^2} + \frac{\partial^2 u}{\partial y^2} \right)$$

Referenzgeschwindigkeit : u_∞

charakteristische Länge : L

$$\longrightarrow u \frac{\partial u}{\partial x} \sim \frac{u_\infty^2}{L} \quad \text{Ordnung der konvek. Terme}$$

Maß für die Variation von v aus der Kontinuitätsgleichung :

$$\frac{\partial u}{\partial x} + \frac{\partial v}{\partial y} = 0$$

$$u \gg v, \quad \frac{\partial}{\partial x} \ll \frac{\partial}{\partial y}$$

$$\Rightarrow \frac{\partial u}{\partial x}, \quad \frac{\partial v}{\partial y} \quad \text{von gleicher Ordnung in der Grenzschicht}$$

$$\rightarrow \frac{u_\infty}{L} \sim \frac{v}{\tilde{\delta}} \Rightarrow v \sim \frac{u_\infty \tilde{\delta}}{L}$$

$$\Rightarrow v \frac{\partial u}{\partial y} \sim \frac{u_\infty^2}{L}$$

$$\text{Ordnung der konvektiven Terme : } \frac{u_\infty^2}{L}$$

$$\text{Ordnung der Reibungsterme : } \nu \frac{\partial^2 u}{\partial y^2} \sim \nu \frac{u_\infty}{\tilde{\delta}^2}$$

Annahme : Übereinstimmung der Ordnung

$$\Rightarrow \tilde{\delta} \sim \sqrt{\frac{\nu L}{u_\infty}}$$

Vereinfachung der Bewegungsgleichungen in der Grenzschicht

es ist : $\frac{\partial}{\partial x} \ll \frac{\partial}{\partial y}$, $\frac{\partial^2}{\partial x^2} \ll \frac{\partial^2}{\partial y^2}$

Referenzgrößen :

Längen : L in x - , $\tilde{\delta} \ll L$ in y - Richtung

Druck : ρu_∞^2

Geschw. : u_∞ in x - , $\frac{u_\infty \tilde{\delta}}{L}$ in y -Richtung

$$\bar{x} = \frac{x}{L} \quad \bar{y} = \frac{y}{\tilde{\delta}}$$

$$\bar{u} = \frac{u}{u_\infty} \quad \bar{v} = \frac{v}{\tilde{\delta} u_\infty / L} = \frac{v}{u_\infty} \sqrt{\text{Re}} \quad \bar{p} = \frac{p}{\rho u_\infty^2}$$

man erhält :

$$\bar{u} \frac{\partial \bar{u}}{\partial \bar{x}} + \bar{v} \frac{\partial \bar{u}}{\partial \bar{y}} = - \frac{\partial \bar{p}}{\partial \bar{x}} + \frac{1}{\text{Re}} \frac{\partial^2 \bar{u}}{\partial \bar{x}^2} + \frac{\partial^2 \bar{u}}{\partial \bar{y}^2}$$

$$\frac{1}{\text{Re}} \left(\bar{u} \frac{\partial \bar{v}}{\partial \bar{x}} + \bar{v} \frac{\partial \bar{v}}{\partial \bar{y}} \right) = - \frac{\partial \bar{p}}{\partial \bar{y}} + \frac{1}{\text{Re}^2} \frac{\partial^2 \bar{v}}{\partial \bar{x}^2} + \frac{1}{\text{Re}} \frac{\partial^2 \bar{v}}{\partial \bar{y}^2}$$

$$\frac{\partial \bar{u}}{\partial \bar{x}} + \frac{\partial \bar{v}}{\partial \bar{y}} = 0$$

wobei : $Re = u_\infty \frac{L}{\nu}$

dimensionslose Variable und die Differentiale von Ordnung 1

$\Rightarrow Re \rightarrow \infty$

$$\bar{u} \frac{\partial \bar{u}}{\partial \bar{x}} + \bar{v} \frac{\partial \bar{u}}{\partial \bar{y}} = -\frac{\partial \bar{p}}{\partial \bar{x}} + \frac{\partial^2 \bar{u}}{\partial \bar{y}^2}$$

$$0 = -\frac{\partial \bar{p}}{\partial \bar{y}}$$

$$\frac{\partial \bar{u}}{\partial \bar{x}} + \frac{\partial \bar{v}}{\partial \bar{y}} = 0$$

bzw. in dimensionsbehafteter Form

$$u \frac{\partial u}{\partial x} + v \frac{\partial u}{\partial y} = -\frac{1}{\rho} \frac{\partial p}{\partial x} + \nu \frac{\partial^2 u}{\partial y^2}$$
$$0 = -\frac{\partial p}{\partial y}$$
$$\frac{\partial u}{\partial x} + \frac{\partial v}{\partial y} = 0$$

$$\frac{\partial p}{\partial y} = 0 \Rightarrow p_{wand} = p_{\tilde{\delta}}$$

Druckverteilung aus Euler Glg.

$$U \frac{dU}{dx} = -\frac{1}{\rho} \frac{dp}{dx}$$

oder Bernoulli Glg.

$$p + \frac{\rho}{2} U^2 = \text{konst.}$$

U : Geschwindigkeit bei $\tilde{\delta}$

Anfangs- und Randbedingungen : $u(x,0) = 0, \quad v(x,0) = 0$
 $u(x,\infty) = U(x) \quad u(x_0, y) = u_0(y)$

2D stationäre kompressible Strömungen

$$\frac{\partial}{\partial x}(\rho u) + \frac{\partial}{\partial y}(\rho v) = 0$$

$$\rho u \frac{\partial u}{\partial x} + \rho v \frac{\partial u}{\partial y} = -\frac{\partial p}{\partial x} + \frac{\partial}{\partial y} \left(\eta \frac{\partial u}{\partial y} \right)$$

$$\rho c_p u \frac{\partial T}{\partial x} + \rho c_p v \frac{\partial T}{\partial y} = u \frac{\partial p}{\partial x} + \frac{\partial}{\partial y} \left(\lambda \frac{\partial T}{\partial y} \right) + \eta \left(\frac{\partial u}{\partial y} \right)^2$$

bekannt : $c_p(T), \eta(T), \lambda(T), \frac{\partial p}{\partial x}$

Anfangs- und Randbedingungen :

$$u(x,0) = v(x,0) = 0$$

$$T(x,0) = T_w(x) \quad \text{oder}$$

$$\left. \frac{\partial T}{\partial y} \right|_{y=0} = 0$$

$$u(x, \infty) = U(x), \quad T(x, \infty) = T_i(x)$$

$$u(x_0, y) = u_0(y)$$

$$T(x_0, y) = T_0(y)$$

Gültigkeit der Grenzschichtvereinfachung

$$Re \gg 1$$

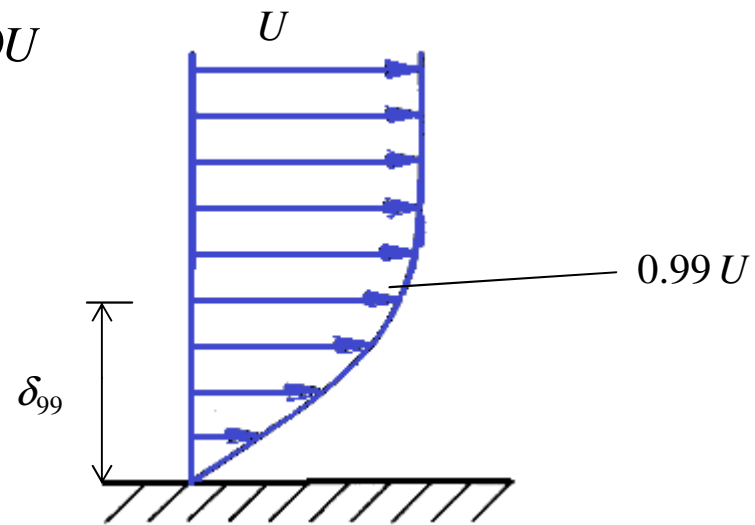
$$R \gg \tilde{\delta}$$

Grenzschichtgrößen

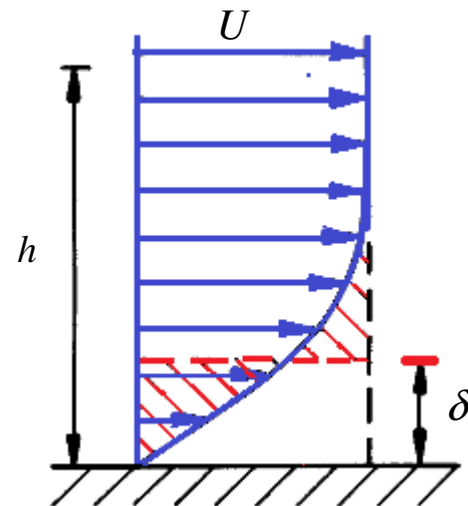
Definition der Grenzschichtdicke (3 übliche Maße)

0,99 U – Dicke

$\delta = \delta_{99}$, wobei $u(x, y = \delta_{99}) = 0.99U$



Verdrängungsdicke : δ_1



Aufdickung einer angenommen reibungsfreien Strömung um δ_1 , wobei $\dot{Q}_i = \dot{Q}_v$

$h \gg \delta$, es gilt

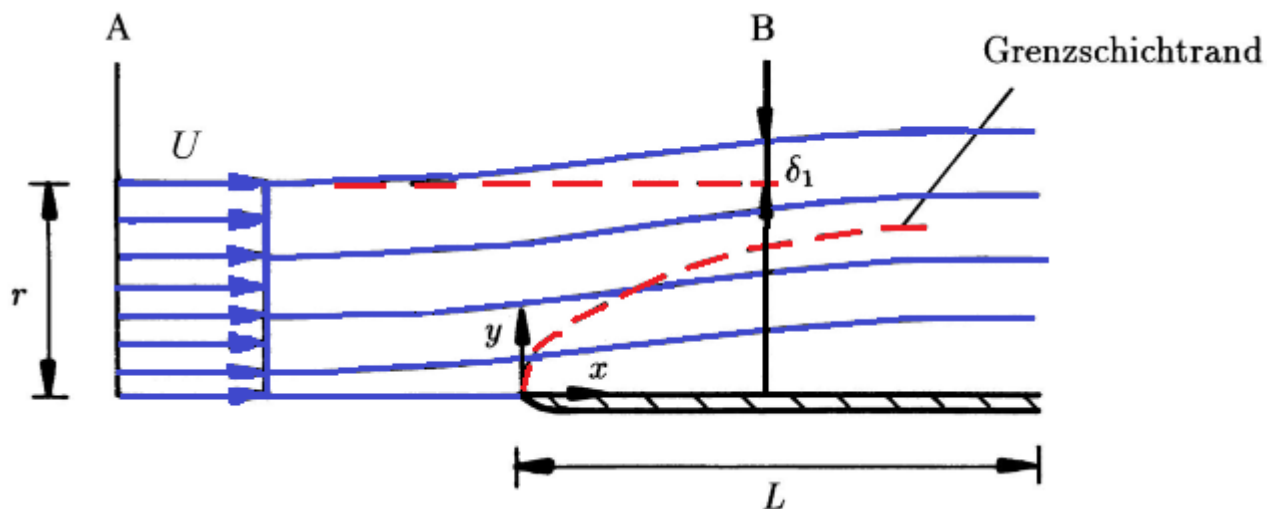
$$\underbrace{\int_0^h u dy}_{\dot{Q}_v} = U \underbrace{(h - \delta_1)}_{\dot{Q}_i}$$

$$h \rightarrow \infty \quad \Rightarrow \quad \delta_1 = \int_0^\infty \left(1 - \frac{u}{U}\right) dy$$

für $\frac{dp}{dx}$ ist δ_1 entscheidend

weitere Interpretation von : δ_1

δ_1 ist der Abstand, um den die Stromlinien bei $y > \delta$ abgedrängt werden.



\dot{Q} in A und B:

$$Ur = \int_0^{r+\delta_1} u \, dy = \int_0^r \underline{\underline{u \, dy}} + U\delta_1$$

$$\Rightarrow U\delta_1 = \int_0^r (U - u) \, dy$$

$$r \rightarrow \infty : \quad \delta_1 = \int_0^{\infty} \left(1 - \frac{u}{U}\right) \, dy$$

Impulsverlustdicke δ_2

δ_2 ist die Dicke, so dass $\rho U^2 \delta_2$ den Impulsverlust durch die Grenzschicht dargestellt

mit obiger Abbildung: $I_{vb} \equiv$ Impulsfluss/Einheitsbreite

Schnitt A: $I_{vb,A} = \rho U^2 r$

Schnitt B: $I_{vb,B} = \int_0^{r+\delta_1} \rho u^2 \, dy = \int_0^r \rho u^2 \, dy + \rho U^2 \delta_1$

$$\delta_2 \text{ aus } I_{vb,A} - I_{vb,B}$$

$$\rho U^2 r - \int_0^r \rho u^2 dy - \rho U^2 \delta_1 \equiv \rho U^2 \delta_2$$

$$\int_0^r (U^2 - u^2) dy - U^2 \int_0^r \left(1 - \frac{u}{U}\right) dy = U^2 \delta_2$$

$$\Rightarrow r \rightarrow \infty \quad \boxed{\delta_2 = \int_0^{\infty} \frac{u}{U} \left(1 - \frac{u}{U}\right) dy}$$

$$\delta_2 < \delta_1$$

von Kármánsche Integralbeziehung

exakte Lösungen der Grenzschichtgleichungen selten, Näherungsverfahren auf der Basis eines Integrals (von Kármán 1921) gesucht

$$\int_0^h \left(u \frac{\partial u}{\partial x} + \nu \frac{\partial u}{\partial y} \right) dy = \int_0^h \left(U \frac{dU}{dx} + \nu \frac{\partial^2 u}{\partial y^2} \right) dy$$

mit $h > \delta$

Umformung der x-Impulsgleichung mittels $\pm u \frac{dU}{dx}$ und $v \frac{\partial U}{\partial y}$

$$\underbrace{(U-u) \frac{dU}{dx}}_{\text{I}} + \underbrace{u \frac{\partial(U-u)}{\partial x}}_{\text{II}} + \underbrace{v \frac{\partial(U-u)}{\partial y}}_{\text{III}} = - \underbrace{v \frac{\partial^2 u}{\partial y^2}}_{\text{IV}}$$

I:

$$\int_0^h (U-u) \frac{dU}{dx} dy = U \frac{dU}{dx} \int_0^h \left(1 - \frac{u}{U}\right) dy = U \delta_1 \frac{dU}{dx}$$

III:

$$\int_0^h v \frac{\partial(U-u)}{\partial y} dy = v(U-u) \Big|_0^h - \int_0^h (U-u) \frac{\partial v}{\partial y} dy = \int_0^h \frac{\partial u}{\partial x} (U-u) dy$$

III'

IV: Schubspannung auf der Wand

$$\tau_0 = \eta \frac{\partial u}{\partial y} \Big|_{y=0}$$

$$-\frac{\eta}{\rho} \int_0^h \frac{\partial^2 u}{\partial y^2} dy = -\frac{1}{\rho} \int_0^h \frac{\partial}{\partial y} \left(\eta \frac{\partial u}{\partial y} \right) dy = \frac{\tau_0}{\rho}$$

II, III' :

$$\frac{\partial}{\partial x} [u(U-u)] = u \frac{\partial(U-u)}{\partial x} + (U-u) \frac{\partial u}{\partial x}$$

$$\int_0^h \left(u \frac{\partial(U-u)}{\partial x} + \frac{\partial u}{\partial x} (U-u) \right) dy =$$

$$\int_0^h \frac{\partial}{\partial x} [u(U-u)] dy = \frac{d}{dx} U^2 \int_0^h \frac{u}{U} \left(1 - \frac{u}{U} \right) dy = \frac{d}{dx} (U^2 \delta_2)$$

Zusammenfassung :

von Kármánsche Integralbeziehung

$$\frac{d}{dx} (U^2 \delta_2) + \delta_1 U \frac{dU}{dx} = \frac{\tau_0}{\rho}$$

bzw.

$$\frac{d\delta_2}{dx} + \frac{1}{U} \frac{dU}{dx} (2\delta_2 + \delta_1) = \frac{\tau_0}{\rho U^2}$$

Annahme : Geschwindigkeitsprofil

$$\Rightarrow \delta = f(x) \text{ und } \tau_0 = g(x)$$

Beispiel : längsangeströmte ebene Platte

$$\frac{dU}{dx} = 0$$

$$\frac{d}{dx} \int_0^{\delta} (U - u)u \, dy = \frac{\tau_0}{\rho}$$

Geschwindigkeitsprofil :

$$\frac{u}{U} = a + b \frac{y}{\delta} + c \frac{y^2}{\delta^2} + d \frac{y^3}{\delta^3}$$

Randbedingungen :

$$y = 0 \quad u = 0 \quad , \quad \frac{\partial^2 u}{\partial y^2} = 0 \quad 1)$$

$$y \rightarrow \delta \quad u = U \quad , \quad \frac{\partial u}{\partial y} = 0 \quad 2)$$

aus 1) folgt : $a = c = 0$

aus 2) folgt : $b = 3/2 ; d = - 1/2$

$$\frac{u}{U} = \frac{3}{2} \frac{y}{\delta} - \frac{1}{2} \left(\frac{y}{\delta} \right)^3 \quad \text{mit } \delta = \delta(x)$$

$$U^2 \int_0^h \frac{u}{U} \left(1 - \frac{u}{U} \right) dy = \frac{39}{280} U^2 \delta$$

und :

$$\frac{\tau_0}{\rho} = \nu \left(\frac{\partial u}{\partial y} \right)_{y=0} = \frac{3}{2} \nu \frac{U}{\delta}$$

\Rightarrow von Kármán Beziehung für die ebene Platte

$$\frac{39}{280} \frac{d}{dx} (U^2 \delta) = \frac{39}{280} U^2 \frac{d\delta}{dx} = \frac{3}{2} \nu \frac{U}{\delta}$$

Integration in x-Richtung mit $\delta = 0$ bei $x = 0$

$$\delta = 4.64 \sqrt{\nu x / U}$$

$$\delta_{lam} \sim \sqrt{x}$$

Reibungsbeiwert : $c_f = \frac{\tau_0}{\frac{\rho}{2} U^2}$

$$c_f = \frac{\tau_0}{\frac{\rho}{2} U^2} = \frac{\frac{3}{2} U \nu / \delta}{\frac{1}{2} U^2} = \frac{0.646}{\sqrt{\text{Re}_x}}$$

$$c_{f, \text{lam}} \sim x^{-\frac{1}{2}}$$

Ähnliche Lösung der Grenzschichtströmung der ebenen Platte (Blasius Lösung)

Vernachlässigung der Verdrängung

$$\rightarrow U = \text{konst} \quad \rightarrow \frac{dp}{dx} = 0$$

→ kein Längenmaß

Vorstellung : Lösung ist „ähnlich“

$$\frac{u}{U} = g(\bar{\eta})$$

wobei

$$\bar{\eta} = \frac{y}{\delta(x)} \quad (\text{Ansatz von Blasius})$$

Ausgangsgleichungen und Randbedingungen

$$u \frac{\partial u}{\partial x} + v \frac{\partial u}{\partial y} = \nu \frac{\partial^2 u}{\partial y^2}$$

$$\frac{\partial u}{\partial x} + \frac{\partial v}{\partial y} = 0$$

$$x = 0, y \quad u(y) = U$$

$$0 \leq x \leq L, y = 0 \quad u = v = 0$$

$$0 \leq x \leq L, \frac{y}{\delta} \rightarrow \infty \quad u \rightarrow U$$

Kontinuitätsgleichungen via Stromfunktion ψ

$$u = \frac{\partial \psi}{\partial y} \quad v = -\frac{\partial \psi}{\partial x}$$

$$\psi = \int_0^h u \, dy = \delta \int_0^{\bar{\eta}} u \, d\bar{\eta}$$

$$= \delta \int_0^{\bar{\eta}} U \, g(\bar{\eta}) \, d\bar{\eta} = \delta U \, f(\bar{\eta}), \quad \text{so dass} \quad g(\bar{\eta}) \equiv \frac{df}{d\bar{\eta}}$$

Stromfunktion ψ in Impulsgleichungen einführen

$$\frac{\partial \psi}{\partial y} \frac{\partial^2 \psi}{\partial x \partial y} - \frac{\partial \psi}{\partial x} \frac{\partial^2 \psi}{\partial y^2} = \nu \frac{\partial^3 \psi}{\partial y^3}$$

$$x = 0 \quad \frac{\partial \psi}{\partial y} = U$$

$$y = 0 \quad \frac{\partial \psi}{\partial y} = \psi = 0$$

$$\frac{y}{\delta} \rightarrow \infty \quad \frac{\partial \psi}{\partial y} \rightarrow U$$

Rückführung auf $f(\bar{\eta}) = \frac{\psi}{\delta U}$

$$\frac{\partial \psi}{\partial x} = U \left[f \frac{d\delta}{dx} + \delta \frac{\partial f}{\partial x} \right] = U \frac{d\delta}{dx} \underline{\underline{[f - f' \bar{\eta}]}}$$

$$\frac{\partial^2 \psi}{\partial x \partial y} = U \frac{d\delta}{dx} \frac{\partial}{\partial y} [f - f' \bar{\eta}] = \underline{\underline{-\frac{U \bar{\eta} f''}{\delta} \frac{d\delta}{dx}}}$$

$$\frac{\partial \psi}{\partial y} = \underline{\underline{U f'}}, \quad \frac{\partial^2 \psi}{\partial y^2} = \underline{\underline{\frac{U f''}{\delta}}}, \quad \frac{\partial^3 \psi}{\partial y^3} = \underline{\underline{\frac{U f'''}{\delta^2}}}$$

mit

$$\frac{\partial f}{\partial x} = \frac{df}{d\bar{\eta}} \frac{\partial \bar{\eta}}{\partial x} = -f' \frac{\bar{\eta}}{\delta} \frac{d\delta}{dx}$$

$$\frac{\partial f}{\partial y} = \frac{df}{d\bar{\eta}} \frac{\partial \bar{\eta}}{\partial y} = f' \frac{1}{\delta}$$

$$\frac{\partial}{\partial y} (f' \bar{\eta}) = \bar{\eta} f'' \frac{1}{\delta} + f' \frac{1}{\delta}$$

die Impulsgleichung lautet

$$-U^2 f' f'' \frac{\bar{\eta}}{\delta} \frac{d\delta}{dx} - U^2 \frac{f''}{\delta} \frac{d\delta}{dx} [f - f' \bar{\eta}] = \nu \frac{U f'''}{\delta^2} \quad \Rightarrow \quad - \left(\frac{U \delta}{\nu} \frac{d\delta}{dx} \right) f' f'' = f'''$$

da $f(\bar{\eta})$ folgt

$$\frac{U \delta}{\nu} \frac{d\delta}{dx} = \text{konstant} = \frac{1}{2} \quad (\text{gewählt})$$

$$\Rightarrow \delta = \sqrt{\frac{\nu x}{U}}$$

Somit gilt

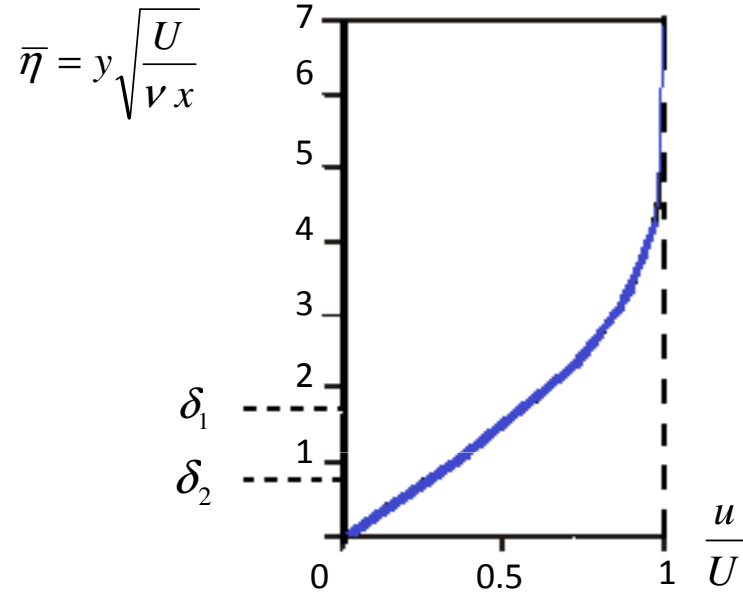
$$\frac{1}{2} f' f'' + f''' = 0$$

Randbedingungen : $f(0) = f'(0) = 0$

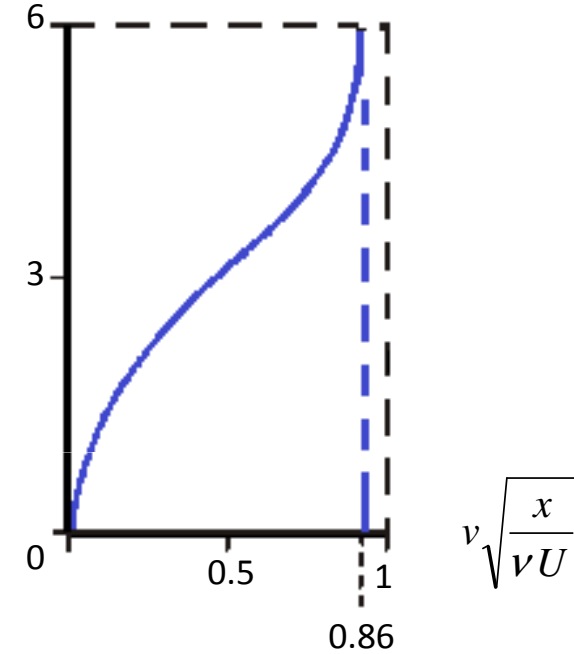
$$f'(\infty) = 1$$

Blasius 1908 über Reihenentwicklung gelöst.

$\frac{u}{U} = f'(\bar{\eta})$: Geschwindigkeitsprofil für sämtliche Schnitte



$$\bar{\eta} = y \sqrt{\frac{U}{\nu x}}$$



$$\begin{aligned} v = -\frac{\partial \psi}{\partial x} &= -U \frac{d\delta}{dx} [f - f'\bar{\eta}] & \frac{d\delta}{dx} &= \frac{1}{2} \sqrt{\frac{\nu}{xU}} \\ &= \frac{1}{2} \sqrt{\frac{\nu U}{x}} [\bar{\eta} f' - f] \end{aligned}$$

$$u = 0,99U \quad \text{bei} \quad \xi = 4.9$$

$$\Rightarrow \delta_{99} = 4.9 \sqrt{\frac{\nu x}{U}} \quad \text{bzw.} \quad \frac{\delta_{99}}{x} = \frac{4.9}{\sqrt{\frac{Ux}{\nu}}} = \frac{4.9}{\sqrt{\text{Re}_x}} \quad \Rightarrow \delta \sim \sqrt{x}$$

$$U = 1 \frac{\text{m}}{\text{s}} \quad \rightarrow \quad \text{Re}_{x=1\text{m}} = 6 \times 10^4 \quad \Rightarrow \quad \delta_{99} = 2\text{cm}$$

$$\delta_1 = \int_0^{\infty} \left(1 - \frac{u}{U}\right) dy \quad \delta_1 = 1.72 \sqrt{\frac{\nu x}{U}}, \quad \delta_2 = 0.664 \sqrt{\frac{\nu x}{U}}$$

$$\tau_0 = \eta \left. \frac{\partial u}{\partial y} \right|_{y=0} = \eta \left. \frac{\partial^2 \psi}{\partial y^2} \right|_{y=0} = \eta \frac{U f''(0)}{\delta}$$

$$\tau_0 = \frac{0.332 \rho U^2}{\sqrt{\text{Re}_x}} \quad \Rightarrow \quad \tau_0 \sim \frac{1}{\sqrt{x}}$$

Achtung : $x \rightarrow 0 \quad \tau_0 \rightarrow \infty; \quad \frac{\partial}{\partial x} \ll \frac{\partial}{\partial y}$ nicht mehr erfüllt!

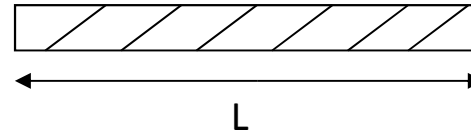
lokaler Reibungsbeiwert

$$c_f = \frac{\tau_0}{\frac{1}{2}\rho U^2} = \frac{0.664}{\sqrt{\text{Re}_x}}$$

Reibungskraft auf einer Seite der Platte

$$D = \int_0^L \tau_0 dx = \frac{0.664 \rho U^2 L}{\sqrt{\text{Re}_L}}$$

$$D_{lam} \sim U^{3/2}$$



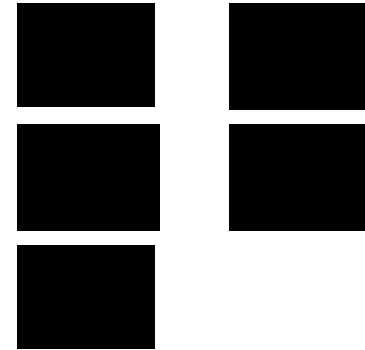
Reibungsbeiwert c_D

$$c_D = \frac{D}{\frac{1}{2}\rho U^2 L} = \frac{1.33}{\sqrt{\text{Re}_L}}$$

wobei

$$c_D = \frac{1}{L} \int_0^L c_f dx$$

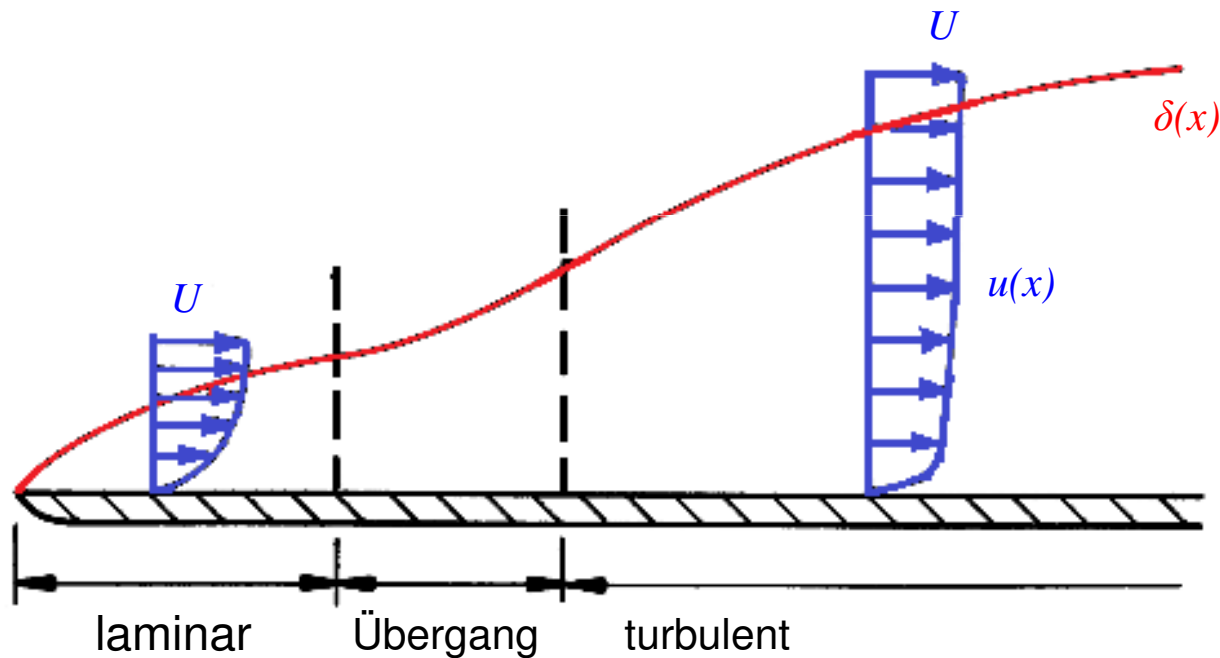
Turbulente Grenzschichten



Vgl. Blasius-Experiment bis $x \leq x_{kr}$ bzw. $Re_x \leq Re_{kr}$ OK !

$Re_x > Re_{kr}$ Übergang laminar \rightarrow turbulent

$Re_{x_{kr}} = f$ (Oberfläche, Geometrie der Vorderkante; U' , V' ; etc.)



längsangeströmte ebene Platte : $Re_{kr} \approx 5 \cdot 10^5$

laminare Grenzschicht : $\delta \sim x^{1/2}$
 $\tau_0 \sim U^{3/2}$

turbulente Grenzschicht : $\delta \sim x^{4/5}$
 $\tau_0 \sim U^{7/4}$

Grenzschichtgleichungen der turbulenten Strömung

Erhaltungsgleichungen gültig für laminare und turbulente Strömungen ;

jedoch : Auflösung aller Skalen „unmöglich“

⇒ Strömung wird durch gemittelte Größen beschrieben

⇒ Reynolds Mittelung

hier : zeitliche Mittelung

Zerlegung nach Reynolds (siehe turbulente Rohrströmung)

$$f = \bar{f} + f'$$

mit

$$\bar{f} = \frac{1}{T} \int_t^{t+T} f(x, y, z, t) dt \quad \text{zeitlicher Mittelwert}$$

f' : Schwankungsanteil

Erhaltungsgleichungen in Divergenzform für inkompressibles Fluid

$$\frac{\partial u}{\partial x} + \frac{\partial v}{\partial y} + \frac{\partial w}{\partial z} = 0$$

$$\frac{\partial(\rho u)}{\partial t} + \frac{\partial(\rho u^2)}{\partial x} + \frac{\partial(\rho uv)}{\partial y} + \frac{\partial(\rho uw)}{\partial z} = -\frac{\partial p}{\partial x} + \eta \nabla^2 u$$

$$\frac{\partial(\rho v)}{\partial t} + \frac{\partial(\rho uv)}{\partial x} + \frac{\partial(\rho v^2)}{\partial y} + \frac{\partial(\rho vw)}{\partial z} = -\frac{\partial p}{\partial y} + \eta \nabla^2 v$$

$$\frac{\partial(\rho w)}{\partial t} + \frac{\partial(\rho uw)}{\partial x} + \frac{\partial(\rho vw)}{\partial y} + \frac{\partial(\rho w^2)}{\partial z} = -\frac{\partial p}{\partial z} + \eta \nabla^2 w$$

Kontinuitätsgleichung :

$$\begin{aligned} \frac{\partial}{\partial x} (\overline{u + u'}) + \frac{\partial}{\partial y} (\overline{v + v'}) + \frac{\partial}{\partial z} (\overline{w + w'}) &= \\ \frac{\partial \overline{u}}{\partial x} + \frac{\partial \overline{v}}{\partial y} + \frac{\partial \overline{w}}{\partial z} + \frac{\partial \overline{u'}}{\partial x} + \frac{\partial \overline{v'}}{\partial y} + \frac{\partial \overline{w'}}{\partial z} &= \\ \frac{\partial \overline{u}}{\partial x} + \frac{\partial \overline{v}}{\partial y} + \frac{\partial \overline{w}}{\partial z} &= 0 \end{aligned}$$

x-Impulsgleichung :

$$\begin{aligned} \frac{\partial}{\partial t} [\rho(\overline{u + u'})] + \frac{\partial}{\partial x} [\rho(\overline{u + u'})^2] + \frac{\partial}{\partial y} [\rho(\overline{u + u'})(\overline{v + v'})] + \frac{\partial}{\partial z} [\rho(\overline{u + u'})(\overline{w + w'})] \\ = -\frac{\partial}{\partial x} (\overline{p + p'}) + \eta \nabla^2 (\overline{u + u'}) \\ \frac{\partial \rho \overline{u}}{\partial t} + \frac{\partial}{\partial x} [\rho(\overline{u^2} + \underline{\overline{u'^2}})] + \frac{\partial}{\partial y} [\rho(\overline{uv} + \underline{\overline{u'v'}})] + \frac{\partial}{\partial z} [\rho(\overline{uw} + \underline{\overline{u'w'}})] \\ = -\frac{\partial \overline{p}}{\partial x} + \eta \nabla^2 \overline{u} \end{aligned}$$

denn :

$$\frac{\partial}{\partial x} (\rho 2\bar{u}u'), \quad \frac{\partial}{\partial y} [\rho(\bar{u}v' + u'\bar{v})], \quad \frac{\partial}{\partial z} [\rho(\bar{u}w' + u'\bar{w})], \quad \frac{\partial \bar{p}'}{\partial x}, \nabla^2 \bar{u}' \rightarrow 0$$

y-Impuls , z-Impuls ebenso \Rightarrow

$$\frac{\partial \bar{u}}{\partial x} + \frac{\partial \bar{v}}{\partial y} + \frac{\partial \bar{w}}{\partial z} = 0$$

$$\rho \left(\bar{u} \frac{\partial \bar{u}}{\partial x} + \bar{v} \frac{\partial \bar{u}}{\partial y} + \bar{w} \frac{\partial \bar{u}}{\partial z} \right) = -\frac{\partial \bar{p}}{\partial x} + \eta \nabla^2 \bar{u} - \rho \left[\frac{\partial \bar{u}'^2}{\partial x} + \frac{\partial \bar{u}'v'}{\partial y} + \frac{\partial \bar{u}'w'}{\partial z} \right]$$

$$\rho \left(\bar{u} \frac{\partial \bar{v}}{\partial x} + \bar{v} \frac{\partial \bar{v}}{\partial y} + \bar{w} \frac{\partial \bar{v}}{\partial z} \right) = -\frac{\partial \bar{p}}{\partial y} + \eta \nabla^2 \bar{v} - \rho \left[\frac{\partial \bar{u}'v'}{\partial x} + \frac{\partial \bar{v}'^2}{\partial y} + \frac{\partial \bar{v}'w'}{\partial z} \right]$$

$$\rho \left(\bar{u} \frac{\partial \bar{w}}{\partial x} + \bar{v} \frac{\partial \bar{w}}{\partial y} + \bar{w} \frac{\partial \bar{w}}{\partial z} \right) = -\frac{\partial \bar{p}}{\partial z} + \eta \nabla^2 \bar{w} - \rho \left[\frac{\partial \bar{u}'w'}{\partial x} + \frac{\partial \bar{v}'w'}{\partial y} + \frac{\partial \bar{w}'^2}{\partial z} \right]$$

die gemittelten Produkte der turbulenten Schwankungsgrößen ergeben den **turbulenten** oder **Reynoldsschen Spannungstensor**.

$$\begin{pmatrix} \sigma'_{xx} & \tau'_{xy} & \tau'_{xz} \\ \tau'_{xy} & \sigma'_{yy} & \tau'_{yz} \\ \tau'_{xz} & \tau'_{yz} & \sigma'_{zz} \end{pmatrix} = -\rho \begin{pmatrix} \overline{u'^2} & \overline{u'v'} & \overline{u'w'} \\ \overline{u'v'} & \overline{v'^2} & \overline{v'w'} \\ \overline{u'w'} & \overline{v'w'} & \overline{w'^2} \end{pmatrix}$$

$-\rho \overline{f'g'}$: Reynolds- oder scheinbare Spannungen

turbulente Strömung :

Gesamtspannung = visk. Spannung + turbulente Spannung

i. a. gilt : turbulente Spannung \gg visk. Spannung

Vereinfachung obiger Erhaltungsgleichungen mittels

- ebene Strömung $\quad \bar{w} = 0, \quad \frac{\partial}{\partial z} \rightarrow 0$

- Grenzschichtannahme $\quad \frac{\partial}{\partial x} \ll \frac{\partial}{\partial y}$

$$\frac{\partial \bar{u}}{\partial x} + \frac{\partial \bar{v}}{\partial y} = 0$$

$$\bar{u} \frac{\partial \bar{u}}{\partial x} + \bar{v} \frac{\partial \bar{u}}{\partial y} = -\frac{1}{\rho} \frac{\partial \bar{p}}{\partial x} + \frac{\partial}{\partial y} \left[\nu \frac{\partial \bar{u}}{\partial y} - \overline{u'v'} \right]$$

Grenzschichtgleichungen turbulenter Strömungen

zusätzlicher Term : $-\rho \overline{u'v'}$

Randbedingungen analog zur laminaren Strömung

Schließung des Gleichgewichtssystems durch die Prandtlsche Mischungsweghypothese

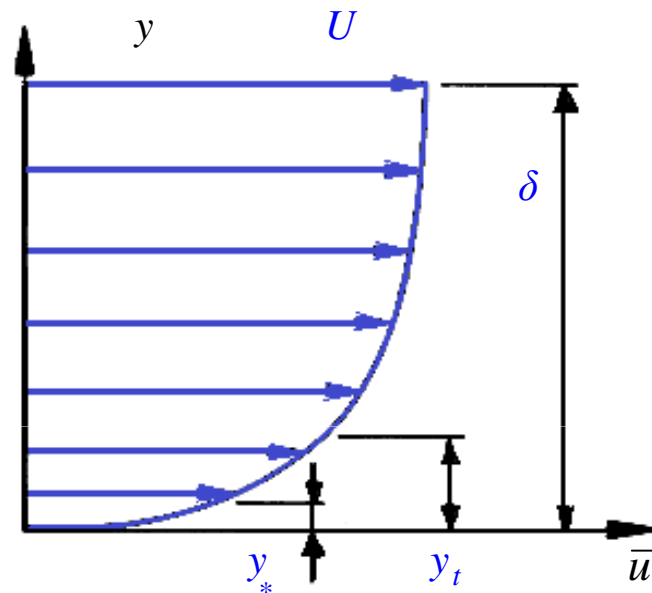
$$\tau_t = -\rho \overline{u'v'} = \rho l^2 \left| \frac{d\bar{u}}{dy} \right| \frac{d\bar{u}}{dy} = \eta_t \frac{d\bar{u}}{dy}$$

$l = f$ (charakteristische Länge)

Turbulente Plattengrenzschicht

Annahme : Grenzschicht ist turbulent ab $x = 0$

$u(y)_{GS}$ vergleichbar mit $u(y)_{Rohr}$



zähe Unterschicht $y < y_*$

$$\frac{\bar{u}}{u_*} = \frac{u_* y}{\nu} \text{ mit } u_* = \sqrt{\frac{\tau_w}{\rho}}$$

log. Schicht $y_* < y$

$$\frac{\bar{u}}{u_*} = 2.5 \ln \frac{y u_*}{\nu} + C$$

univers. Wandgesetz

Achtung : das universelle Wandgesetz gilt nicht in Wandnähe $y < y_*$

äußerer Grenzschichtbereich

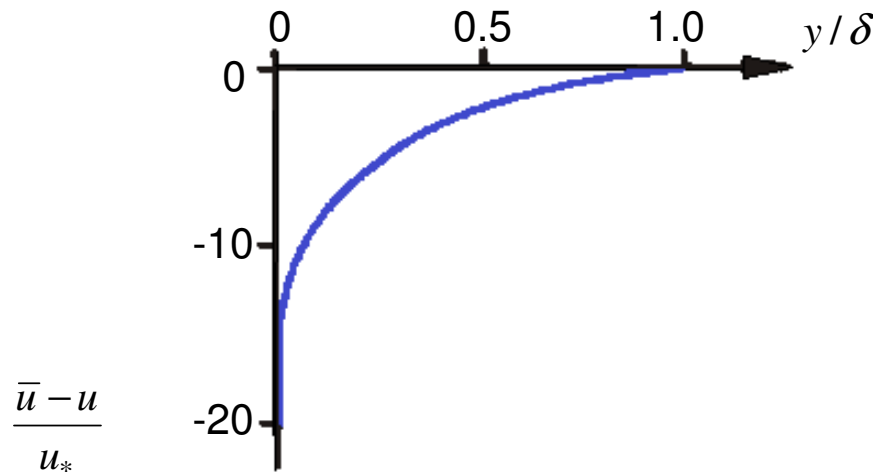
$y_* \ll y \leq \delta$ Abnahme der turbulenten Spannungen

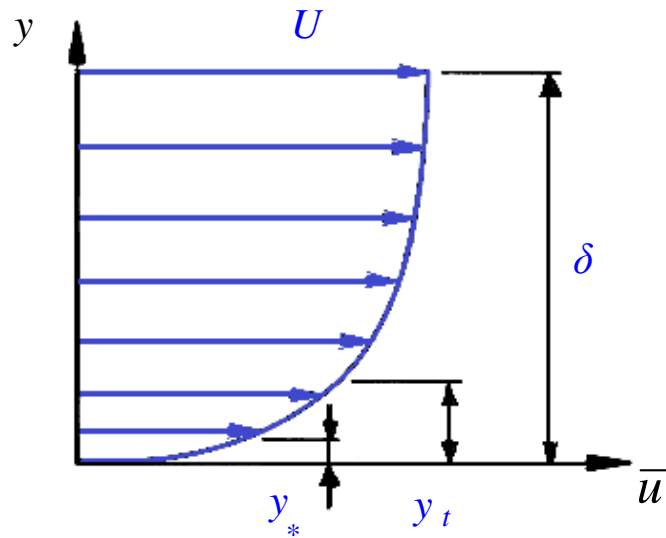
$$U - \bar{u} \sim \tau_w \text{ bzw. } u_* \Rightarrow$$

$$\frac{U - \bar{u}}{u_*} = f\left(\frac{y}{\delta}\right)$$

$f\left(\frac{y}{\delta}\right) : ?$ Annahme : universelles Wandgesetz gilt im Außenbereich

nach Prandtl : $f\left(\frac{y}{\delta}\right) = \frac{1}{k} \ln \frac{y}{\delta}$



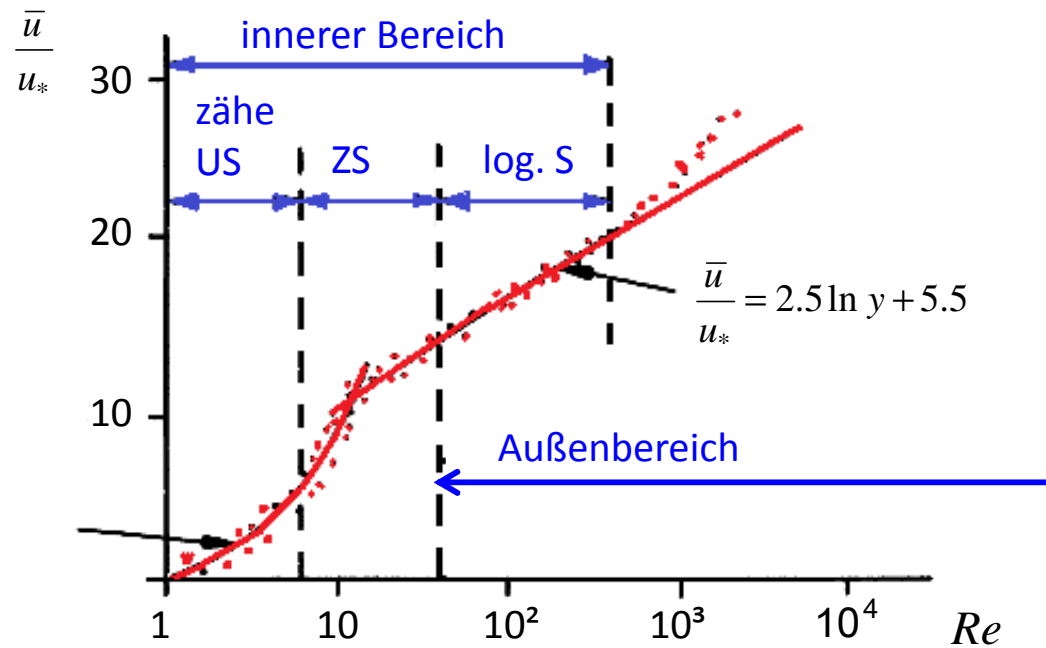


Zusammenfassung :

$0 \leq y \leq y_*$ zähe Unterschicht

$y_* < y < y_t$ Übergangsschicht

$y_t \leq y \leq \delta$ Außenbereich



Herleitung des logarithmischen Gesetzes mittels Dimensionsbetrachtungen

- Geschwindigkeitsprofil in Wandnähe

$$\bar{u} = \bar{u}(u_*, y, \nu)$$

π – Theorem : 4 Var. , 2 Ref. dim.

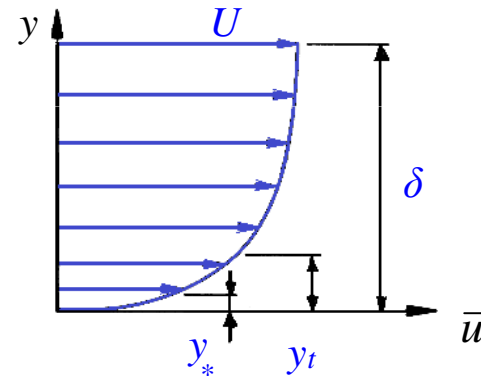
$$\Rightarrow \frac{\bar{u}}{u_*} = f\left(\frac{u_* y}{\nu}\right) = f(y^+)$$

zähe Unterschicht :

$$\tau_w = \eta \frac{d\bar{u}}{dy}$$

$$\bar{u} = \frac{y\tau_w}{\eta} = \frac{y\rho u_*^2}{\eta}$$

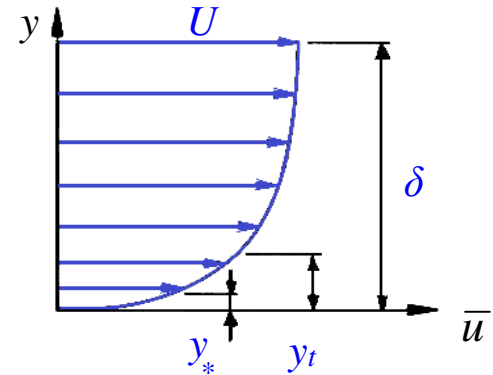
$$\frac{\bar{u}}{u_*} = \frac{y u_*}{\nu} = y_+$$



Außenbereich :

$$\bar{u} - U \sim u_*$$

$$\frac{\bar{u} - U}{u_*} = g\left(\frac{y}{\delta}\right) = g(\zeta)$$

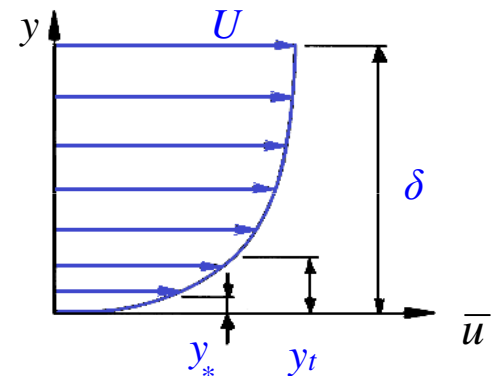


Gebiet zwischen Innen- und Außenbereich :

$$\frac{d\bar{u}}{dy} \text{ für } y_+ \rightarrow \infty$$

$$\zeta \rightarrow 0$$

$$\Rightarrow f(y_+) \text{ und } g(\zeta)$$



Innenbereich :

$$\frac{d\bar{u}}{dy} = u_* \frac{dy_+}{dy} \frac{df}{dy_+} = \frac{u_*^2}{\nu} \frac{df}{dy_+}$$

Außenbereich :

$$\frac{d\bar{u}}{dy} = u_* \frac{dg}{d(y/\delta)} \frac{d(y/\delta)}{dy} = \frac{u_*}{\delta} \frac{dg}{d(y/\delta)}$$

$$\left. \frac{d\bar{u}}{dy} \right|_{\text{Innen}} = \left. \frac{d\bar{u}}{dy} \right|_{\text{Außen}}$$

$$\frac{u_*^2}{\nu} \frac{df}{dy_+} = \frac{u_*}{\delta} \frac{dg}{d\zeta} \quad \left| \cdot \frac{y}{u_*} \right.$$

$$y_+ \frac{df}{dy_+} = h(y_+) = \zeta \frac{dg}{d\zeta} = r(\zeta)$$



$$\Rightarrow f(y^+) = \frac{1}{k} \ln y_+ + \alpha$$

$$g(y/\delta) = \frac{1}{k} \ln(y/\delta) + \beta$$

Experiment : $k = 0.4$, $\alpha = 5.5$, $\beta = -1.0$

$$y_+ \text{ groß} : \frac{\bar{u}}{u_*} = 2.5 \ln y + 5.5 \quad (\text{log. Gesetz})$$

$$\zeta = \frac{y}{\delta} \text{ klein} : \frac{\bar{u} - U}{u_*} = 2.5 \ln\left(\frac{y}{\delta}\right) - 1.0 \quad (\text{Defektverteilung})$$

Näherung von $\bar{u}(y)$ mittels

$$\frac{\bar{u}}{U} = \left(\frac{y}{\delta}\right)^{1/n}$$

Vgl. mit Experiment $\rightarrow n = 7 \quad \Rightarrow$

Verdrängungsdicke δ_1

$$\delta_1 = \delta \int_0^1 \left(1 - \frac{\bar{u}}{U}\right) d\left(\frac{y}{\delta}\right) = \frac{\delta}{8}$$

Impulsverlustdicke δ_2

$$\delta_2 = \delta \int_0^1 \frac{\bar{u}}{U} \left(1 - \frac{\bar{u}}{U}\right) d\left(\frac{y}{\delta}\right) = \frac{7}{72} \delta$$

! $\frac{\bar{u}}{U} = \left(\frac{y}{\delta}\right)^{1/7}$ nicht gültig bei $y = 0$!

$\Rightarrow \tau_w$ aus der turbulenten Rohrströmung

Mit $\lambda = \frac{0.316}{\sqrt[4]{\frac{\bar{u}d}{\nu}}}$ in $\lambda = \frac{8\tau_w}{\rho\bar{u}^2}$ und $\frac{\bar{u}}{U} = 0.8$ folgt

$$\frac{U}{u_*} = 8.74 \left(\frac{u_* R}{\nu} \right)^{1/7}$$

$$\Rightarrow u_* = 0.150 U^{7/8} \left(\frac{\nu}{\delta} \right)^{1/8} \quad \text{bzw.}$$

$$\tau_w = \rho u_*^2 = 0.0225 \rho U^{7/4} \left(\frac{\nu}{\delta} \right)^{1/4}$$

v. Karmansche Integralbeziehung

$$\frac{d\delta_2}{dx} = \frac{\tau_w}{\rho U^2} = \underline{\underline{0.0225 \left(\frac{\nu}{\delta U} \right)^{1/4}}}$$

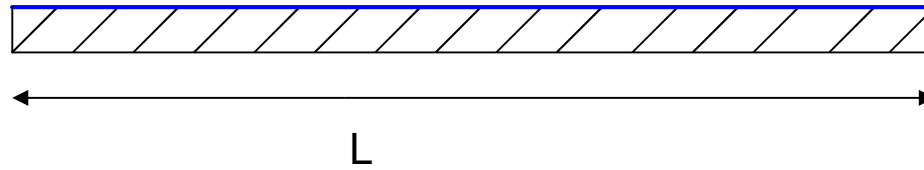
$$\rightarrow \frac{7}{72} \frac{d\delta}{dx} = \frac{d\delta_2}{dx}$$

$$\frac{\delta(x)}{x} = \frac{0.37}{\left(\frac{Ux}{\nu} \right)^{1/5}} = \frac{0.37}{(\text{Re}_x)^{1/5}}$$

D. h. $\delta \sim x^{4/5}$ turbulente Grenzschicht

$\delta \sim x^{1/2}$ laminare Grenzschicht

Reibungskraft auf **einer** Seite



$$D = \int_0^L \tau_0 dx = 0.036 \rho U^2 \frac{L}{(\text{Re}_L)^{1/5}}$$

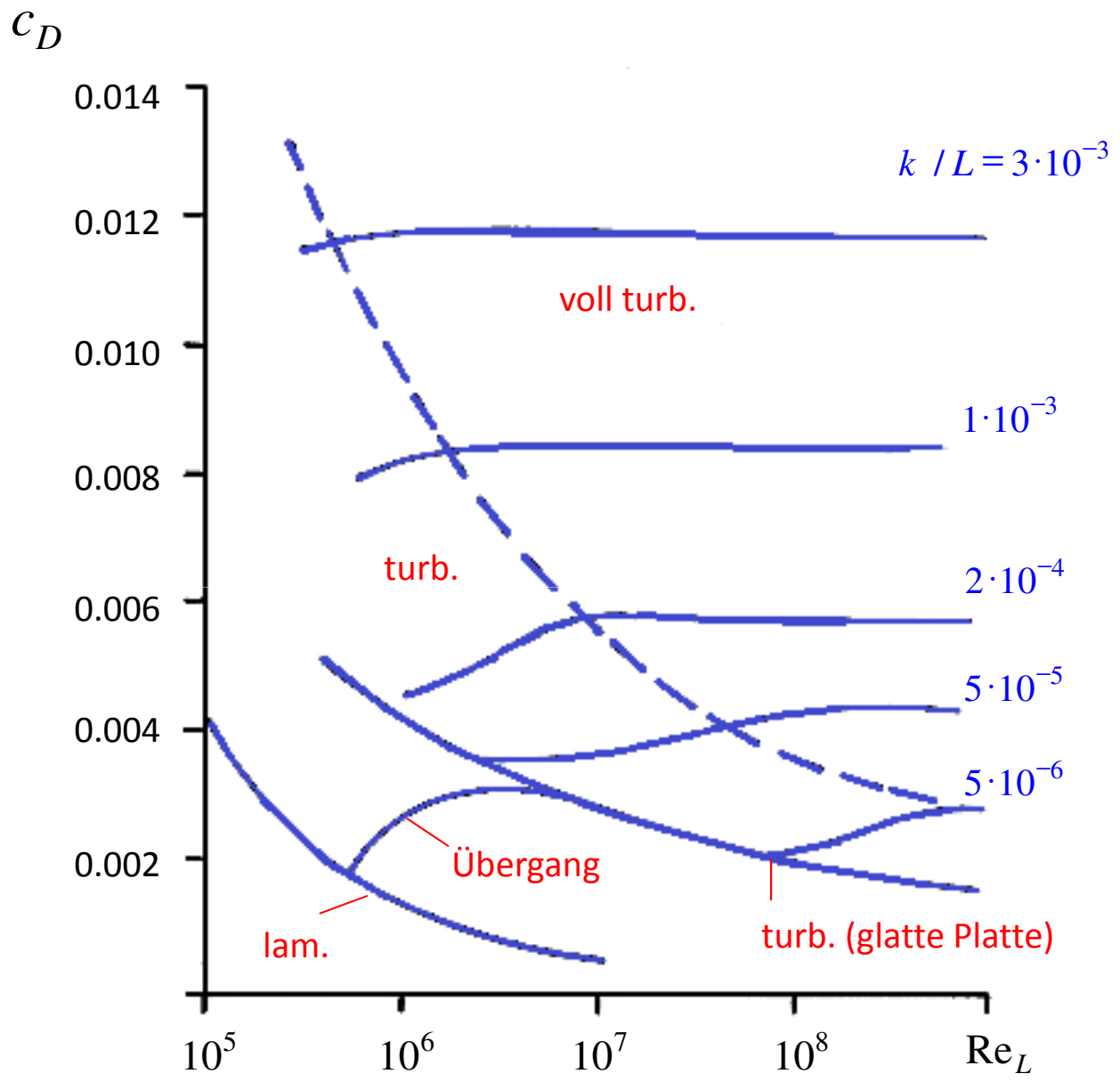
$$\Rightarrow D \sim L^{4/5} \quad \text{bzw.} \quad D \sim U^{9/5}$$

$$\left[\text{lam.: } D \sim L^{1/2} \quad \text{bzw.} \quad D \sim U^{3/2} \right]$$

$$c_D = \frac{D}{\frac{1}{2} \rho U^2 L} = \frac{0.072}{(\text{Re}_L)^{1/5}} \quad \text{bzw} \quad c_D = \frac{0.074}{(\text{Re}_2)^{1/5}} \quad (\text{Exp.})$$

allgemein : $c_D = f(\text{Re}_2, k/L)$

bzw $c_D = f(k/L)$ für Re_L sehr groß !



Zum Diagramm :

Übergangsbereich :

$$c_D = \frac{0.074}{\sqrt[5]{\text{Re}_L}} - \frac{1700}{\text{Re}_L}$$

glatte Platte :

$$c_D = \frac{0.455}{(\log \text{Re}_L)^{2.58}}$$

voll turbulentes Gebiet :

$$c_D = [1.89 - 1.62 \log(k/L)]^{-2.5}$$

Bemerkungen zur Turbulenz

vorteilhaft :

—> Wärmeübergang zwischen Wand und Fluid

- Klimaanlage
- Kessel im Kraftwerk

—> Vermischung von Fluiden

- Rauch aus Schornsteinen

laminare Strömung wünschenswert :

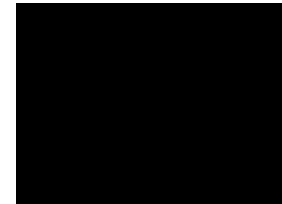
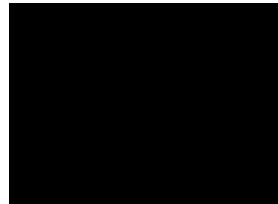
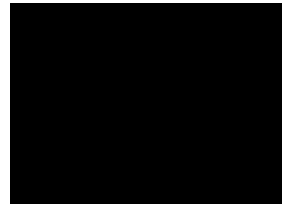
—> Druckverlust der Rohrströmung

—> Widerstand eines Tragflügels

jedoch : Vermeidung von Ablösung in turbulenten Strömungen

⇒ größerer Auftrieb als mit Ablösung

Grenzschichtablösung



weiterhin :

$$\frac{\partial p}{\partial x} = \frac{dp}{dx} = -\rho U \frac{dU}{dx}$$

Wand $y = 0$: $u = v = 0$

$$\Rightarrow \frac{dp}{dx} = \eta \frac{\partial^2 u}{\partial y^2}$$

$$\frac{dp}{dx} < 0 \text{ (beschleunigte Strömung)} : \left. \frac{\partial^2 u}{\partial y^2} \right|_{\text{Wand}} < 0$$

nahe dem Grenzschichttrand δ gilt : $\frac{\partial u}{\partial y} > 0$ mit

$$\left. \frac{\partial u}{\partial y} \right|_{y=\delta} \rightarrow 0 \quad \text{folgt} \quad \left. \frac{\partial^2 u}{\partial y^2} \right|_{y=\delta} < 0$$

\Rightarrow **kein** Vorzeichenwechsel von $\frac{\partial^2 u}{\partial y^2}$ in $0 \leq y \leq \delta$ (i. a.)

$$\frac{dp}{dx} > 0 \text{ (verzögerte Strömung)} : \left. \frac{\partial^2 u}{\partial y^2} \right|_{\text{Wand}} > 0$$

\Rightarrow Vorzeichenwechsel zwischen $0 \leq y \leq \delta$

\rightarrow $u(y)$ hat Wendepunkt, in dem $\frac{\partial^2 u}{\partial y^2} = 0$

Bemerkung: ebene Platte : $\left. \frac{\partial^2 u}{\partial y^2} \right|_{y=0} = 0$

$\frac{dp}{dx} > 0 \Rightarrow \delta(x)$ wächst deutlich an, denn $v(x, y) = -\int_0^y \frac{\partial u}{\partial x} dy$

$-\frac{\partial u}{\partial x} \uparrow \Rightarrow v \uparrow \Rightarrow \delta \uparrow$

Mit $\frac{dp}{dx} > 0$ ist i. a. die **Ablösung der Strömung** verbunden.

Ablösung

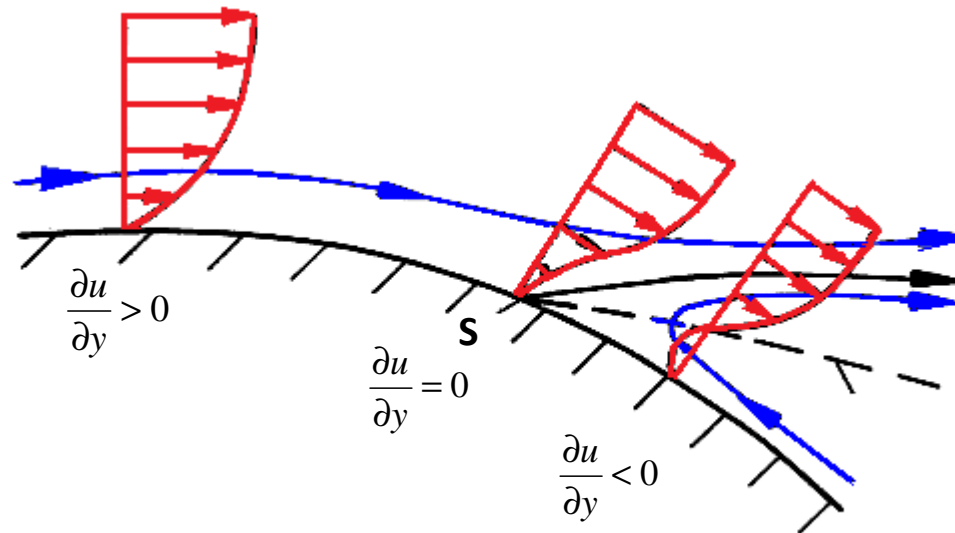
$$\frac{\partial^2 u}{\partial y^2} = 0 \quad \text{in} \quad 0 \leq y \leq \delta$$

$$\Rightarrow \left. \frac{\partial u}{\partial x} \right|_{y=y_w + \varepsilon} < 0 \quad \text{aufgrund von} \quad \frac{dp}{dx} > 0$$

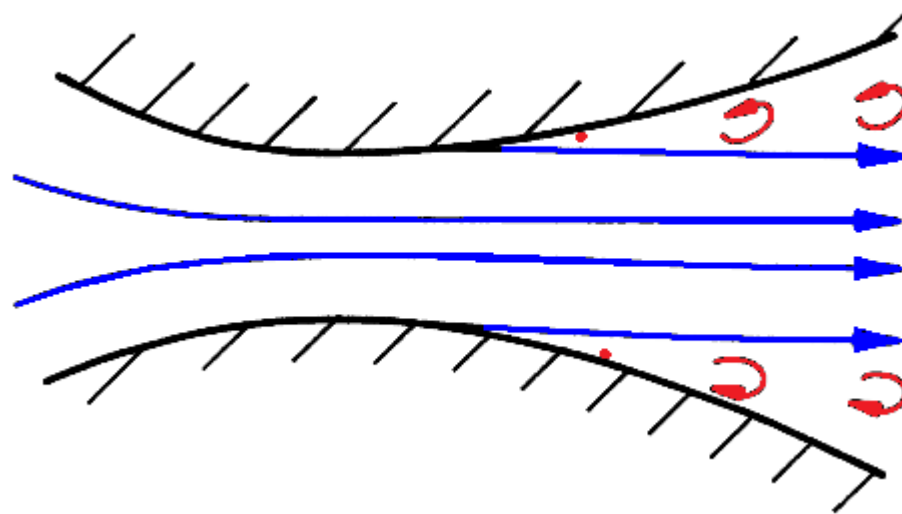
sofern $\frac{dp}{dx} > 0$ groß, folgt: $u_1(x_1, y_w + \varepsilon) > 0$, $u_2(x_1 + \varepsilon, y_w + \varepsilon) < 0$

→ Strömungsablösung

Ablösepunkt: $\left. \frac{\partial u}{\partial y} \right|_{\text{Wand}} = 0$



Ablösung bei externen und internen Strömungen



Die Grenzschichtgleichungen sind bis $x = x_s$ gültig ; für $x > x_s$ Grenzschichtannahmen im allgemeinen ungültig.

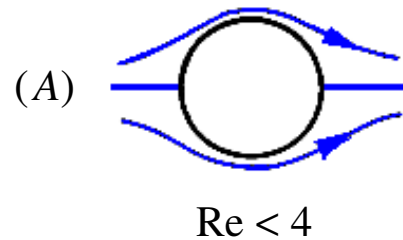
Strömung über einen Kreiszyylinder

Ablösung = $f(Re)$ vor allem bei **stumpfen** Körpern

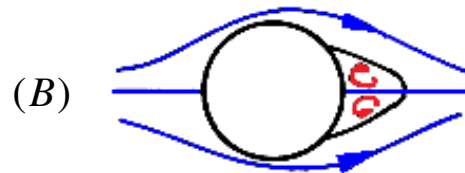
Analyse für den Kreiszyylinder :

$$\text{Re} = \frac{Ud\rho}{\eta}$$

$\text{Re} < 4$: $c_D \sim \text{Re}^{-1}$, keine Ablösung

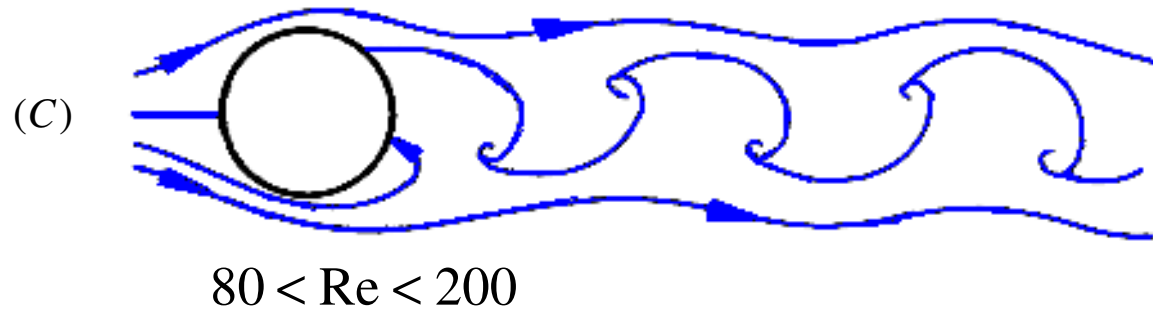


$4 < \text{Re} < 40$: Bildung zweier anliegender Wirbel



für $\text{Re} > 40$: Nachlauf wird instabil; Geschwindigkeit ist periodisch in t und in x (für $x > x_S$)

$80 < Re < 200$: 2 versetzte Wirbel im Nachlauf



→ von Kármánsche Wirbelstraße

$$u_{vor,ab} < U$$

$40 < Re < 80$: anliegende Wirbel nicht Teil der Wirbelstraße.

$Re > 80$: Wirbel \Rightarrow Oszillation des Zylinders.

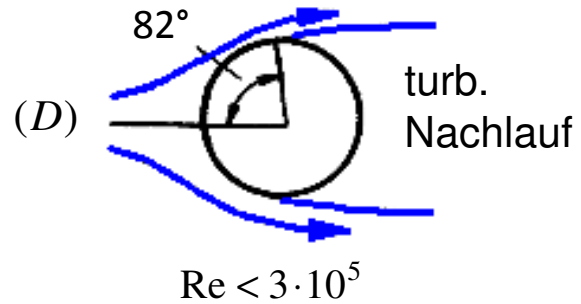
Strouhal Zahl : $St = f \frac{d}{U}$

dimensionslose Frequenz der abgehenden Wirbel :

$$St = 0.21 \quad (\text{Experiment, Numerik})$$

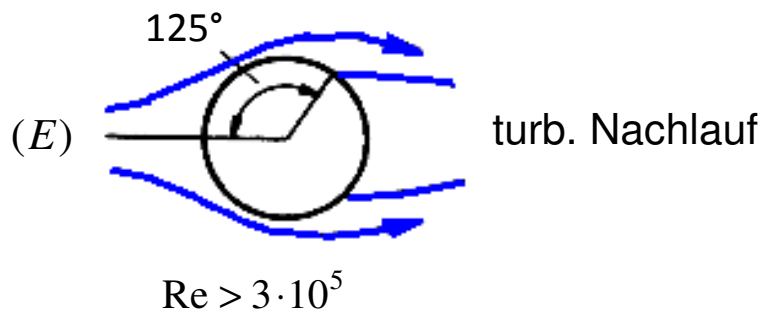
d klein, U klein $\rightarrow f$ im hörbaren Bereich

$Re < 3 \times 10^5$: Ablösung bei $\approx 82^\circ$, Grenzschicht ist laminar



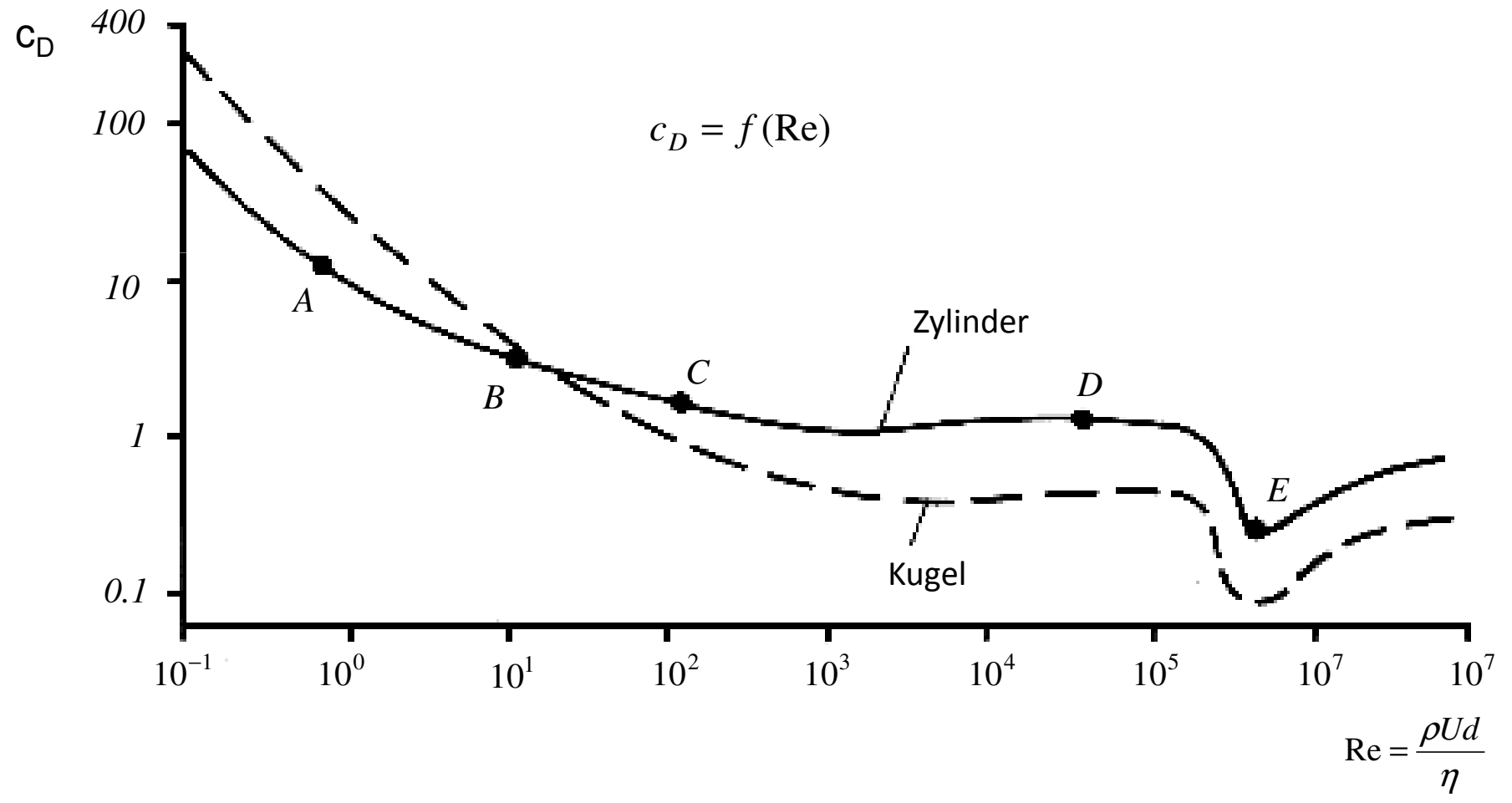
im Nachlauf : $p \approx konst. < p_\infty$

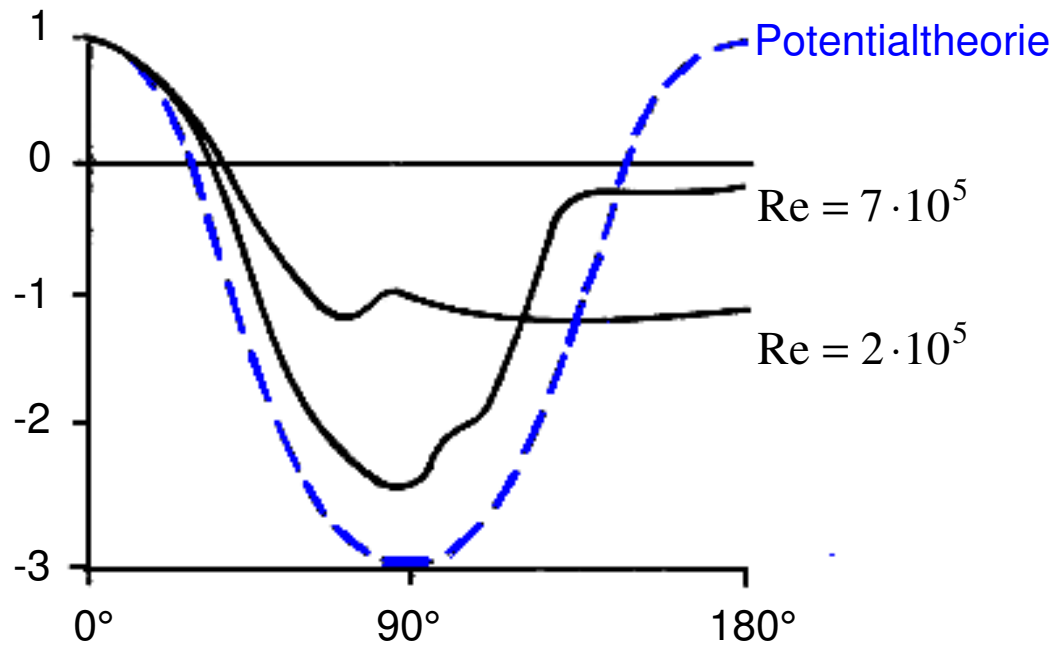
$3 \times 10^5 < Re < 3 \times 10^6$: Grenzschicht ist turbulent, Ablösung bei $\approx 125^\circ$
 \Rightarrow Nachlauf wird schmaler



$Re > 3 \times 10^6$: $\Theta_s < 125^\circ$
 $\Rightarrow c_D$ steigt

$Re_{krit} = f(\text{Turb. in der Anströmung, Oberflächenrauigkeit})$





$$c_p = f(\Theta), \text{Zylinder}$$

Strömung über eine Kugel

Übergang 2D → 3D → deutliche Unterschiede

z. B. : keine reguläre Wirbelströmung

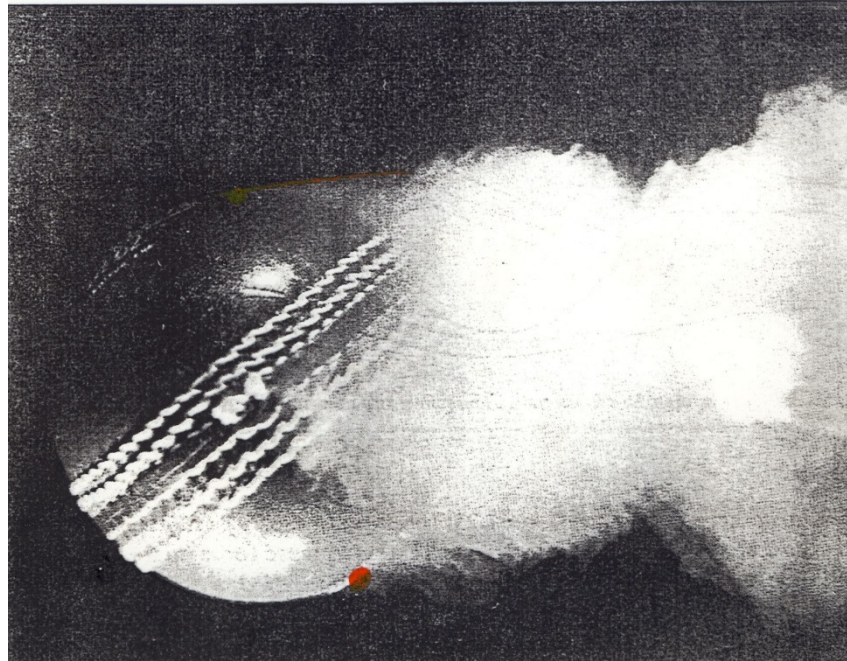
$Re < 130$: anliegender Wirbelring

$Re > 130$: Oszillationen beginnen, verzernte Wirbelschleifen gehen ab

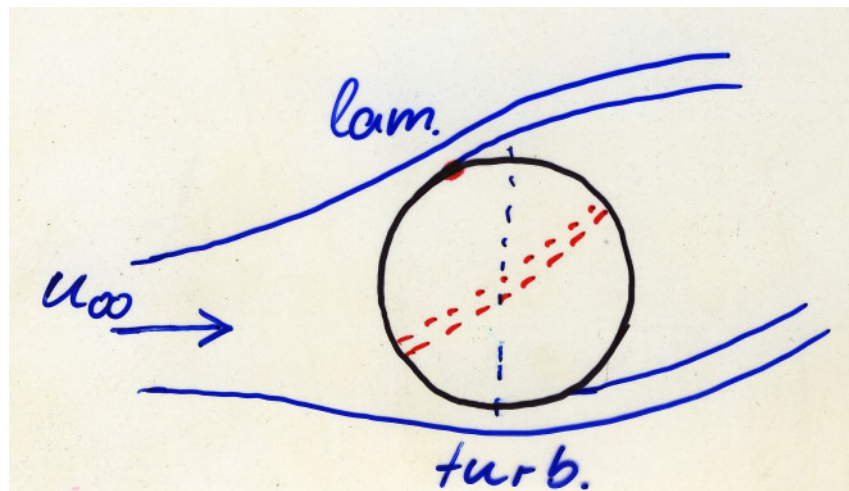
Verhalten der Grenzschicht wie beim Kreiszyylinder ;

$$Re_{krit} \approx 5 \times 10^5 \quad (\text{Kugel})$$

Transition laminar – turbulent $\Rightarrow c_D$ sinkt



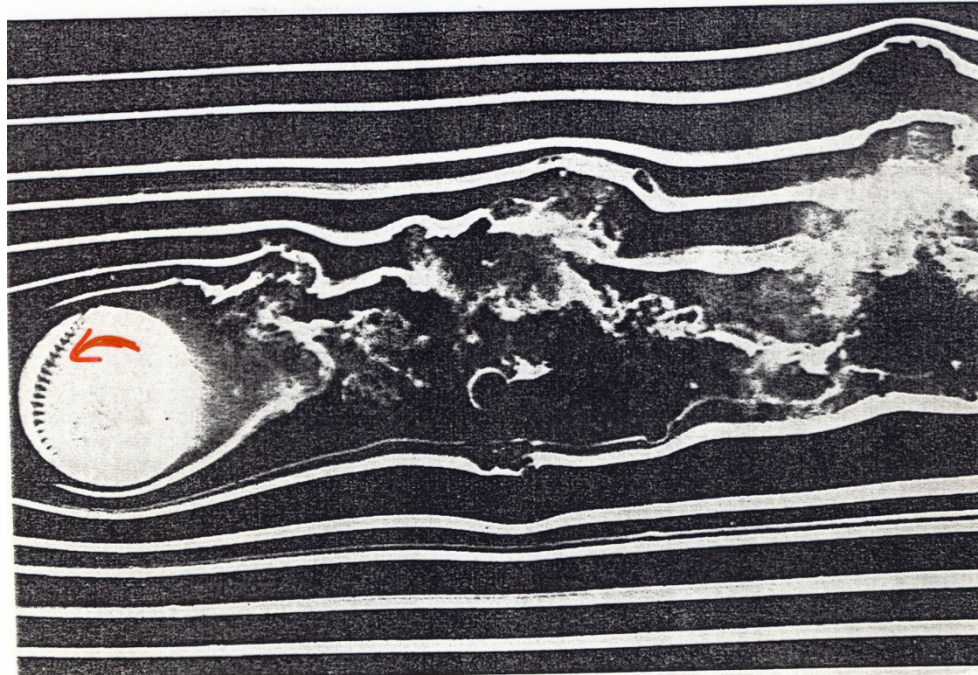
Strömung über einen Cricketball ;



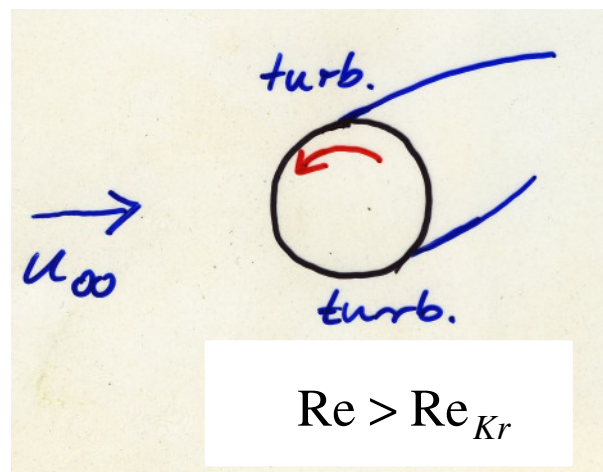
$$Re \approx 10^5$$



Richtung der
Seitenkr.

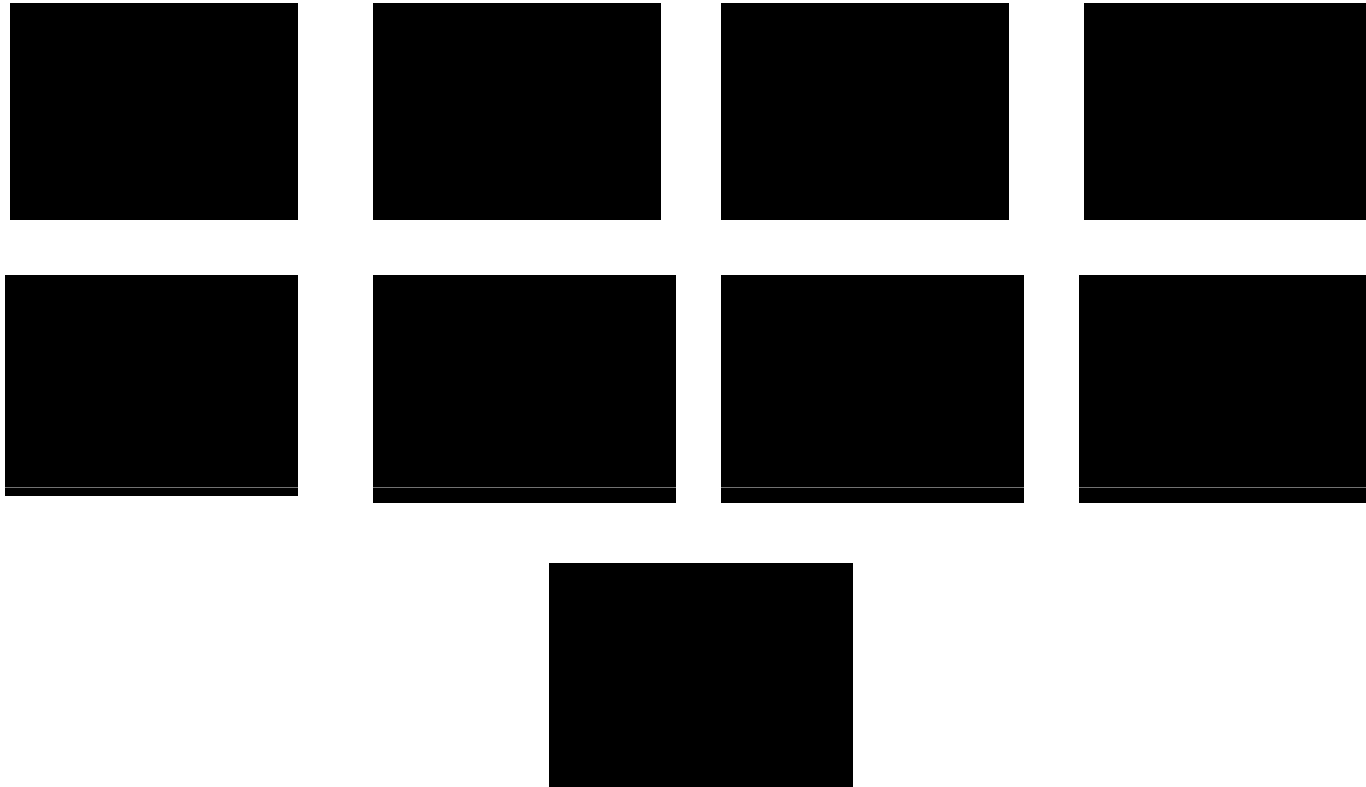


Strömung über einen rotierenden Baseball ,



↓
Richtung der
Seitenkr.

Kompressible Strömungen



Kompressible Strömungen

bisher : dichtebeständige Fluide

im folgenden : dichteveränderliche bzw. kompressible Fluide

→ Gasdynamik

Beschränkung : stationäre, 1-D , reibungsfreie, kompressible
Strömungen idealer Gase

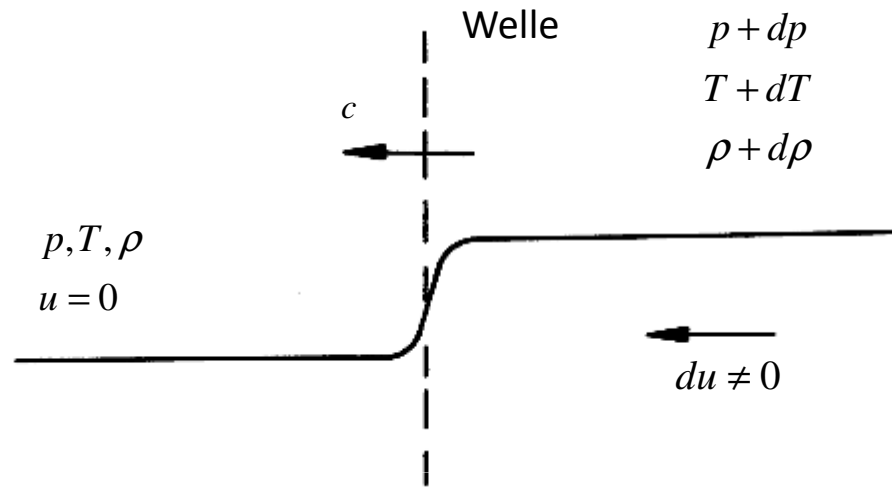
Schallgeschwindigkeit

inkompressible Strömung : p-Störung überall, sofort messbar

kompressible Strömung : p-Störung breitet sich als elastische Welle aus

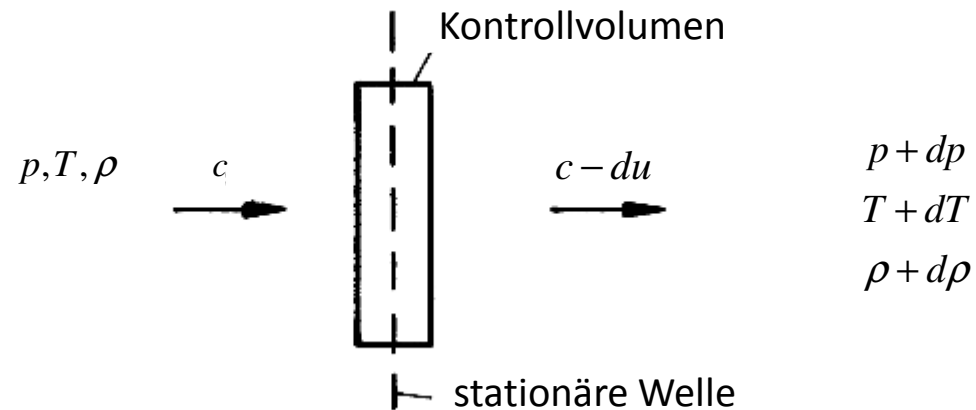
akustische oder Schallwelle : Wellen mit infinitesimaler Amplitude

Bestimmung der Schallgeschwindigkeit :



instat. Problem für den ruhenden Beobachter

stat. Problem durch Überlagerung mit Geschwindigkeit c in entgegengesetzter Richtung



\dot{m} über die Fläche A des Kontrollvolumens

$$A\rho c = A(\rho + d\rho)(c - du)$$

$$= A\rho c + Acd\rho - A\rho du$$

$$- \underbrace{Ad\rho du}_{\text{vernachlässigbar}}$$

vernachlässigbar

$$\rightarrow du = c \frac{d\rho}{\rho}$$

Kompression : $d\rho > 0 \quad \rightarrow \quad du > 0$

Expansion : $d\rho < 0 \quad \rightarrow \quad du < 0$

Impuls : $A\rho c(c - du) - A\rho cc = pA - (p + dp)A$

$$dp = \rho c du$$

$$\Rightarrow \boxed{c^2 = \frac{dp}{d\rho}}$$

Amplitude der Welle ist infinites. \Rightarrow isentrope Zustandsänderung der Teilchen

$$\longrightarrow c^2 = \left(\frac{\partial p}{\partial \rho} \right)_{s=\text{konst.}}$$

+ Isentropenbeziehung : $p / \rho^\gamma = \text{konst.}$

+ Gasgleichung : $p = \rho RT$

$$\longrightarrow \left(\frac{\partial p}{\partial \rho} \right)_{s=\text{konst.}} = \gamma \rho^{\gamma-1} = \frac{p}{\rho^\gamma} \gamma \rho^{\gamma-1} = \frac{p}{\rho} \gamma = \gamma RT$$

bzw.

$$c = \sqrt{\gamma \frac{p}{\rho}} = \sqrt{\gamma RT}$$

Luft , 15 °C, $c = 340 \text{ m/s}$

Luft , 20 °C, $c = 343 \text{ m/s}$

Kompressibilitätseffekte von Bedeutung ?

Antwort mittels $M = \frac{u}{c}$

Kontinuitätsgleichung (1D) : $u \frac{\partial \rho}{\partial x} + \rho \frac{\partial u}{\partial x} = 0$

inkompressibel, sofern

$$u \frac{\partial \rho}{\partial x} \ll \rho \frac{\partial u}{\partial x}$$

bzw.

$$\frac{\Delta \rho}{\rho} \ll \frac{\Delta u}{u}$$

Schallgeschwindigkeit :

$$\Delta p \approx c^2 \Delta \rho$$

Euler (1D) :

$$u \Delta u \approx \frac{\Delta p}{\rho}$$

$$\Rightarrow \frac{\Delta\rho}{\rho} \approx \frac{u^2}{c^2} \frac{\Delta u}{u} = M^2 \frac{\Delta u}{u}$$

D.h. : $M^2 \ll 1$, d.h. $\frac{\Delta\rho}{\rho}$ sehr klein

inkompressibel : $M \leq 0.3$

kompressibel : $M > 0.3$

Einteilung kompressibler Strömungen :

$0.3 < M < 1$: subsonische Strömung

$0.8 < M < 1.2$: transonische Strömung

$1 < M < 3$: supersonische Strömung

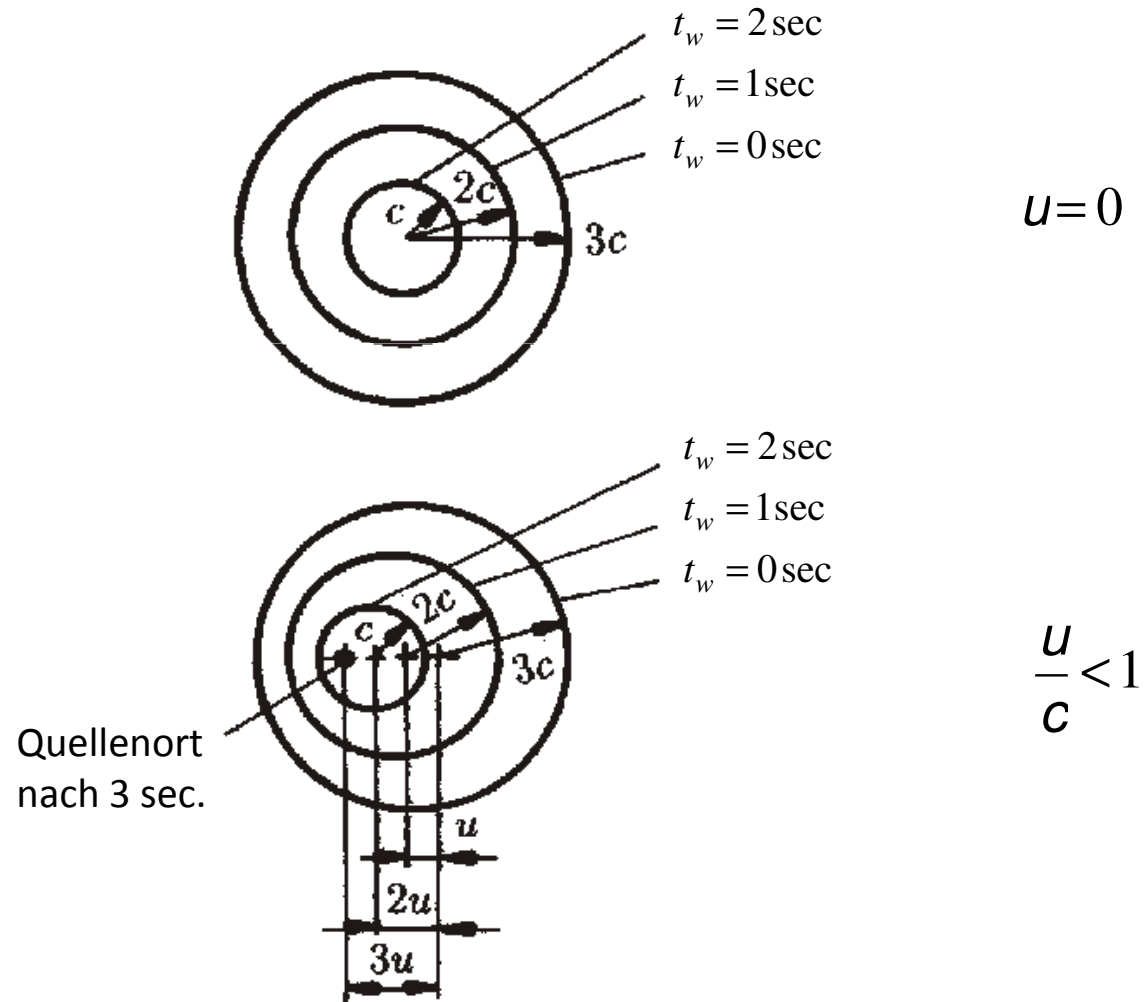
$M > 3$: hypersonische Strömung

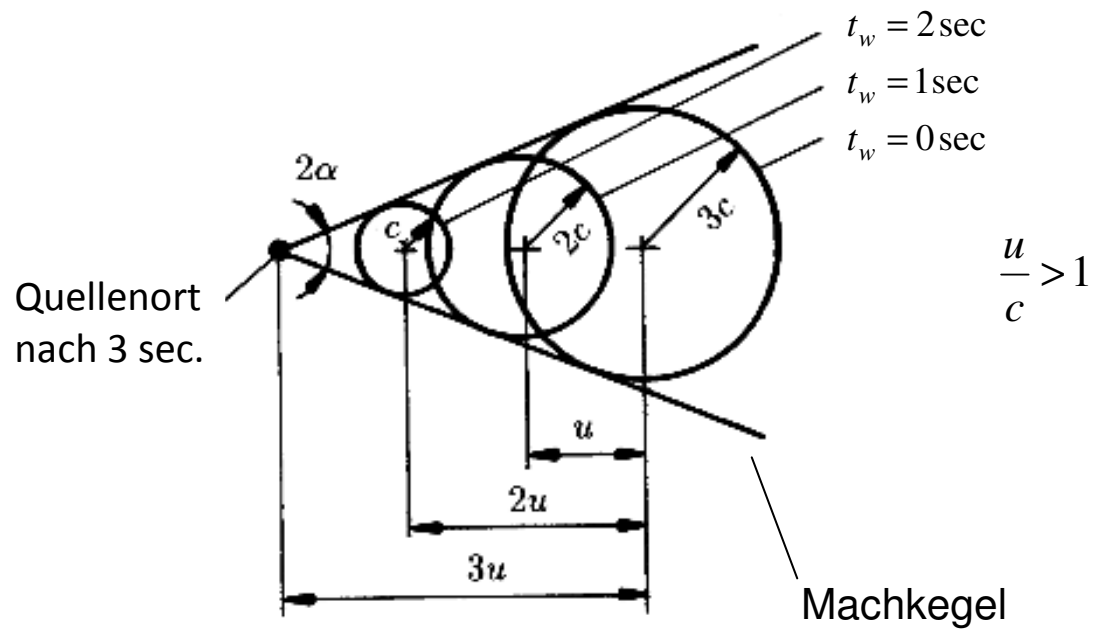
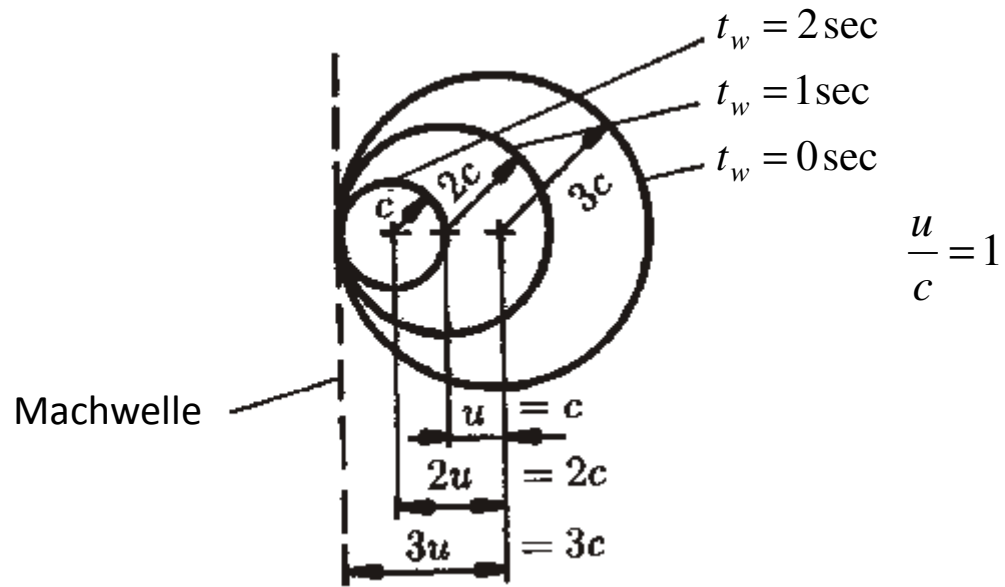
Sofern $M > 1$ ist das Ausbreitungsgebiet von Strömungen begrenzt.

→ Machkegel

Druckwelle wird bei $t = t_w$ initiiert

Radius $r = (t - t_w)c$

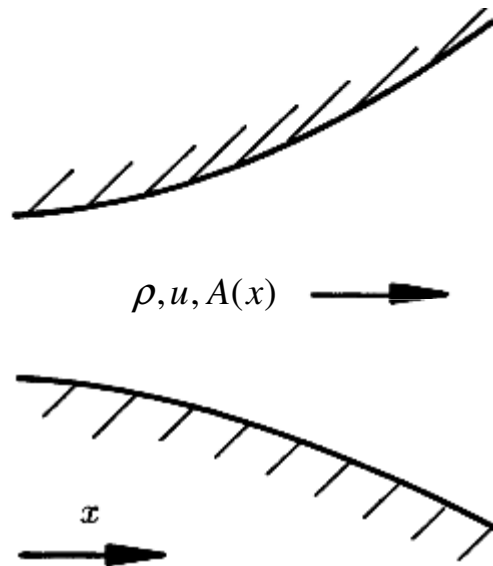




Öffnungswinkel des Machkegels

$$\sin \alpha = \frac{c}{u} = \frac{1}{M}$$

Flächen-Geschwindigkeits-Beziehung



isentropie Strömung durch ein Rohr

Kontinuitätsgleichung :

$$\dot{m} = \rho u A = \text{konst.}$$

Differentiation

$$\frac{d(\rho u A)}{\rho u A} = \frac{d\rho}{\rho} + \frac{du}{u} + \frac{dA}{A} = 0$$

Euler (1D) :

$$u du = -\frac{dp}{\rho} = -\frac{dp}{d\rho} \frac{d\rho}{\rho} = -c^2 \frac{d\rho}{\rho}$$

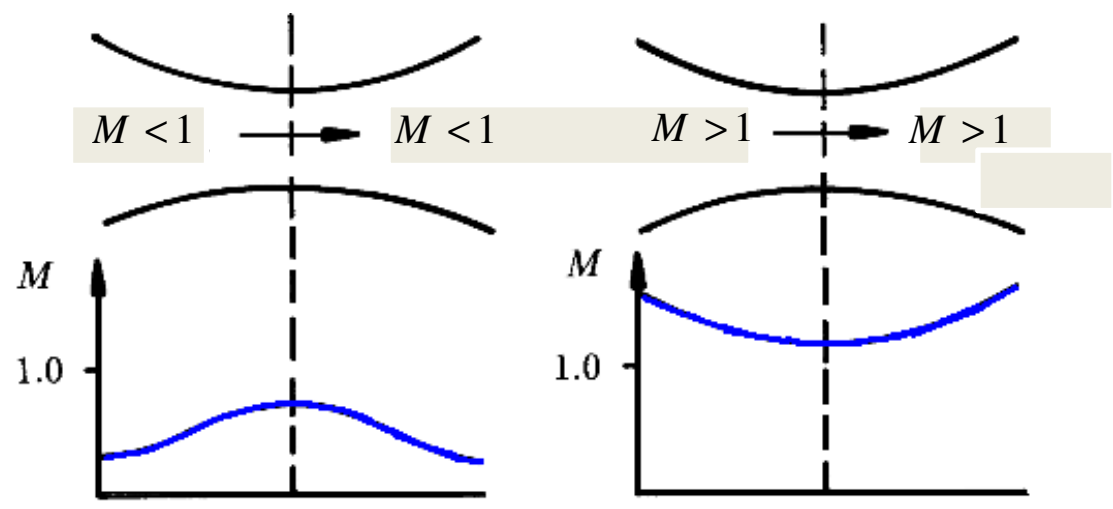
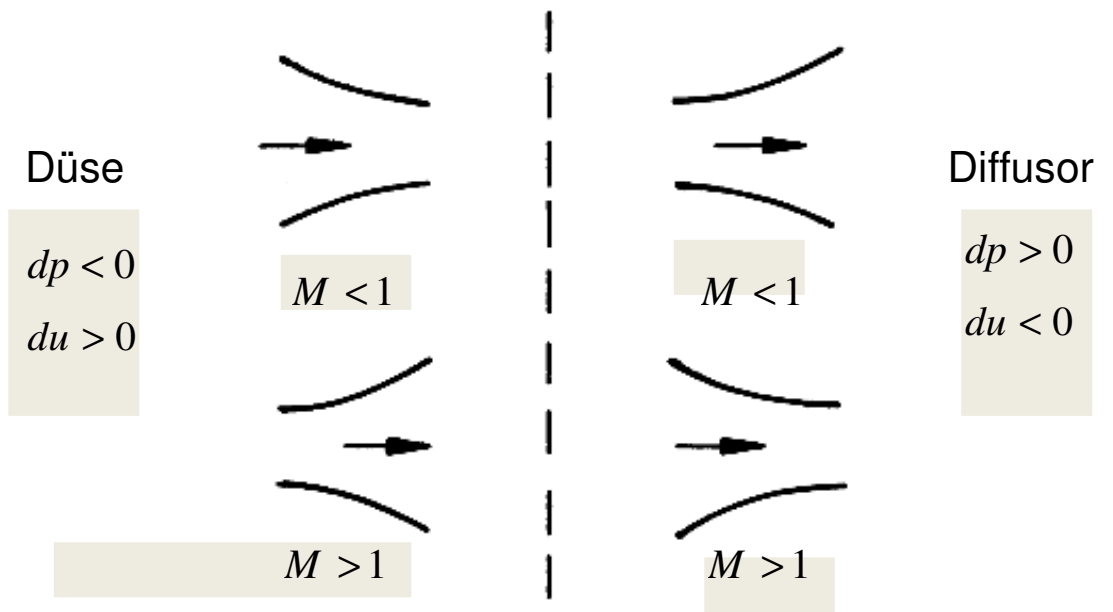
$$\Rightarrow \frac{d\rho}{\rho} = -M^2 \frac{du}{u} \quad \frac{d\rho}{\rho} = -\frac{u^2}{c^2} \frac{du}{u}$$

bzw.

$$\frac{du}{u} = -\frac{dA}{A} \frac{1}{1-M^2}$$

Flächen-Geschwindigkeits-Beziehung

Daraus folgen interessante Konsequenzen der Kompressibilität bezüglich der Auswirkungen von Änderungen von $A(x)$ auf $u(x)$.



Ruhe- und kritische Größen

Ruhezustand : isentrope Verzögerung auf $\vec{v}=0$ dient als Referenzzustand

Energiegleichung im Ruhezustand :

$$h_0 = h + \frac{u^2}{2}$$

ideales Gas : $h = c_p T$

$$c_p T_0 = c_p T + \frac{u^2}{2}$$

$$c_p = \frac{\gamma R}{\gamma - 1}$$

$$\frac{T_0}{T} = 1 + \frac{u^2}{2c_p T} = 1 + \frac{u^2}{2} \frac{\gamma - 1}{\gamma R T}$$

$$\frac{T_0}{T} = 1 + \frac{\gamma - 1}{2} M^2$$

$$\frac{T_0}{T} = f(M)$$

Isentropenbeziehungen →

$$\frac{p_0}{p} = \left(\frac{T_0}{T}\right)^{\frac{\gamma}{\gamma-1}} = \left[1 + \frac{\gamma-1}{2} M^2\right]^{\frac{\gamma}{\gamma-1}} = g(M)$$

$$\frac{\rho_0}{\rho} = \left(\frac{T_0}{T}\right)^{\frac{1}{\gamma-1}} = \left[1 + \frac{\gamma-1}{2} M^2\right]^{\frac{1}{\gamma-1}} = l(M)$$

in **adiabater** Strömung $\left\{h + \frac{u^2}{2} = \text{konst.}\right\}$ gilt für die Ruhegrößen

$$h_0 = \text{konst.} \quad , \quad T_0 = \text{konst.}$$

$$c_0 = \sqrt{\gamma R T_0} = \text{konst.}$$

Beziehung zwischen u und p : $c_p T + \frac{u^2}{2} = c_p T_0$

$$u^2 = \frac{2\gamma}{\gamma-1} R T_0 \left(1 - \frac{T}{T_0}\right)$$

$$u = \left\{ \frac{2\gamma}{\gamma-1} \frac{p_0}{\rho_0} \left[1 - \left(\frac{p}{p_0} \right)^{\frac{\gamma-1}{\gamma}} \right] \right\}^{\frac{1}{2}}$$

Vakuum : $p \rightarrow 0 \Rightarrow u \rightarrow u_{\max}$

$$u_{\max} = \left[\frac{2\gamma p_0}{\gamma-1 \rho_0} \right]^{\frac{1}{2}}$$

Machzahl als $f(p)$:

$$M = \left(\frac{u^2}{c^2} \right)^{\frac{1}{2}} = \left(\frac{u^2}{\gamma RT} \right)^{\frac{1}{2}} = \left(\frac{u^2}{\gamma p / \rho} \right)^{\frac{1}{2}} = \left\{ \frac{2}{\gamma-1} \left[\left(\frac{p_0}{p} \right)^{\frac{\gamma-1}{\gamma}} - 1 \right] \right\}^{\frac{1}{2}}$$

$$p \rightarrow 0 : M \rightarrow \infty$$

konvergent-divergente Düse : bei geeignetem Gegendruck erhält man

$$M = 1$$

im Halsquerschnitt. Zustand ($M = 1$) wird als **kritischer Zustand** bezeichnet.

Für den kritischen Zustand, ebenfalls ein Referenzzustand, ergibt sich

$$c_p T_0 = c_p T^* + \frac{\gamma R T^*}{2} \quad ; \quad (\gamma = 1.4)$$

$$\frac{T^*}{T_0} = \frac{2}{\gamma + 1} = 0.833$$

$$\frac{p^*}{p_0} = \left(\frac{T^*}{T_0} \right)^{\frac{\gamma}{\gamma - 1}} = \left(\frac{2}{\gamma + 1} \right)^{\frac{\gamma}{\gamma - 1}} = 0.528$$

$$\frac{\rho^*}{\rho_0} = \left(\frac{T^*}{T_0} \right)^{\frac{1}{\gamma - 1}} = \left(\frac{2}{\gamma + 1} \right)^{\frac{1}{\gamma - 1}} = 0.634$$

Beziehung $A^*/A = f(M, \gamma)$ mittels Kontinuitätsgleichung

$$\rho u A = \rho^* u^* A^*$$

$$\frac{A^*}{A} = \frac{\rho}{\rho^*} \frac{u}{u^*}$$

$$\frac{A^*}{A} = \frac{\rho}{\rho_0} \frac{\rho_0}{\rho^*} \frac{u}{c} \frac{c}{c_0} \frac{c_0}{u^*}$$

$$\begin{array}{cccc} \swarrow & \downarrow & \downarrow & \searrow \\ f(M) & f(\gamma) & f(M) & f(\gamma) \end{array}$$

mit

$$\frac{\rho}{\rho_0} \frac{\rho_0}{\rho^*} = \frac{1}{\left[\left(1 + \frac{\gamma-1}{2} M^2 \right) \frac{2}{\gamma+1} \right]^{\frac{1}{\gamma-1}}}$$

$$\frac{c}{c_0} \frac{c_0}{u^*} = \left(\frac{T}{T_0} \frac{T_0}{T^*} \right)^{\frac{1}{2}} = \frac{1}{\left[\left(1 + \frac{\gamma-1}{2} M^2 \right) \frac{2}{\gamma+1} \right]^{\frac{1}{2}}}$$

$$\frac{A^*}{A} = \frac{1}{\left[\left(1 + \frac{\gamma-1}{2} M^2 \right) \frac{2}{\gamma+1} \right]^{\frac{\gamma+1}{2(\gamma-1)}}} = f(M, \gamma)$$

mit

$$\frac{\rho}{\rho_0} \cdot \left(\frac{T}{T_0}\right)^{\frac{1}{2}} = \left(\frac{p}{p_0}\right)^{\frac{1}{\gamma}} \left(\frac{p}{p_0}\right)^{\frac{\gamma-1}{2\gamma}}$$

$$\frac{\rho_0}{\rho^*} \left(\frac{T_0}{T^*}\right)^{\frac{1}{2}} = \frac{1}{\left(\frac{2}{\gamma+1}\right)^{\frac{\gamma+1}{2(\gamma-1)}}}$$

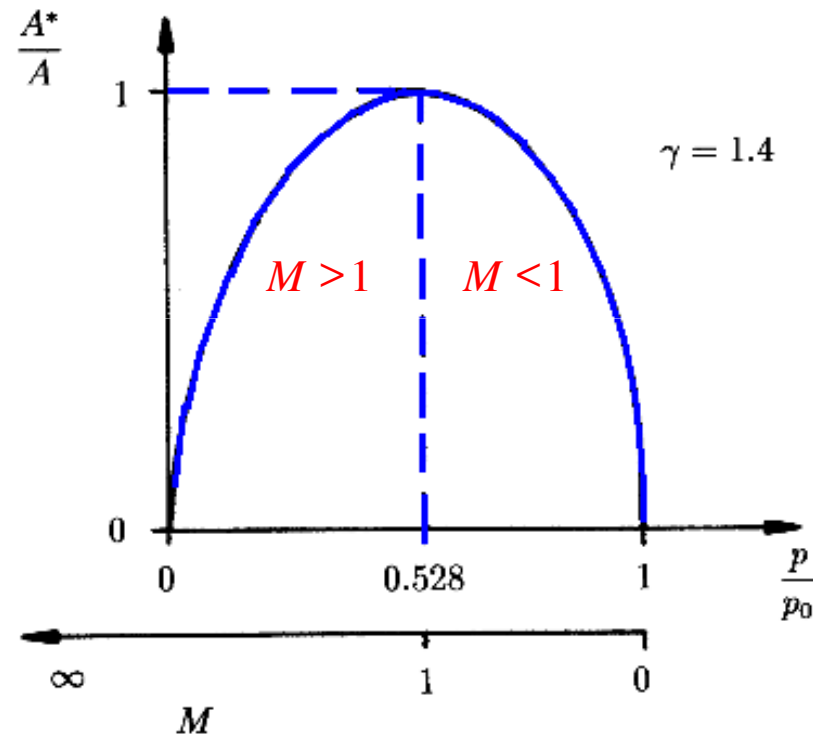
$$M = \left(\frac{2}{\gamma-1}\right)^{\frac{1}{2}} \left(\frac{p_0}{p}\right)^{\frac{\gamma-1}{2\gamma}} \left[1 - \left(\frac{p}{p_0}\right)^{\frac{\gamma-1}{\gamma}}\right]^{\frac{1}{2}}$$

$$\frac{A^*}{A} = \frac{\left(\frac{p}{p_0}\right)^{\frac{1}{\gamma}} \left[1 - \left(\frac{p}{p_0}\right)^{\frac{\gamma-1}{\gamma}}\right]^{\frac{1}{2}}}{\left[\frac{\gamma-1}{2} \left(\frac{2}{\gamma+1}\right)^{\frac{\gamma+1}{\gamma-1}}\right]^{\frac{1}{2}}} = f\left(\gamma, \frac{p}{p_0}\right)$$

$$A^*/A \rightarrow 0 \quad \text{für } M \rightarrow 0 \quad \text{bzw. } p/p_0 \rightarrow 1$$

$$M \rightarrow \infty \quad p/p_0 \rightarrow 0$$

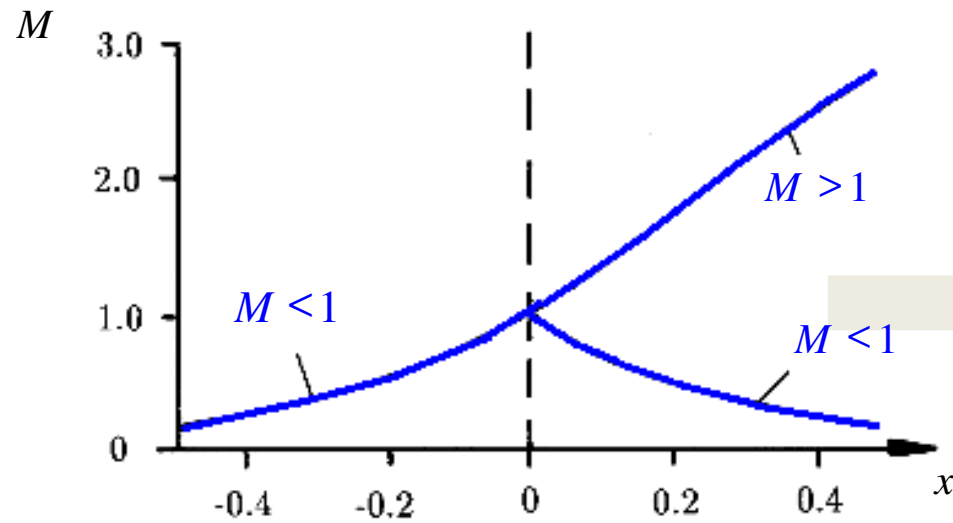
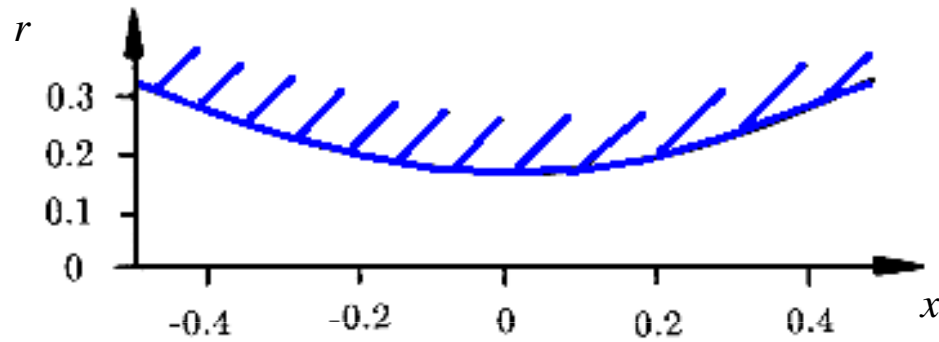
$$A^*/A \rightarrow 1 \quad \text{für } M \rightarrow 1 \quad \text{bzw. } p/p_0 \rightarrow 0.528$$

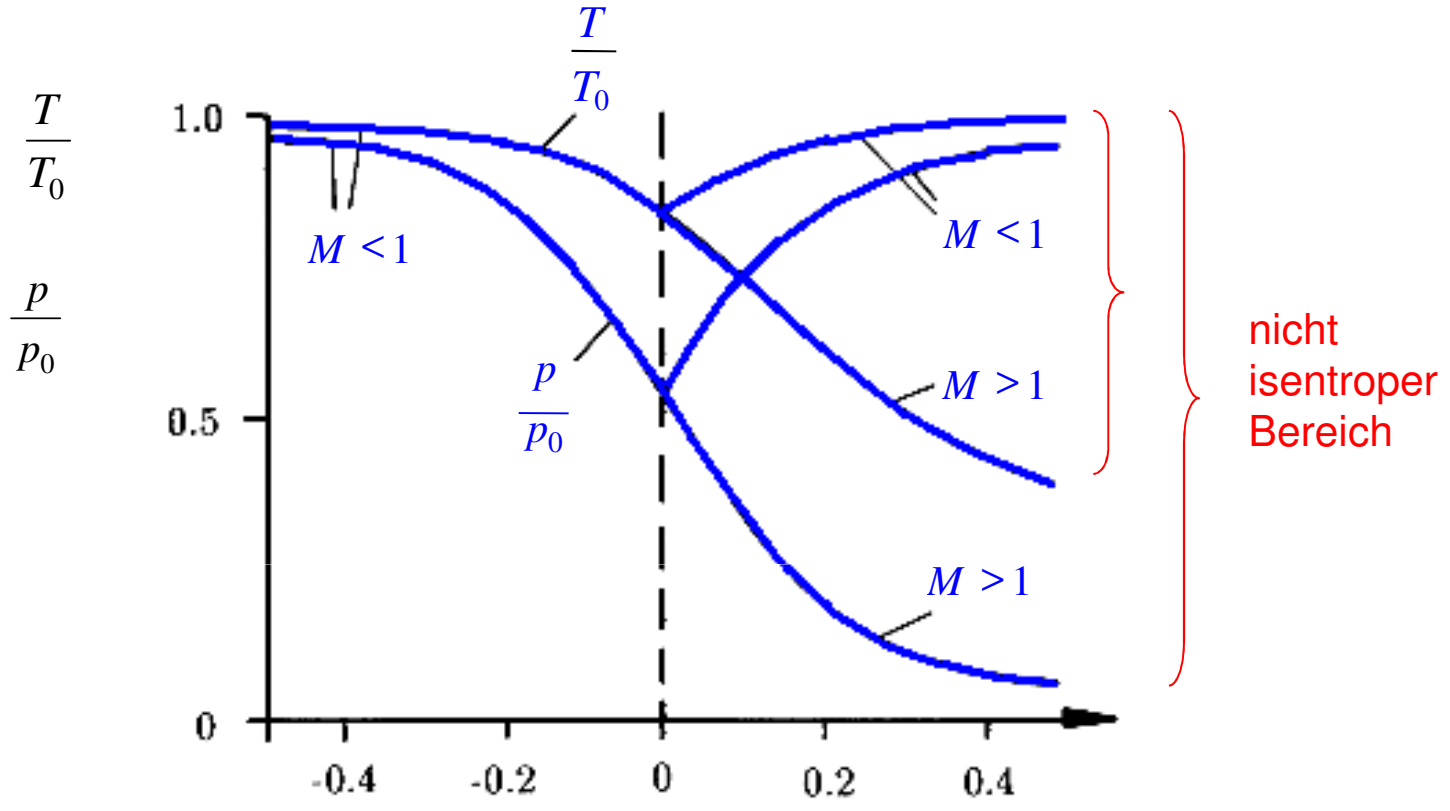


kritische Variable sind Referenzgrößen, wenn $M = 1$ Zustand isentrop erreicht wird.

A^*/A bekannt $\rightarrow M, \frac{p}{p_0}, \frac{T}{T_0}$ Verlauf

z. Bsp. : $r = \left[(0.1 + x^2) / \pi \right]^{\frac{1}{2}}$

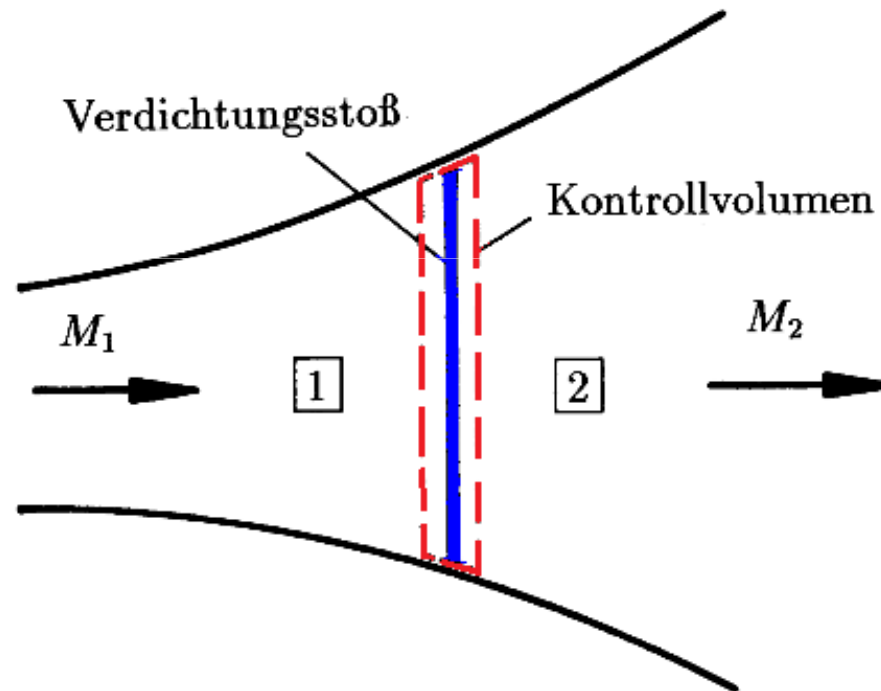




Der senkrechte Verdichtungsstoß

Verdichtungsstoß oder Stoßwelle ist eine Diskontinuität endl. Stärke ;
über diesen **Stoß** sind die Isentropenbeziehungen **ungültig**.

Zustände vor und hinter dem Stoß :



Gesucht : $\frac{u_2}{u_1}, \frac{\rho_2}{\rho_1}, \frac{p_2}{p_1}, \frac{T_2}{T_1}$ etc. !

Masse-, Impuls- und Energieerhaltungsgleichung ($dA \approx 0$)

$$\rho_1 u_1 = \rho_2 u_2$$

$$\rho_2 u_2^2 - \rho_1 u_1^2 = p_1 - p_2$$

$$h_1 + \frac{u_1^2}{2} = h_2 + \frac{u_2^2}{2}$$

Impuls :

$$u_2 - u_1 = \frac{p_1}{\rho_1 u_1} - \frac{p_2}{\rho_2 u_2} = \frac{c_1^2}{\gamma u_1} - \frac{c_2^2}{\gamma u_2}$$

$$\gamma(u_2 - u_1) = \left(\frac{c_1}{u_1}\right)^2 u_1 - \left(\frac{c_2}{u_2}\right)^2 u_2 \quad (*)$$

Referenzzustand \rightarrow *-Zustand :

$$\frac{u^2}{2} + \frac{c^2}{\gamma-1} = c^{*2} \frac{\gamma+1}{\gamma-1} \frac{1}{2} = c_p T^* + \frac{c^{*2}}{2}$$

$$\Rightarrow \left(\frac{c^*}{u}\right)^2 = \left[\left(\frac{c}{u}\right)^2 + \frac{\gamma-1}{2}\right] \frac{2}{\gamma+1}$$

$$\left(\frac{u}{c^*}\right)^2 = M^{*2} = \frac{\gamma+1}{(\gamma-1) + \frac{2}{M^2}} \quad M^* = f(M, \gamma)$$

$$M = 0 \quad : \quad M^* = 0$$

$$M = 1 \quad : \quad M^* = 1$$

$$M \rightarrow \infty \quad : \quad \lim_{M \rightarrow \infty} M^{*2} = \frac{\gamma+1}{\gamma-1}$$

$$M < 1 \quad : \quad M^* < 1$$

$$M > 1 \quad : \quad M^* > 1$$

$$\frac{c}{u} = f\left(\frac{c^*}{u}, \gamma\right) \quad \text{in Gleichung} \quad (*)$$

$$\Rightarrow (u_2 - u_1) \frac{\gamma+1}{2} = c^{*2} \left(\frac{1}{u_1} - \frac{1}{u_2} \right) \frac{\gamma+1}{2}$$

$$c^{*2} = u_1 u_2$$

$$\boxed{M_1^* M_2^* = 1}$$

$$\frac{\rho_2}{\rho_1} = \frac{u_1}{u_2} = \frac{u_1^2}{u_1 u_2} = \frac{u_1^2}{c^{*2}} = M_1^{*2} = \frac{(\gamma+1)M_1^2}{(\gamma-1)M_1^2 + 2} = f(M_1, \gamma)$$

Impuls :

$$\begin{aligned} \frac{p_2}{p_1} &= 1 + \gamma M_1^2 \left(1 - \frac{u_2}{u_1} \right) \\ &= 1 + \gamma M_1^2 \left(1 - \frac{(\gamma-1) + \frac{2}{M_1^2}}{\gamma+1} \right) \\ &= 1 + \frac{2\gamma}{\gamma+1} (M_1^2 - 1) \\ &= g(M_1, \gamma) \end{aligned}$$

$$\frac{T_2}{T_1} = \frac{\rho_1}{\rho_2} \frac{p_2}{p_1} = 1 + \frac{2(\gamma-1)}{(\gamma+1)^2} \frac{M_1^2 + 1}{M_1^2} (M_1^2 - 1) = h(M_1, \gamma)$$

$$M_2^2 = \frac{2 + (\gamma-1)M_1^2}{2\gamma M_1^2 - (\gamma-1)} = \varphi(M_1, \gamma)$$

sog. Rankine–Hugoniot Beziehungen

Entropieänderung = $f(M_1, \gamma)$: $T ds = dh - \frac{1}{\rho} dp$

$$\frac{s_2 - s_1}{R} = \frac{c_p}{R} \ln \left(\frac{T_2}{T_1} \right) - \ln \left(\frac{p_2}{p_1} \right)$$

$$\frac{s_2 - s_1}{R} = \ln \left[\left(\frac{\rho_2}{\rho_1} \right)^{-\frac{\gamma}{\gamma-1}} \left(\frac{p_2}{p_1} \right)^{\frac{1}{\gamma-1}} \right]$$

$$\frac{s_2 - s_1}{R} = \ln \left\{ \left[\frac{(\gamma+1)M_1^2}{(\gamma-1)M_1^2 + 2} \right]^{-\frac{\gamma}{\gamma-1}} \left[1 + \frac{2\gamma}{\gamma+1} (M_1^2 - 1) \right]^{\frac{1}{\gamma-1}} \right\}$$

$$= f(M_1, \gamma)$$

$s_2 - s_1 > 0$: d. h. Stöße nur in superson. Strömungen.

weiterhin :

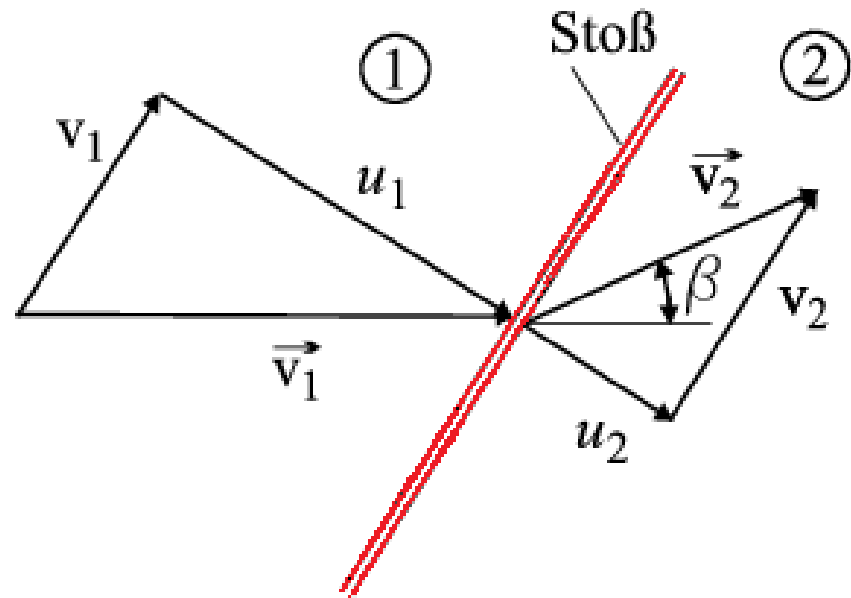
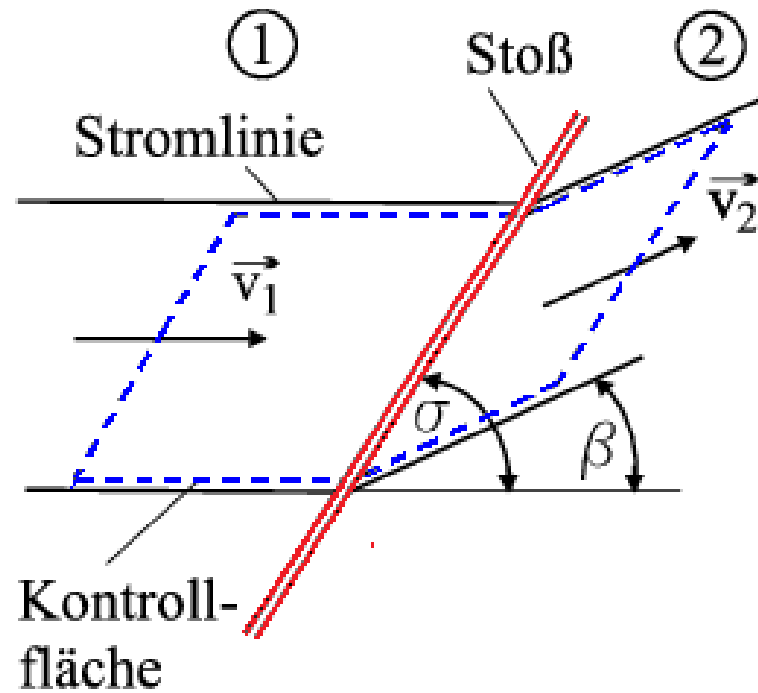
$$s_2 - s_1 = s_{0_2} - s_{0_1} = c_p \ln\left(\frac{T_{0_2}}{T_{0_1}}\right) - R \ln\left(\frac{p_{0_2}}{p_{0_1}}\right)$$

mit $T_0 = konst$: $p_{02} < p_{01}$

bzw. $\rho_{02} < \rho_{01}$

Schräger Verdichtungsstoß

Im allgemeinen sind Verdichtungsstöße gegenüber der Anströmung geneigt
→ der senkrechte Verdichtungsstoß ist ein Sonderfall



σ : Stoßwinkel

β : Umlenkwinkel

Formulierung der Erhaltungsgleichungen über den Stoß

$$\text{Kontinuitätsgleichung : } \rho_1 u_1 = \rho_2 u_2$$

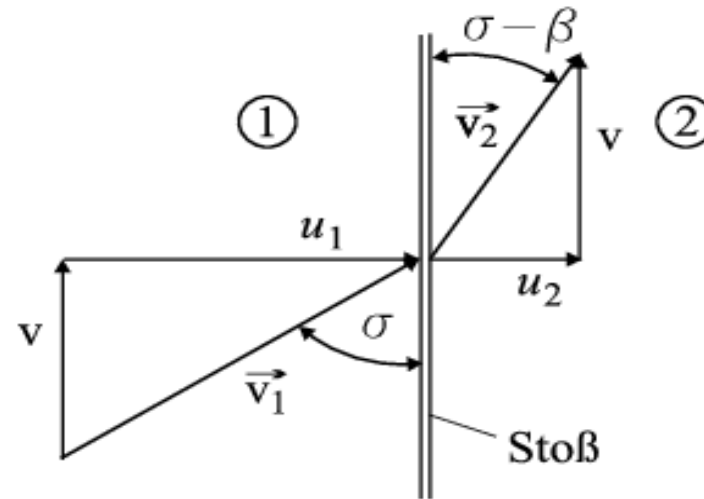
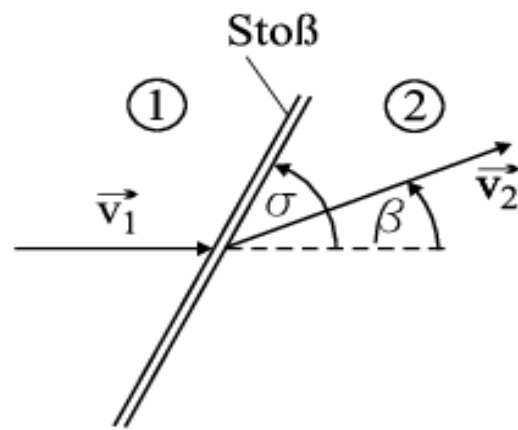
$$\text{Impulssatz, tangential : } \rho_1 u_1 v_1 = \rho_2 u_2 v_2$$

$$\text{Impulssatz, normal : } \rho_2 u_2^2 - \rho_1 u_1^2 = p_1 - p_2$$

$$\text{Energiesatz : } \frac{\|\vec{v}_2\|^2}{2} - \frac{\|\vec{v}_1\|^2}{2} = c_p (T_1 - T_2)$$

$$\text{Impulssatz, tangential : } \Rightarrow v_1 = v_2 = v !$$

→ Überlagerung des v -Feldes möglich



Analyse wie beim senkrechten Verdichtungsstoß :

$$\|\vec{v}_1\| = \sqrt{u_1^2 + v^2} \quad \sigma = \tan^{-1}(u_1 / v)$$

$$\|\vec{v}_2\| = \sqrt{u_2^2 + v^2} \quad \sigma - \beta = \tan^{-1}(u_2 / v)$$

! $u_2 < u_1 \Rightarrow$ Umlenkung der Strömung in Richtung des Stoßes !

Mach Zahlen senkrecht zum Stoß

$$M_{n1} = u_1 / c_1 = M_1 \sin \sigma > 1$$

$$M_{n2} = u_2 / c_2 = M_2 \sin(\sigma - \beta) < 1$$

$$\frac{p_2}{p_1}, \frac{\rho_2}{\rho_1}, \frac{T_2}{T_1}, \frac{\Delta S}{R} \text{ durch } M_1 \leftarrow M_{n1} = M_1 \sin \sigma$$

$$\frac{p_2}{p_1} = 1 + \frac{2\gamma}{\gamma+1} (M_1^2 \sin^2 \sigma - 1)$$

$$\frac{\rho_2}{\rho_1} = \frac{(\gamma+1)M_1^2 \sin^2 \sigma}{(\gamma-1)M_1^2 \sin^2 \sigma + 2} = \frac{u_1}{u_2} = \frac{\tan \sigma}{\tan(\sigma - \beta)}$$

$$\frac{T_2}{T_1} = 1 + \frac{2(\gamma-1)}{(\gamma+1)^2} \frac{\gamma M_1^2 \sin^2 \sigma + 1}{M_1^2 \sin^2 \sigma} (M_1^2 \sin^2 \sigma - 1)$$

$$\frac{s_2 - s_1}{R} = \ln \left[\left(\frac{\rho_2}{\rho_1} \right)^{-\frac{\gamma}{\gamma-1}} \left(\frac{p_2}{p_1} \right)^{\frac{1}{\gamma-1}} \right] = \ln \left\{ \left[\frac{(\gamma+1)M_1^2 \sin^2 \sigma}{(\gamma-1)M_1^2 \sin^2 \sigma + 2} \right]^{-\frac{\gamma}{\gamma-1}} \left[1 + \frac{2\gamma}{\gamma+1} (M_1^2 \sin^2 \sigma - 1) \right]^{\frac{1}{\gamma-1}} \right\}$$

die Prandtl Beziehung des senkrechten Verdichtungsstoßes

$$u_1 u_2 = c^{*2}$$

nimmt für den schrägen Verdichtungsstoß folgende Form an :

Energiesatz :
$$c_p T_1 + \frac{u_1^2 + v_1^2}{2} = c_p T_2 + \frac{u_2^2 + v_2^2}{2} = c_p T_0$$

mit
$$c_p = \gamma R / (\gamma - 1)$$

$$\frac{\gamma}{\gamma - 1} \frac{p_1}{\rho_1} + \frac{u_1^2 + v_1^2}{2} = \frac{\gamma}{\gamma - 1} \frac{p_2}{\rho_2} + \frac{u_2^2 + v_2^2}{2} = \frac{\gamma}{\gamma - 1} \frac{p_0}{\rho_0}$$

Ruhe- und kritische Größen :
$$c^{*2} \frac{\gamma + 1}{2(\gamma - 1)} = c_0^2 \frac{1}{\gamma - 1} = \frac{\gamma}{\gamma - 1} \frac{p_0}{\rho_0}$$

⇒

$$p_1 = \rho_1 \left[\frac{\gamma + 1}{2\gamma} c^{*2} - \frac{\gamma - 1}{2\gamma} (u_1^2 + v_1^2) \right]$$
$$p_2 = \rho_2 \left[\frac{\gamma + 1}{2\gamma} c^{*2} - \frac{\gamma - 1}{2\gamma} (u_2^2 + v_2^2) \right]$$

in Impulssatz, normal

$$\rho_1 \left[\frac{\gamma+1}{2\gamma} (u_1^2 + c^{*2}) - \frac{\gamma-1}{2\gamma} v^2 \right] = \rho_2 \left[\frac{\gamma+1}{2\gamma} (u_2^2 + c^{*2}) - \frac{\gamma-1}{2\gamma} v^2 \right]$$

+ Kontinuitätsgleichung \Rightarrow Prandtl Beziehung für den schrägen Verdichtungsstoß.

$$u_2 u_1 = c^{*2} - \frac{\gamma-1}{\gamma+1} v^2$$

$$M_2 = f(M_1, \sigma, \beta, \gamma) \text{ aus } M_2 = g(M_1, \gamma)$$

mittels $M_1 \leftarrow M_1 \sin \sigma$ und

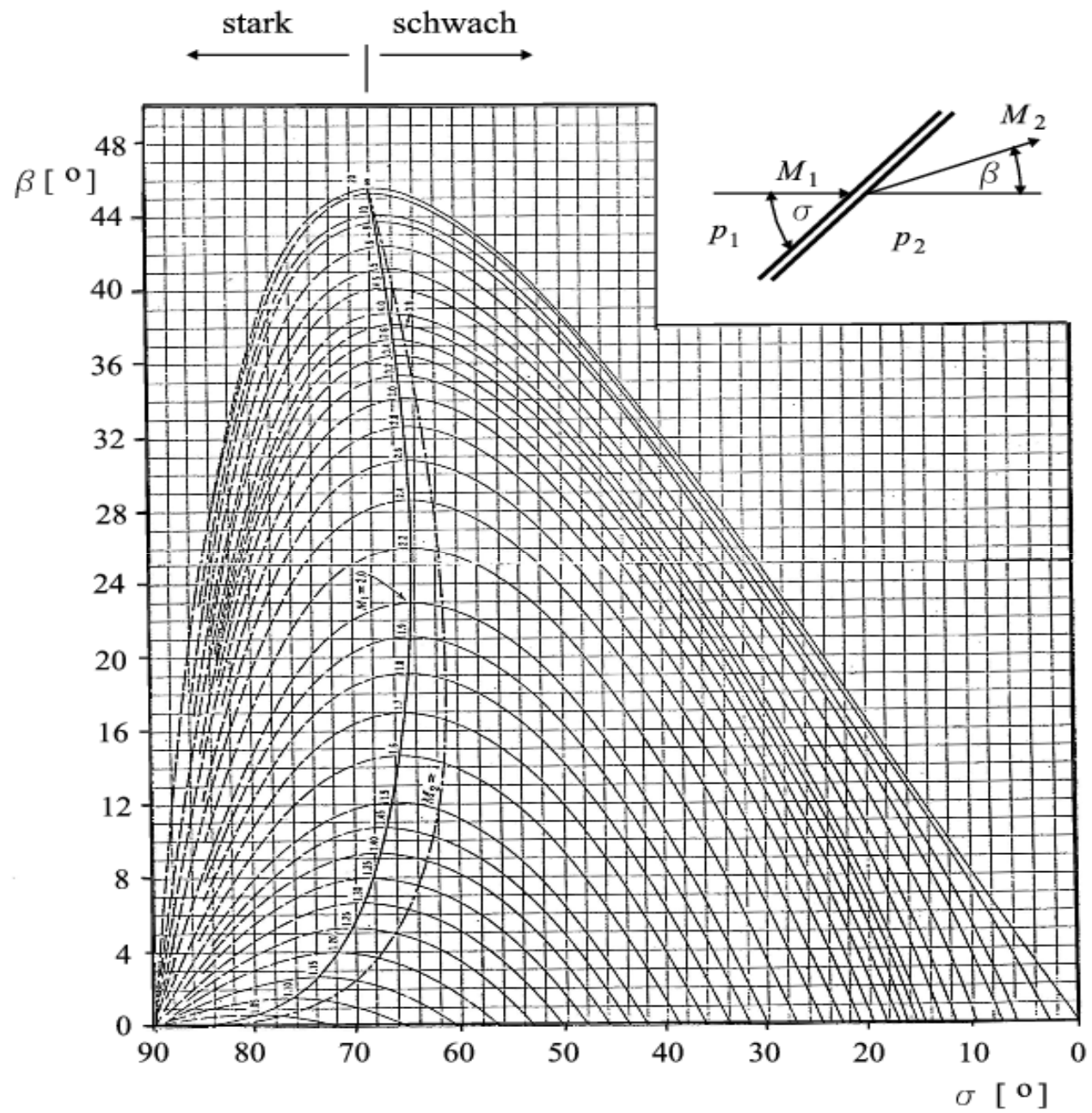
$$M_2 \leftarrow M_2 \sin(\sigma - \beta)$$

$$\rightarrow M_2^2 \sin^2(\sigma - \beta) = \frac{(\gamma-1)M_1^2 \sin^2 \sigma + 2}{2\gamma M_1^2 \sin^2 \sigma - (\gamma-1)}$$

Zusammenhang zwischen β, σ, M_1 mittels $\frac{\rho_2}{\rho_1} = f(M_1, \sigma) = g(\sigma, \beta)$

mit
$$\tan(\sigma - \beta) = \frac{\tan \sigma - \tan \beta}{1 + \tan \sigma \tan \beta}$$

$$\Rightarrow \tan \beta = 2 \cot \sigma \frac{M_1^2 \sin^2 \sigma - 1}{M_1^2 (\gamma + \cos 2\sigma) + 2}$$



$$\left. \begin{array}{l} \sigma = \frac{\pi}{2} \rightarrow \tan \beta = 0 \\ \sigma = \alpha_1 = \sin^{-1}\left(\frac{1}{M_1}\right) \rightarrow \tan \beta = 0 \end{array} \right\} \Rightarrow \text{Max. existiert !}$$

Analyse für $M_1 \rightarrow \infty$:

$$r = \lim_{M_1 \rightarrow \infty} (\tan \beta) = \frac{2 \cot \sigma \sin^2 \sigma}{\gamma + \cos^2 \sigma} = \frac{\sin 2\sigma}{\gamma + \cos 2\sigma}$$

$$\frac{dr}{d\sigma} = \frac{2 \cos 2\sigma (\gamma + \cos 2\sigma) + 2 \sin^2 2\sigma}{(\gamma + \cos 2\sigma)^2} \stackrel{!}{=} 0$$

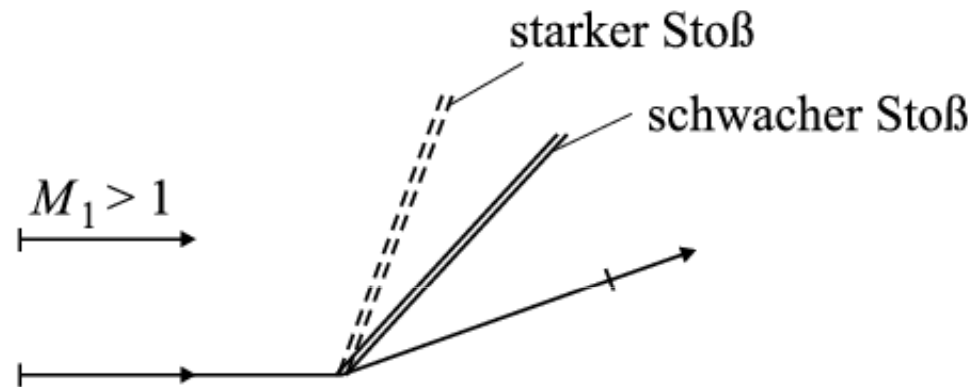
$$\Rightarrow \cos 2\sigma = -\frac{1}{\gamma}; \gamma = 1.4 : \sigma \approx 67.5$$

$$\tan \beta_{\max} = \frac{\sin 2\sigma}{\gamma + \cos 2\sigma} = \frac{\sqrt{1 - \cos^2 2\sigma}}{\gamma + \cos 2\sigma} = \frac{\sqrt{1 - 1/\gamma^2}}{\gamma - 1/\gamma} = \frac{\sqrt{\gamma^2 - 1}}{\gamma^2 - 1} = (\gamma^2 - 1)^{-\frac{1}{2}}$$

$$\beta_{\max} \approx 45^\circ$$

$\beta < \beta_{\max}$: 2 Lösungen

- schwache Lösung , $M_2 > 1$ (i.a.)
- starke Lösung , $M_2 < 1$

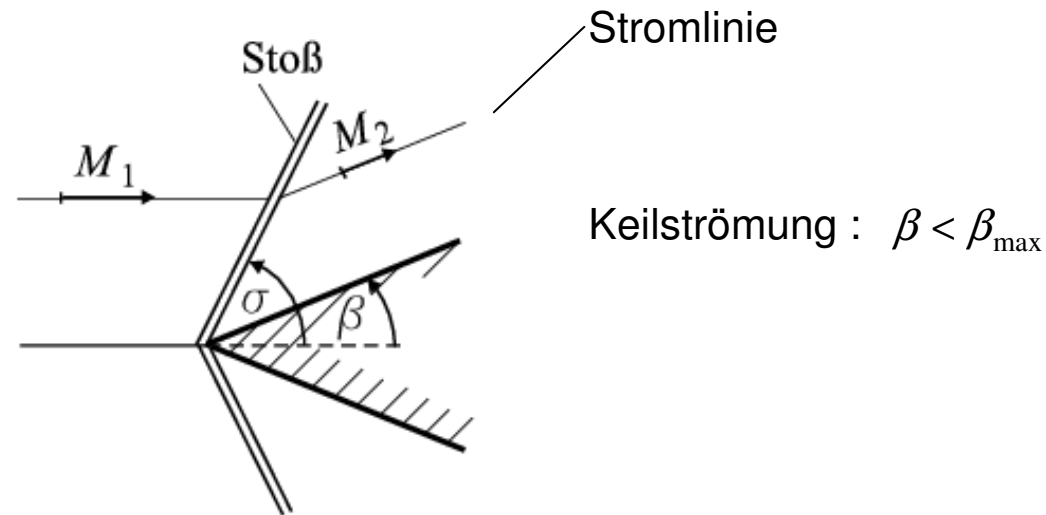


schwache Lösung entspricht der natürlichen Lösung

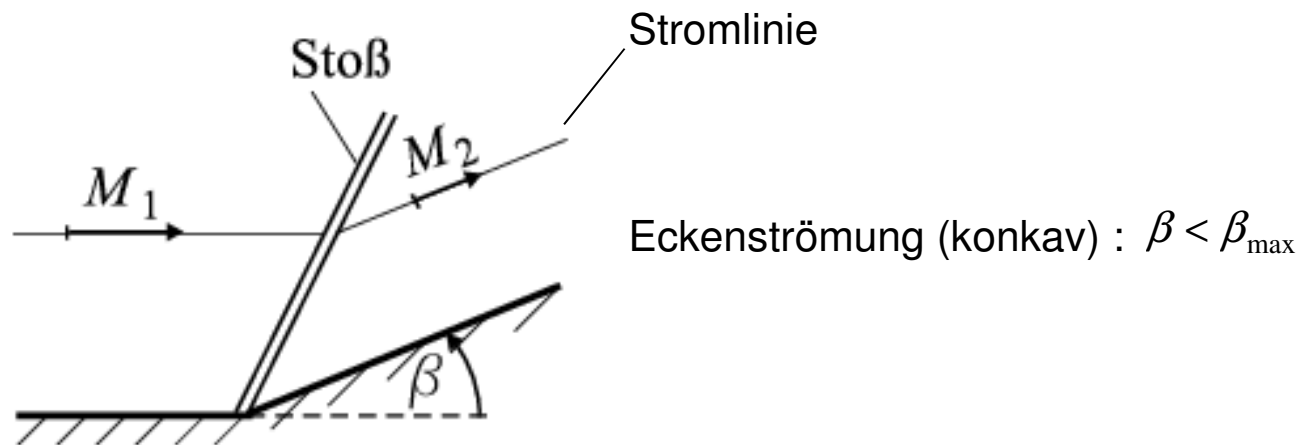
$\beta > \beta_{\max}$: keine geschlossene analytische Lösung

Entstehung von schrägen Verdichtungsstößen

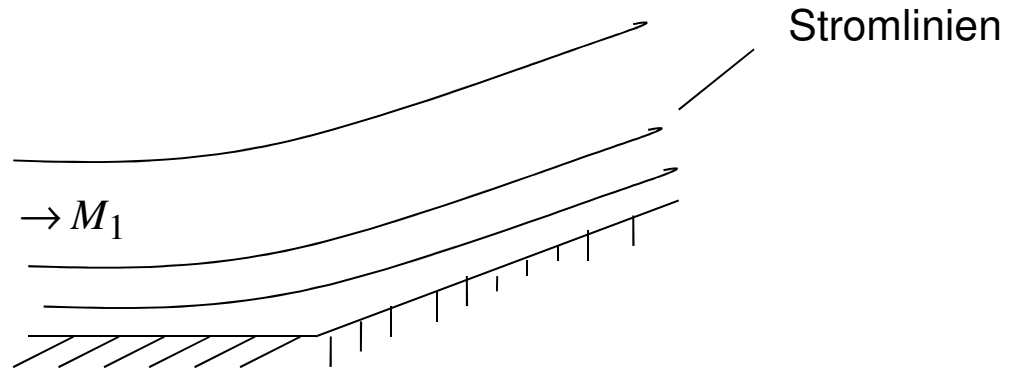
$M_1 > 1$



$M_1 > 1$

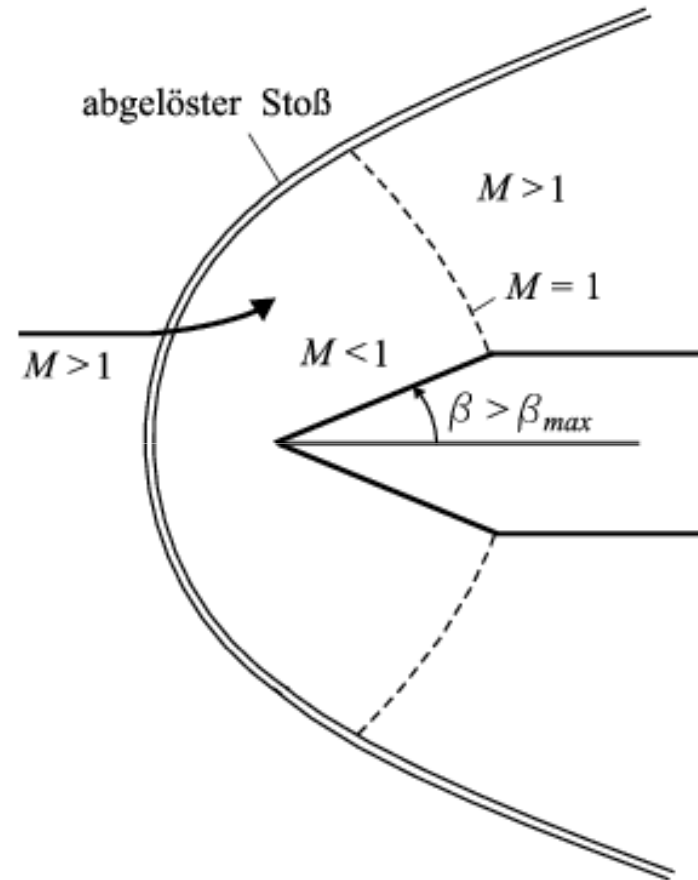


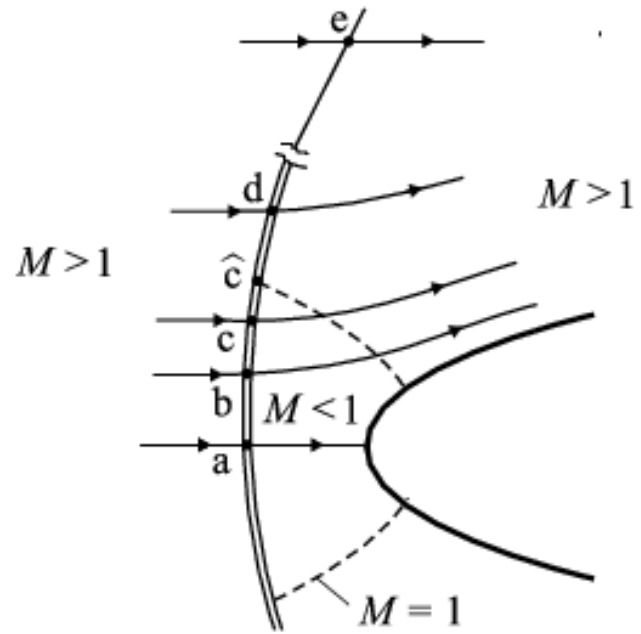
$M_1 < 1$



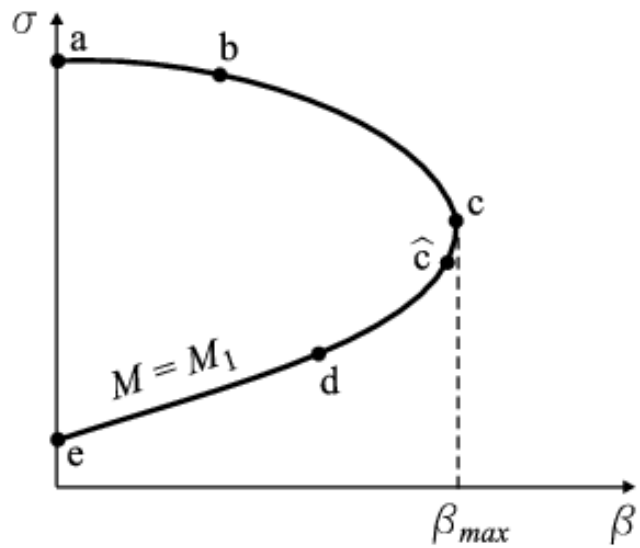
Eckenströmung (konkav, subsonisch)

$\beta > \beta_{max}$: Ablösung des Verdichtungsstoßes





abgelöster Verdichtungsstoß



Herzkurve

σ, β, M_1 - Zusammenhang

Approximationen für schräge Verdichtungsstöße

- Hyperschallströmungen : $M_1^2 \sin^2 \sigma \gg 1$, $\sin \sigma \ll 1$

aus

$$\frac{\tan(\sigma - \beta)}{\tan \sigma} = \frac{\gamma - 1 + 2/M_1^2 \sin^2 \sigma}{\gamma + 1}$$

und

$$\sigma \approx \beta$$

$$\begin{aligned} \Rightarrow \frac{\sigma - \beta}{\sigma} &= \frac{\gamma - 1}{\gamma + 1} \\ &= \frac{\gamma + 1}{2} \beta \quad \text{Newton-Theorie} \end{aligned}$$

- Näherung für schwache Stöße : Annahme : β klein

$$\beta \rightarrow 0: \Rightarrow \sigma \rightarrow \alpha_1 = \sin^{-1}(1/M_1)$$

$$\text{in } \beta = f(M_1, \sigma)$$

$$\Rightarrow \tan \beta \approx 2 \cot \alpha_1 \frac{M_1^2 \sin^2 \sigma - 1}{M_1^2 (\gamma + \cos 2\alpha_1) + 2}$$

mit $\tan \beta \approx \beta$

$$\cot \alpha_1 = \sqrt{M_1^2 - 1}$$

$$\cos 2\alpha_1 = 1 - 2 \sin^2 \alpha_1 = 1 - 2/M_1^2$$

$$\Rightarrow M_1^2 \sin^2 \sigma - 1 \approx \frac{M_1^2(\gamma + 1)}{2\sqrt{M_1^2 - 1}} \beta$$

in $\frac{p_2}{p_1} = h(M_1, \sigma)$

\Rightarrow relative Druckänderung für β klein

$$\frac{p_2 - p_1}{p_1} \approx \frac{\gamma M_1^2}{\sqrt{M_1^2 - 1}} \beta$$

gültig : schwache Komp. + Exp.wellen

Grund :

$$\frac{s_2 - s_1}{R} \approx \frac{\gamma + 1}{12\gamma^2} \left(\frac{p_2 - p_1}{p_1} \right)^3 = \frac{\gamma + 1}{12\gamma^2} \left(\frac{\gamma M_1^2}{\sqrt{M_1^2 - 1}} \right)^3 \beta^3$$

\Rightarrow schwache Stöße näherungsweise isentrop \rightarrow reversibel